

บทที่ 4

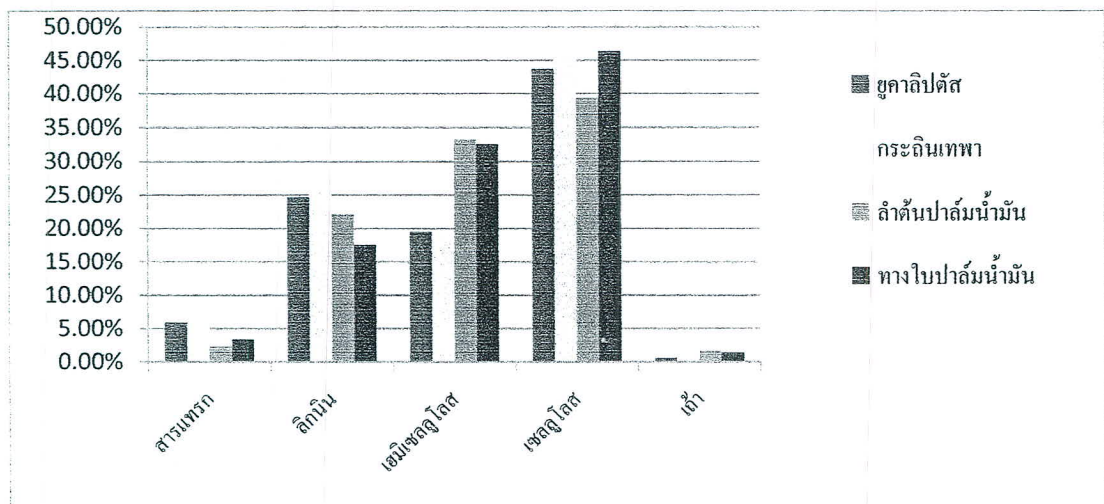
ผลและการอภิปรายผลการทดลอง

4.1 การหาค่าประกอบทางเคมีของไม้ยูคาลิปตัส ไม้กระถินเทพา ลำต้นปาล์มน้ำมัน และทางใบปาล์มก่อน ฟritรีดเมนต์

ผลการทดลองหาค่าประกอบทางเคมีของชีวมวลทั้ง 4 ชนิดก่อนฟritรีดเมนต์โดยการระเบิดด้วยไอน้ำ ได้ผลดังตารางที่ 10 และภาพที่ 9

ตารางที่ 10 องค์ประกอบทางเคมีของไม้ยูคาลิปตัส ไม้กระถินเทพา ลำต้นปาล์มน้ำมัน และทางใบปาล์มก่อนฟritรีดเมนต์

องค์ประกอบทางเคมี (เปอร์เซ็นต์น้ำหนักแห้ง)	ยูคาลิปตัส	กระถินเทพา	ลำต้นปาล์ม น้ำมัน	ทางใบปาล์ม น้ำมัน
สารแทรก	5.91%	5.54%	2.31%	3.46%
ลิกนิน	24.69%	26.44%	22.15%	17.60%
เฮมิเซลลูโลส	19.55%	18.28%	33.22%	32.57%
เซลลูโลส	43.75%	46.47%	39.41%	46.35%
เถ้า	0.57%	0.76%	1.66%	1.46%



ภาพที่ 9 องค์ประกอบทางเคมีของไม้ตัวอย่าง 4 ชนิดก่อนฟritรีดเมนต์

4.2 การหาสถานะที่เหมาะสมในการพรีทรีตเมนต์ โดยการระเบิดไอน้ำ (steam explosion) ของไม้ยูคาลิปตัส กระดาษเทา ลำต้นปาล์มน้ำมัน และทางใบปาล์ม

โดยสภาวะการระเบิดด้วยไอน้ำ จะแสดงอยู่ในรูปค่า severity factor ($\log Ro$) ซึ่งเป็นตัวแปรที่รวมตัวแปรอุณหภูมิและเวลาเป็นตัวแปรเดียวกัน ดังตารางที่ 11

$$\text{จากสูตร} \quad \log Ro = \log \{t \exp [(T-100)/14.75] \}$$

เมื่อ t คือ ระยะเวลาที่ใช้ในการระเบิด (นาที)

T คือ อุณหภูมิของไอน้ำ (องศาเซลเซียส)

ตารางที่ 11 ค่า severity factor ที่สัมพันธ์กับอุณหภูมิและเวลาของการระเบิดด้วยไอน้ำ

อุณหภูมิ (องศาเซลเซียส)	เวลา (นาที)	$\log Ro$
200	2	3.24
	4	3.55
	6	3.72
210	2	3.54
	4	3.84
	6	4.02

4.2.1 การหาสถานะที่เหมาะสมในการพรีทรีตเมนต์โดยการระเบิดไอน้ำไม้ยูคาลิปตัส

นำตัวอย่างไม้ที่ได้ซึ่งแบ่งไว้ ถุงละ 200 กรัม น้ำหนักแห้ง ทำการระเบิดด้วยไอน้ำแต่ละสภาวะ สภาวะละ 3 ชั่วโมง แล้วรวบรวมตัวอย่างที่ผ่านการระเบิดโดยไม่ผ่านการล้างเชื้อด้วยน้ำลงถุงมัดปาก เก็บไว้ที่อุณหภูมิ 4 °C จากนั้นแบ่งนำเชื้อบางส่วนไปวิเคราะห์องค์ประกอบทางเคมี หลังจากผ่านการระเบิดด้วยไอน้ำ โดยได้ผลองค์ประกอบทางเคมีดังตารางที่ 12

ตารางที่ 12 ค่าองค์ประกอบทางเคมีที่ได้จากการวิเคราะห์ของตัวอย่าง ไม้ยูคาลิปตัสหลังระเบิดด้วยไอน้ำ (SE) ตามลำดับ

logRo	องค์ประกอบทางเคมี (เปอร์เซ็นต์ น้ำหนักแห้ง)				
	เซลลูโลส	ลิกนิน	เฮมิเซลลูโลส	เถ้า	อื่น ๆ
3.24	42.17	26.47	20.19	0.46	10.71
3.54	44.36	28.25	14.33	0.45	12.61
3.55	42.31	27.59	20.91	0.4	8.79
3.72	44.87	27.94	17.28	0.57	9.34
3.84	44.86	29.91	15.27	0.43	9.53
4.02	41.53	30.91	11.69	0.56	15.31

จากวัตถุประสงค์ในการพรีทรีตเมนต์โดยการระเบิดด้วยไอน้ำ เพื่อทำลายโครงสร้างและกำจัด เฮมิเซลลูโลสออก จะพบว่าผลจากตารางที่ 12 เมื่อสภาวะที่รุนแรงขึ้นทำให้สัดส่วนค่าของเฮมิเซลลูโลสมีแนวโน้มลดลงอย่างเห็นได้ชัด และสัดส่วนขององค์ประกอบทางเคมีตัวอื่นค่าแนวโน้มเพิ่มขึ้นเล็กน้อย

เมื่อนำเชื้อไม้ที่ผ่านการระเบิดด้วยไอน้ำแบ่งออกมา 100 กรัม น้ำหนักแห้ง มาทำการล้างด้วยน้ำร้อนดังสภาวะที่ได้กำหนด แล้วนำตัวอย่างมากรอง เอาแต่เชื้อไว้ และแบ่งนำเชื้อบางส่วนไปวิเคราะห์องค์ประกอบทางเคมีหลังจากผ่านการระเบิดด้วยไอน้ำและล้างด้วยน้ำร้อนแล้ว จะได้ผลองค์ประกอบทางเคมีดังตารางที่ 13

ตารางที่ 13 ค่าองค์ประกอบทางเคมีที่ได้จากการวิเคราะห์ของตัวอย่างไม้ยูคาลิปตัสหลังระเบิดด้วยไอน้ำและล้างด้วยน้ำร้อน (WE) ตามลำดับ

logRo	องค์ประกอบทางเคมี (เปอร์เซ็นต์ น้ำหนักแห้ง)				
	เซลลูโลส	ลิกนิน	เฮมิเซลลูโลส	เถ้า	อื่น ๆ
3.24	45.20 ^c	27.93 ^c	17.31 ^a	0.20 ^a	9.36
3.54	53.08 ^a	32.27 ^{ab}	8.69 ^b	0.22 ^a	5.74
3.55	48.83 ^b	31.09 ^b	9.59 ^b	0.19 ^a	10.3
3.72	49.07 ^b	32.79 ^a	7.80 ^b	0.21 ^a	10.13
3.84	53.94 ^a	33.16 ^a	3.64 ^c	0.16 ^a	9.1
4.02	53.34 ^a	33.35 ^a	2.62 ^c	0.18 ^a	10.51

หมายเหตุ –^{a,b,c} เป็นกลุ่มของตัวอย่างทดลองที่แตกต่างกันอย่างมีนัยสำคัญทางสถิติที่ 95 เปอร์เซ็นต์ระดับความเชื่อมั่น

จากตารางที่ 13 จะพบว่า เยื่อหลังการระเบิดด้วยไอน้ำ ที่ผ่านการล้างด้วยน้ำร้อนแล้ว สภาวะที่รุนแรงขึ้น มีแนวโน้มสัดส่วนของเฮมิเซลลูโลสที่เหลืออยู่ในเยื่อลดลงได้มากกว่า เมื่อเทียบกับก่อนล้างด้วยน้ำร้อน ทำให้สัดส่วนองค์ประกอบทางเคมีอื่นมีสัดส่วนที่เพิ่มขึ้น ดังนั้นในการเลือกสภาวะที่เหมาะสมของการระเบิดด้วยไอน้ำ จึงทำการเลือกสภาวะหลังจากที่ผ่านการล้างด้วยน้ำร้อนแล้ว เนื่องจากเยื่อที่ผ่านการระเบิดด้วยไอน้ำ อาจยังมีน้ำตาล สารพิษหรือกรดเกิดขึ้นระหว่างการระเบิด สังเกตได้ว่า ค่าเฮมิเซลลูโลสลดลงไปมากขึ้น เมื่อผ่านการล้างด้วยน้ำร้อนแล้ว โดยค่าสัดส่วนเฮมิเซลลูโลส สูงสุดที่เหลืออยู่คือ 17.31 เปอร์เซ็นต์ และต่ำสุดคือ 2.62 เปอร์เซ็นต์ เมื่อสภาวะที่รุนแรงขึ้น

การทดลองนี้เป็นการวางแผนการทดลองแบบสุ่มสมบูรณ์ (Completely Randomized Design, CRD) โดยเป็นกรณีที่มีปัจจัยที่ต้องการเปรียบเทียบเพียงปัจจัยเดียวในการทดลอง คือ logRo ซึ่งในการเลือกสภาวะที่เหมาะสมของการระเบิดด้วยไอน้ำ ข้อมูลที่ได้จากผลการทดลอง จะถูกนำมาวิเคราะห์ความแปรปรวนด้วยแบบจำลองเชิงเส้นตรง (General linear model หรือ GLM) ในรูปแบบแผนการทดลองแบบ CRD และมีการทดสอบความแตกต่างแบบ least significant difference หรือ LSD ที่ระดับความเชื่อมั่นร้อยละ 95 ด้วยโปรแกรม SAS รุ่น 8.01 (SAS, 2000)

หลังจากใช้โปรแกรม SAS กำหนดทางสถิติเพื่อหาสถานะที่เหมาะสมแล้ว จากตารางที่ 8 พบว่าในเชิงสถิติที่ระดับความเชื่อมั่น 95 เปอร์เซ็นต์ เลือกที่สถานะ logRo 3.84 ให้สัดส่วนเซลลูโลสคงเหลือมากที่สุด คือ 53.94 เปอร์เซ็นต์ ซึ่งอยู่ในกลุ่ม a และคงเหลือสัดส่วนเฮมิเซลลูโลสน้อย ซึ่งอยู่ในกลุ่ม c คือเหลือ 3.64 เปอร์เซ็นต์ โดยมองในแง่สัดส่วนเฮมิเซลลูโลสคงเหลือ กลุ่ม c มี 2 สถานะ จะเป็นกลุ่มที่คงเหลือสัดส่วนเฮมิเซลลูโลสที่ต่ำที่สุด ซึ่งจากผลทางสถิติ รวมทั้งปัจจัยทางด้านพลังงาน ความคุ้มทุน โดยที่สถานะ logRo 4.02 สิ้นเปลืองพลังงานในการระเบิดมากกว่า เนื่องจากใช้เวลาในการระเบิดนานกว่า เมื่อเทียบกับสัดส่วนเฮมิเซลลูโลสที่ลดลงไม่แตกต่างกันกับสถานะ logRo 3.84 อย่างมีนัยสำคัญ ($p < 0.05$) ดังนั้นจึงเลือกที่สถานะ logRo 3.84 คือที่อุณหภูมิ 210 °C เวลา 4 นาที เป็นสถานะที่เหมาะสมที่สุดในการกำจัดเฮมิเซลลูโลส ในไม้ยูคาลิปตัสตัวอย่าง

ตารางที่ 14 สรุปค่าสัดส่วนขององค์ประกอบทางเคมีและประสิทธิภาพการลดลงของเฮมิเซลลูโลสในแต่ละขั้นตอนของการพรีทรีตเมนต์ ที่สถานะการระเบิดด้วยไอน้ำ 210 °C เวลา 4 นาที และการล้างด้วยน้ำร้อน 80 °C เวลา 30 นาที ของไม้ยูคาลิปตัส

ขั้นตอน	ประสิทธิภาพ การลดลงของ เพนโตแซน (เปอร์เซ็นต์)	องค์ประกอบทางเคมี (เปอร์เซ็นต์น้ำหนักแห้ง)				
		เซลลูโลส	ลิกนิน	เพนโตแซน	เถ้า	อื่น ๆ
วัตถุดิบเริ่มต้น	0	43.75	24.69	19.55	0.57	11.44
การระเบิดด้วยไอน้ำ	21.89	44.86	29.91	15.27	0.43	9.53
การล้างด้วยน้ำร้อน	81.38	53.94	33.16	3.64	0.16	9.1

จากผลการทดลองที่ได้จากตารางที่ 14 องค์ประกอบทางเคมีของไม้ยูคาลิปตัส เมื่อผ่านทุกขั้นตอนการพรีทรีตเมนต์ โดยสัดส่วนของเฮมิเซลลูโลสที่คงเหลืออยู่ลดลงอย่างชัดเจนจาก 19.55 เหลือ 3.64 เปอร์เซ็นต์น้ำหนักแห้ง ทำให้ส่วนของเซลลูโลสและลิกนินมีสัดส่วนที่เพิ่มสูงขึ้นเล็กน้อย เนื่องจากปริมาณเซลลูโลสและลิกนินส่วนใหญ่แทบจะไม่หายไปในช่วงขั้นตอนการระเบิดด้วยไอน้ำและล้างด้วยน้ำร้อน และในแต่ละขั้นตอนจะเพิ่มประสิทธิภาพในการกำจัดเฮมิเซลลูโลสออกจากเชื้อได้เพิ่มขึ้น คือ หลังจากผ่านการระเบิดด้วยไอน้ำจะช่วยเพิ่มประสิทธิภาพ 21.89 เปอร์เซ็นต์ แต่พอนำมาล้างด้วยน้ำร้อนแล้ว จะพบว่าประสิทธิภาพจะเพิ่มขึ้นเป็น 81.38 เปอร์เซ็นต์

เนื่องจากน้ำร้อนจะชะล้างและสกัดส่วนของเฮมิเซลลูโลสที่ถูกย่อยแล้วในขั้นตอนการระเบิดด้วยไอน้ำ บางส่วนที่เคลือบอยู่ที่ผิวเชื้อออกไป

4.2.2 การหาสถานะที่เหมาะสมในการพรีทรีตเมนต์ โดยการระเบิดไอน้ำไม้กระถินเทพา

เมื่อนำตัวอย่างไม้ที่ได้ซังแบ่งไว้ ถูกละ 200 กรัมน้ำหนักแห้ง ทำการระเบิดด้วยไอน้ำแต่ละสถานะ สถานะละ 3 ชั่วโมง แล้วรวบรวมตัวอย่างที่ผ่านการระเบิดโดยไม่ผ่านการล้างเชื้อด้วยน้ำลงถุยมัดปาก เก็บไว้ที่อุณหภูมิ 4 °C จากนั้นแบ่งนำเชื้อบางส่วนไปวิเคราะห์องค์ประกอบทางเคมี หลังจากผ่านการระเบิดด้วยไอน้ำ โดยได้ผลองค์ประกอบทางเคมีดังตารางที่ 15

ตารางที่ 15 ค่าองค์ประกอบทางเคมีที่ได้จากการวิเคราะห์ของตัวอย่างไม้กระถินเทพาหลังระเบิดด้วยไอน้ำ (SE) ตามลำดับ

logRo	องค์ประกอบทางเคมี (เปอร์เซ็นต์ น้ำหนักแห้ง)				
	เซลลูโลส	ลิกนิน	เฮมิเซลลูโลส	เถ้า	อื่น ๆ
3.24	45.14	28.44	19.32	0.76	6.34
3.54	44.44	29.33	17.92	0.68	7.63
3.55	45.15	29.72	16.37	0.64	8.12
3.72	45.35	31.03	15.49	0.71	7.42
3.84	43.71	31.49	16.09	0.79	7.92
4.02	43.2	32.34	13.07	0.72	10.67

จากวัตถุประสงค์ในการพรีทรีตเมนต์โดยการระเบิดด้วยไอน้ำ เพื่อทำลายโครงสร้างและกำจัด เฮมิเซลลูโลสออก จะพบว่า ผลจากตารางที่ 15 เมื่อสถานะที่รุนแรงขึ้น จะทำให้สัดส่วนค่าของเฮมิเซลลูโลสมีแนวโน้มลดลงอย่างเห็นได้ชัด และสัดส่วนขององค์ประกอบทางเคมีตัวอื่นค่าแนวโน้มเพิ่มขึ้นเล็กน้อย

เมื่อนำเชื้อไม้ที่ผ่านการระเบิดด้วยไอน้ำแบ่งออกมา 100 กรัมน้ำหนักแห้ง มาทำการล้างด้วยน้ำร้อนดังสถานะที่ได้กำหนด แล้วนำตัวอย่างมากรอง เอาแต่เชื้อไว้ และแบ่งนำเชื้อบางส่วนไป

วิเคราะห์องค์ประกอบทางเคมีหลังจากผ่านการระเบิดด้วยไอน้ำและล้างด้วยน้ำร้อนแล้ว จะได้ผล
องค์ประกอบทางเคมีดังตารางที่ 16

ตารางที่ 16 ค่าองค์ประกอบทางเคมีที่ได้จากการวิเคราะห์ของตัวอย่างไม้กระถินเทพาหลังระเบิด
ด้วยไอน้ำและล้างด้วยน้ำร้อน (WE) ตามลำดับ

logRo	องค์ประกอบทางเคมี (เปอร์เซ็นต์ น้ำหนักแห้ง)				
	เซลลูโลส	ลิกนิน	เฮมิเซลลูโลส	เถ้า	อื่น ๆ
3.24	49.27 ^c	31.02 ^c	14.26 ^a	0.53 ^a	4.92
3.54	51.05 ^a	33.80 ^{ab}	8.00 ^{bc}	0.40 ^a	6.75
3.55	51.21 ^a	32.71 ^{bc}	11.84 ^a	0.44 ^a	3.8
3.72	50.37 ^{ab}	34.00 ^{ab}	9.19 ^b	0.43 ^a	6.01
3.84	50.75 ^a	34.02 ^{ab}	8.36 ^{bc}	0.57 ^a	6.3
4.02	49.49 ^{bc}	35.34 ^a	6.01 ^c	0.57 ^a	8.59

หมายเหตุ – ^{a,b,c} เป็นกลุ่มของตัวอย่างทดลองที่แตกต่างกันอย่างมีนัยสำคัญทางสถิติที่ 95 เปอร์เซ็นต์
ระดับความเชื่อมั่น

จากตารางที่ 16 จะพบว่า เยื่อหลังการระเบิดด้วยไอน้ำที่ผ่านการล้างด้วยน้ำร้อนแล้ว โดย
สถานะที่รุนแรงขึ้น มีแนวโน้มสัดส่วนของเฮมิเซลลูโลสที่เหลืออยู่ในเยื่อลดลงได้มากกว่า เมื่อเทียบ
กับก่อนล้างด้วยน้ำร้อน ทำให้สัดส่วนองค์ประกอบทางเคมีอื่นมีสัดส่วนที่เพิ่มขึ้น ดังนั้นในการ
เลือกสถานะที่เหมาะสมของการระเบิดด้วยไอน้ำ จึงทำการเลือกสถานะหลังจากที่ผ่านการล้างด้วย
น้ำร้อนแล้ว เนื่องจากเยื่อที่ผ่านการระเบิดด้วยไอน้ำ อาจยังมีน้ำตาล สารพิษหรือกรดเกิดขึ้นระหว่าง
การระเบิด สังเกตได้ว่า ค่าเฮมิเซลลูโลสลดลงไปมากขึ้น เมื่อผ่านการล้างด้วยน้ำร้อนแล้ว โดยค่า
สัดส่วนเฮมิเซลลูโลสสูงสุดที่เหลืออยู่คือ 14.26 เปอร์เซ็นต์ และต่ำสุดคือ 6.01 เปอร์เซ็นต์ เมื่อ
สถานะที่รุนแรงขึ้น

การทดลองนี้เป็นการวางแผนการทดลองแบบสุ่มสมบูรณ์ (Completely Randomized
Design, CRD) โดยเป็นกรณีที่มีปัจจัยที่ต้องการเปรียบเทียบเพียงปัจจัยเดียวในการทดลอง คือ
logRo ซึ่งในการเลือกสถานะที่เหมาะสมของการระเบิดด้วยไอน้ำ ข้อมูลที่ได้จากการทดลอง จะ
ถูกนำมาวิเคราะห์ความแปรปรวนด้วยแบบจำลองเชิงเส้นตรง (General linear model หรือ GLM)

ในรูปแบบแผนการทดลองแบบ CRD และมีการทดสอบความแตกต่างแบบ least significant difference หรือ LSD ที่ระดับความเชื่อมั่นร้อยละ 95 ด้วยโปรแกรม SAS รุ่น 8.01 (SAS, 2000)

หลังจากใช้โปรแกรม SAS คำนวณทางสถิติเพื่อหาสภาวะที่เหมาะสมแล้ว จากตารางที่ 11 พบว่าในเชิงสถิติที่ระดับความเชื่อมั่น 95 เปอร์เซ็นต์ เลือกที่สภาวะ logRo 3.54 ให้สัดส่วนเซลลูโลสคงเหลือมากที่สุด คือ 51.05 เปอร์เซ็นต์ ซึ่งอยู่ในกลุ่ม a และคงเหลือสัดส่วนเฮมิเซลลูโลสน้อย อยู่ในกลุ่ม c คือเหลือ 8.00 เปอร์เซ็นต์ ที่เลือกสภาวะนี้ เนื่องจากภายในกลุ่ม c ที่สภาวะ logRo 4.02 ให้ค่าสัดส่วนเฮมิเซลลูโลสคงเหลือน้อยที่สุดก็จริง แต่เมื่อเทียบกับสภาวะ logRo 3.54 และ 3.84 ซึ่งในทางสถิติ ถือว่าค่าสัดส่วนเฮมิเซลลูโลสไม่แตกต่างกันในกลุ่ม ($p < 0.05$) ดังนั้นจึงตัดสภาวะ logRo 4.02 ทิ้งเนื่องจากปัจจัยทางด้านพลังงานและความคุ้มค่า เหลือสภาวะ logRo 3.54 และ 3.84 ในการเลือกสภาวะที่เหมาะสม ซึ่งเลือกที่สภาวะ logRo 3.54 คือที่อุณหภูมิ 210 °C เวลา 2 นาที เป็นสภาวะที่เหมาะสมที่สุดในการกำจัดเฮมิเซลลูโลส ในไม้ตัวอย่างกระถินเทพา เนื่องจากใช้พลังงานที่ต่ำกว่า (เวลาในการระเบิดที่สั้นกว่า) และทำให้สัดส่วนเฮมิเซลลูโลสคงเหลืออยู่น้อยกว่าที่สภาวะ logRo 3.84 คืออุณหภูมิที่ 210 °C เวลา 4 นาที

ตารางที่ 17 สรุปค่าสัดส่วนขององค์ประกอบทางเคมีและประสิทธิภาพการลดลงของเฮมิเซลลูโลส ในแต่ละขั้นตอนของการพรีทรีตเมนต์ ที่สภาวะการระเบิดด้วยไอน้ำที่เหมาะสม คือ 210 °C เวลา 2 นาที และการล้างด้วยน้ำร้อน 80 °C เวลา 30 นาที ของไม้กระถินเทพา

ขั้นตอน การพรีทรีตเมนต์	ประสิทธิภาพ การลดลงของ เพนโตแซน (เปอร์เซ็นต์)	องค์ประกอบทางเคมี (เปอร์เซ็นต์น้ำหนักแห้ง)				
		เซลลูโลส	ลิกนิน	เพนโตแซน	เถ้า	อื่น
วัตถุดิบเริ่มต้น	0	46.47	26.44	18.28	0.76	8.0
การระเบิดด้วยไอน้ำ	1.97	44.44	29.33	17.92	0.68	7.63
การล้างด้วยน้ำร้อน	56.24	51.05	33.8	8	0.4	6.7

จากผลการทดลองที่ได้จากตารางที่ 17 องค์ประกอบทางเคมีของไม้กระถินเทพา เมื่อผ่านทุกขั้นตอนการพรีทรีตเมนต์ โดยสัดส่วนของเฮมิเซลลูโลสที่คงเหลืออยู่ ลดลงอย่างชัดเจน จาก 18.28 เหลือ 8.00 เปอร์เซ็นต์น้ำหนักแห้ง ทำให้ส่วนของเซลลูโลสและลิกนินมีสัดส่วนที่เพิ่มสูงขึ้น

เล็กน้อย เนื่องจากปริมาณเซลล์โลสและลิกนินส่วนใหญ่แทบจะไม่หายไปในช่วงตอนการระเบิดด้วยไอน้ำและล้างด้วยน้ำร้อน และในแต่ละขั้นตอนจะเพิ่มประสิทธิภาพในการกำจัดเฮมิเซลลูโลสออกจากเชื้อได้เพิ่มขึ้น คือ หลังจากผ่านการระเบิดด้วยไอน้ำจะช่วยเพิ่มประสิทธิภาพ 1.97 เปอร์เซ็นต์ แต่พอนำมาล้างด้วยน้ำร้อนแล้ว จะพบว่าประสิทธิภาพจะเพิ่มขึ้นเป็น 56.24 เปอร์เซ็นต์ เนื่องจากน้ำร้อนจะชะล้างและสกัดส่วนของเฮมิเซลลูโลสที่ถูกย่อยแล้วในช่วงตอนการระเบิดด้วยไอน้ำ บางส่วนที่เคลือบอยู่ที่ผิวเชื้อออกไป

4.2.3 การหาสภาวะที่เหมาะสมในการพรีทรีตเมนต์ โดยการระเบิดไอน้ำไม้ลำต้นปาล์ม

นำตัวอย่างไม้ที่ได้ซึ่งแบ่งไว้ ถูกละ 150 กรัม น้ำหนักแห้ง ทำการระเบิดด้วยไอน้ำแต่ละสภาวะ สภาวะละ 3 ชั่วโมง แล้วรวบรวมตัวอย่างที่ผ่านการระเบิดโดยไม่ผ่านการล้างเชื้อด้วยน้ำลงถูมัดปาก เก็บไว้ที่อุณหภูมิ 4 °C จากนั้นแบ่งนำเชื้อบางส่วนไปวิเคราะห์องค์ประกอบทางเคมี หลังจากผ่านการระเบิดด้วยไอน้ำ โดยได้ผลองค์ประกอบทางเคมีดังตารางที่ 18

ตารางที่ 18 ค่าองค์ประกอบทางเคมีที่ได้จากการวิเคราะห์ของตัวอย่างไม้ลำต้นปาล์มหลังระเบิดด้วยไอน้ำ (SE) ตามลำดับ

logRo	องค์ประกอบทางเคมี (% น้ำหนักแห้ง)				
	แอลฟาเซลลูโลส	ลิกนิน	เพนโตแซน	เถ้า	อื่น ๆ
3.24	38.45	21.12	18.45	3.38	18.6
3.54	38.29	23.74	17.12	3.59	17.26
3.55	39.02	26.74	15.77	3.39	15.08
3.72	39.44	29.07	10.49	3.9	17.1
3.84	38.14	28.94	9.16	3.99	19.77
4.02	37.02	34.5	5.29	4.28	18.91

จากผลการวิเคราะห์ทางเคมีพบว่าเมื่อใช้สภาวะของการระเบิดด้วยไอน้ำที่รุนแรงขึ้นทำให้ปริมาณของเพนโตแซนลดลงอย่างมากเมื่อเทียบกับปริมาณเพนโตแซนในชิ้นไม้ก่อนการระเบิด ส่วนองค์ประกอบทางเคมีอื่นๆ มีการเปลี่ยนแปลงเล็กน้อย

เมื่อนำเชื้อไม้ที่ผ่านการระเบิดด้วยไอน้ำแบ่งออกมา 50 กรัม น้ำหนักแห้ง มาทำการล้างด้วยน้ำร้อนดังสภาวะที่ได้กำหนด แล้วนำมากรองเชื้อ และแบ่งนำเชื้อบางส่วนไปวิเคราะห์องค์ประกอบทางเคมีหลังจากผ่านการระเบิดด้วยไอน้ำและล้างด้วยน้ำร้อนแล้ว จะได้ผลองค์ประกอบทางเคมีดังตารางที่ 19

ตารางที่ 19 ค่าองค์ประกอบทางเคมีที่ได้จากการวิเคราะห์ของตัวอย่างไม้ลำต้นป่าล้มหลังระเบิดด้วยไอน้ำและล้างด้วยน้ำร้อน (WE) ตามลำดับ

logRo	องค์ประกอบทางเคมี (% น้ำหนักแห้ง)				
	แอลฟาเซลลูโลส	ลิกนิน	เพนโตแซน	เถ้า	อื่น ๆ
3.24	50.69 ^c	24.41 ^c	15.73 ^a	0.68	8.49
3.54	55.51 ^b	26.28 ^b	9.81 ^b	0.4	8
3.55	56.03 ^b	26.74 ^b	8.17 ^b	0.52	8.54
3.72	57.04 ^{a,b}	28.80 ^a	4.48 ^c	0.39	9.29
3.84	58.83 ^a	27.12 ^b	4.03 ^c	0.34	9.68
4.02	56.53 ^b	26.47 ^b	2.84 ^c	0.27	13.89

หมายเหตุ –^{a,b,c} เป็นกลุ่มของตัวอย่างทดลองที่แตกต่างกันอย่างมีนัยสำคัญทางสถิติที่ 95 เปอร์เซนต์ระดับความเชื่อมั่น

จากตารางที่ 19 ผลการวิเคราะห์ทางเคมีพบว่า เชื้อหลังระเบิดด้วยไอน้ำที่ผ่านการล้างด้วยน้ำร้อนทำให้ปริมาณเพนโตแซนลดลงเมื่อเทียบกับปริมาณเพนโตแซนก่อนล้างด้วยน้ำร้อน เนื่องจากน้ำร้อนได้ชะเอาน้ำตาลที่เกาะบริเวณเชื้อออก โดยปริมาณเพนโตแซนสูงสุดคือ 15.73% ปริมาณเพนโตแซนต่ำสุดคือ 2.84% ส่วนปริมาณแอลฟาเซลลูโลสมีปริมาณเพิ่มขึ้นหลังการล้างด้วยน้ำร้อน โดยปริมาณแอลฟาเซลลูโลสสูงสุดคือ 58.83% ปริมาณแอลฟาเซลลูโลสต่ำสุดคือ 50.69%

การทดลองนี้เป็นการวางแผนการทดลองแบบสุ่มสมบูรณ์ (Completely Randomized Design, CRD) โดยเป็นกรณีที่มีปัจจัยที่ต้องการเปรียบเทียบเพียงปัจจัยเดียวในการทดลอง คือ logRo ซึ่งในการเลือกสภาวะที่เหมาะสมของการระเบิดด้วยไอน้ำ ข้อมูลที่ได้จากการทดลอง จะถูกนำมาวิเคราะห์ความแปรปรวนด้วยแบบจำลองเชิงเส้นตรง (General linear model หรือ GLM)

ในรูปแบบแผนการทดลองแบบ CRD และมีการทดสอบความแตกต่างแบบ least significant difference หรือ LSD ที่ระดับความเชื่อมั่นร้อยละ 95 ด้วยโปรแกรม SAS รุ่น 8.01 (SAS, 2000)

หลังจากใช้โปรแกรม SAS คำนวณทางสถิติเพื่อหาสภาวะที่เหมาะสมแล้ว จากตารางที่ 19 พบว่าในเชิงสถิติที่ระดับความเชื่อมั่น 95 เปอร์เซนต์ เลือกที่สภาวะ logRo 3.72 และ 3.84 ให้สัดส่วนเซลลูโลสคงเหลือในกลุ่มทดลองมากที่สุดคือ 57.83 และ 58.83 เปอร์เซนต์ ซึ่งอยู่ในกลุ่ม a,b และ a ตามลำดับ กลุ่ม a เป็นกลุ่มที่มีสัดส่วนเซลลูโลสสูงสุด สัดส่วนเพนโตแซนที่น้อยอยู่ในกลุ่ม c คือเหลือ 4.48 และ 4.03 เปอร์เซนต์ โดยมองในแง่สัดส่วนเพนโตแซนคงเหลือ กลุ่ม c เป็นกลุ่มที่คงเหลือสัดส่วนเพนโตแซนที่ต่ำที่สุด ซึ่งจากผลทางสถิติพบว่าที่สภาวะ logRo 3.72 กับสภาวะ logRo 3.84 ไม่มีความแตกต่างอย่างมีนัยสำคัญ ($p < 0.05$) แต่เมื่อพิจารณาที่สัดส่วนของเซลลูโลส และเพนโตแซนจากความต้องการให้มีสัดส่วนของเซลลูโลสมากที่สุด และมีสัดส่วนของเพนโตแซนน้อยที่สุดจึงเลือกที่สภาวะ logRo 3.84 คือที่อุณหภูมิ 210 °C เวลา 4 นาที เป็นสภาวะที่เหมาะสมที่สุดในการกำจัดเฮมิเซลลูโลส ในไม้ลำต้นปาล์มน้ำมันตัวอย่าง

ตารางที่ 20 สรุปค่าสัดส่วนขององค์ประกอบทางเคมีและประสิทธิภาพการลดลงของเฮมิเซลลูโลส ในแต่ละขั้นตอนของการพรีทรีตเมนต์ ที่สภาวะการระเบิดด้วยไอน้ำที่เหมาะสม คือ 210 °C เวลา 4 นาที และการล้างด้วยน้ำร้อน 80 °C เวลา 30 นาที ของไม้ลำต้นปาล์มน้ำมัน

ขั้นตอน	ประสิทธิภาพ	องค์ประกอบทางเคมี				
		(เปอร์เซ็นต์น้ำหนักแห้ง)				
การพรีทรีตเมนต์	การลดลงของ เพนโตแซน (เปอร์เซ็นต์)	เซลลูโลส	ลิกนิน	เพนโตแซน	เถ้า	อื่น ๆ
วัตถุดิบเริ่มต้น	0	40.83	21.64	29.53	2.4	5.6
การระเบิดด้วยไอน้ำ	68.98	38.14	28.94	9.16	3.99	19.77
การล้างด้วยน้ำร้อน	86.35	58.83	27.12	4.03	0.34	9.68

จากผลการทดลองที่ได้จากตารางที่ 20 องค์ประกอบทางเคมีของไม้ลำต้นปาล์ม เมื่อผ่านทุกขั้นตอนการพรีทรีตเมนต์ โดยสัดส่วนของเฮมิเซลลูโลสที่คงเหลืออยู่ลดลงอย่างชัดเจน จาก 29.53 เหลือ 4.03 เปอร์เซนต์น้ำหนักแห้ง ทำให้ส่วนของเซลลูโลสและลิกนินมีสัดส่วนที่เพิ่มสูงขึ้นเล็กน้อย เนื่องจากปริมาณเซลลูโลสและลิกนินส่วนใหญ่แทบจะไม่หายไปในช่วงขั้นตอนการระเบิด

ด้วยไอน้ำและล้างด้วยน้ำร้อน และในแต่ละขั้นตอนจะเพิ่มประสิทธิภาพในการกำจัดเฮมิเซลลูโลสออกจากเยื่อได้เพิ่มขึ้น คือ หลังจากผ่านการระเบิดด้วยไอน้ำจะช่วยเพิ่มประสิทธิภาพ 68.98 เปอร์เซ็นต์ แต่พอนำมาล้างด้วยน้ำร้อนแล้ว จะพบว่าประสิทธิภาพจะเพิ่มขึ้นเป็น 86.35 เปอร์เซ็นต์ เนื่องจากน้ำร้อนจะชะล้างและสกัดส่วนของเฮมิเซลลูโลสที่ถูกย่อยแล้วในขั้นตอนการระเบิดด้วยไอน้ำ บางส่วนที่เคลือบอยู่ที่ผิวเยื่อ ออกไป

4.2.4 การหาสถานะที่เหมาะสมในการพรีทรีตเมนต์ โดยการระเบิดไอน้ำไม้ทางใบป่าส้ม

นำชิ้นไม้สับทางใบป่าส้ม 200 กรัมน้ำหนักแห้ง ทำการระเบิดไอน้ำด้วยสถานะที่ต่างๆ ดังตารางที่ 2 สถานะละ 3 ชั่วโมง โดยวัตถุประสงค์ของการทำพรีทรีตเมนต์โดยการระเบิดด้วยไอน้ำคือ เพื่อทำลายหรือกำจัดโครงสร้างของเฮมิเซลลูโลสออกจากส่วนของเซลลูโลสและลิกนิน จากนั้นนำเยื่อที่ได้จากการระเบิดด้วยไอน้ำไปวิเคราะห์องค์ประกอบทางเคมี จะเห็นได้ว่าเมื่อสถานะที่ใช้ในการระเบิดไอน้ำรุนแรงขึ้นจะส่งผลทำให้สัดส่วนของเฮมิเซลลูโลสลดลงอย่างเห็นได้ชัด และสัดส่วนขององค์ประกอบทางเคมีของตัวอื่นๆมีแนวโน้มเพิ่มขึ้นเล็กน้อยดังตารางที่ 21

ตารางที่ 21 ค่าองค์ประกอบทางเคมีที่ได้จากการวิเคราะห์ของตัวอย่างไม้ทางใบป่าส้มหลังระเบิดด้วยไอน้ำ (SE) ตามลำดับ

logRo	องค์ประกอบทางเคมี (% น้ำหนักแห้ง)				
	แอลฟาเซลลูโลส	ลิกนิน	เพนโตแซน	เถ้า	อื่น ๆ
3.24	36.86	21.07	20.71	4.95	16.41
3.54	35.77	26.33	16.3	4.91	16.69
3.55	35.76	26.22	15.85	5.87	16.3
3.72	37.04	28.6	12.67	5.76	15.93
3.84	36.17	30.2	7.36	5.48	20.79
4.02	36.52	33.44	6.72	5.87	17.45

จากนั้นนำเยื่อที่ผ่านการระเบิดด้วยไอน้ำตามสถานะต่างๆข้างต้นแล้ว มาทำการสกัดด้วยน้ำที่สถานะที่กำหนดไว้คือ 80 องศาเซลเซียสเป็นเวลา 30 นาที ทำการกรองเยื่อที่ได้จากนั้นนำเยื่อไป

วิเคราะห์องค์ประกอบทางเคมีหลังจากผ่านการระเบิดด้วยไอน้ำแล้วตามด้วยการสกัดด้วยน้ำ ซึ่งได้ผลองค์ประกอบทางเคมีดังตารางที่ 22

ตารางที่ 22 ค่าองค์ประกอบทางเคมีที่ได้จากการวิเคราะห์ของตัวอย่างไม้ทางใบป่าล้มหลังระเบิดด้วยไอน้ำและล้างด้วยน้ำร้อน (WE) ตามลำดับ

logRo	องค์ประกอบทางเคมี (% น้ำหนักแห้ง)				
	แอลฟาเซลลูโลส	ลิกนิน	เพนโตแซน	เถ้า	อื่น ๆ
3.24	46.11 ^b	27.2 ^d	18.59 ^a	1.44 ^{a,b}	6.66
3.54	48.42 ^{a,b}	31.52 ^c	11.78 ^b	1.39 ^b	6.89
3.55	51.08 ^a	33.32 ^{b,c}	10.17 ^{b,c}	1.56 ^{a,b}	3.87
3.72	48.62 ^{a,b}	34.95 ^b	8.02 ^{c,d}	1.64 ^{a,b}	6.77
3.84	47.87 ^{a,b}	35.28 ^{a,b}	6.02 ^{d,e}	1.44 ^{a,b}	9.39
4.02	46.01 ^b	37.91 ^a	4 ^e	1.7 ^a	10.38

หมายเหตุ ^{a,b,c,d,e} เป็นกลุ่มของตัวอย่างทดลองที่แตกต่างกันอย่างมีนัยสำคัญทางสถิติที่ 95 เปอร์เซนต์ระดับความเชื่อมั่น

จากตารางที่ 22 จะเห็นได้ว่าเชื้อหลังการระเบิดด้วยไอน้ำที่สภาวะรุนแรงขึ้น เมื่อผ่านการสกัดด้วยน้ำจะมีแนวโน้มสัดส่วนของเฮมิเซลลูโลสที่เหลืออยู่ในเชื้อลดลงเพียงเล็กน้อยเมื่อเทียบกับก่อนสกัดด้วยน้ำ มีผลทำให้สัดส่วนขององค์ประกอบทางเคมีอื่นๆเพิ่มขึ้นเพียงเล็กน้อยเช่นกัน อาจเนื่องจากยังมีสัดส่วนของเฮมิเซลลูโลสเหลืออยู่ในเชื้อหลังการสกัดด้วยน้ำ

การเลือกสภาวะที่เหมาะสมของการระเบิดด้วยไอน้ำ จะทำการเลือกสภาวะหลังจากกระบวนการสกัดด้วยน้ำ เนื่องจากเชื้อที่ผ่านการระเบิดด้วยไอน้ำผลิตภัณฑ์ที่เกิดขึ้นในสารละลายเฮมิเซลลูโลสคือ ไชโลส โอลิโก ไชโลส เพอร์ฟูรอล 5-ไฮดรอกซีเพอร์ฟูรอล กลูโคส และสารประกอบฟีนอลิก ซึ่งสารบางตัวจะเป็นพิษส่งผลกระทบต่อการทำงานของจุลินทรีย์ ดังนั้นการสกัดด้วยน้ำจะไปกำจัดหรือลดสารพิษที่ได้จากสภาวะการระเบิดด้วยไอน้ำที่รุนแรง จากการคำนวณทางสถิติเพื่อหาสภาวะที่เหมาะสมในการฟัทธิรีดเมนต์โดยการระเบิดด้วยไอน้ำดังตารางที่ 17 พบว่าสภาวะที่ logR₀3.55 มีสัดส่วนของเซลลูโลสสูงที่สุด ซึ่งให้ผลสัดส่วนของเซลลูโลสทางสถิติไม่แตกต่างจากสภาวะที่ logR₀ 3.54, logR₀ 3.72 และ logR₀ 3.84 แต่แ่งในสัดส่วนของเฮมิเซลลูโลส

พบว่าสภาวะที่ $\log R_0$ 3.84 มีสัดส่วนของเฮมิเซลลูโลสต่ำที่สุด และเมื่อพิจารณาต่อจะพบว่าสภาวะที่ $\log R_0$ 3.84 และ $\log R_0$ 4.02 มีสัดส่วนของทั้งเซลลูโลสและเฮมิเซลลูโลสไม่แตกต่างกันทางสถิติ แต่เมื่อคำนึงถึงปัจจัยในด้านอื่นเช่น พลังงานและค่าใช้จ่ายสภาวะที่ $\log R_0$ 4.02 จะใช้เวลาในการะเบิดนานกว่าซึ่งเป็นการสิ้นเปลืองพลังงานและค่าใช้จ่ายมากกว่าเมื่อเทียบกับสภาวะที่ $\log R_0$ 3.84 ดังนั้นสภาวะที่ $\log R_0$ 3.84 จึงเป็นสภาวะที่เหมาะสมในการทำพรีทรีตเมนต์โดยระเบิดด้วยไอน้ำ คือที่ อุณหภูมิ 210 องศาเซลเซียส เวลา 4 นาที

ตารางที่ 23 สรุปค่าสัดส่วนขององค์ประกอบทางเคมีและประสิทธิภาพการลดลงของเฮมิเซลลูโลสในแต่ละขั้นตอนของการพรีทรีตเมนต์ ที่สภาวะการระเบิดด้วยไอน้ำที่เหมาะสม คือ 210 °C เวลา 4 นาที และการล้างด้วยน้ำร้อน 80 °C เวลา 30 นาที ของไม้ทางใบป่าล้ม

ขั้นตอน การพรีทรีตเมนต์	ประสิทธิภาพ การลดลงของ เพนโตแซน (เปอร์เซ็นต์)	องค์ประกอบทางเคมี (เปอร์เซ็นต์น้ำหนักแห้ง)				
		เซลลูโลส	ลิกนิน	เพนโตแซน	เถ้า	อื่น ๆ
วัตถุดิบเริ่มต้น	0	42.46	15.63	28.27	1.82	11.82
การระเบิดด้วยไอน้ำ	73.97	36.17	30.2	7.36	5.48	20.79
การล้างด้วยน้ำร้อน	78.71	47.87	35.28	6.02	1.44	9.39

จากผลการทดลองที่ได้จากตารางที่ 23 องค์ประกอบทางเคมีของไม้ทางใบป่าล้ม เมื่อผ่านทุกขั้นตอนการพรีทรีตเมนต์ โดยสัดส่วนของเฮมิเซลลูโลสที่คงเหลืออยู่ ลดลงอย่างชัดเจน จาก 28.27 เหลือ 6.02 เปอร์เซ็นต์น้ำหนักแห้ง ทำให้ส่วนของเซลลูโลสและลิกนินมีสัดส่วนที่เพิ่มสูงขึ้นเล็กน้อย เนื่องจากปริมาณเซลลูโลสและลิกนินส่วนใหญ่แทบจะไม่หายไปนขั้นตอนการระเบิดด้วยไอน้ำและล้างด้วยน้ำร้อน และในแต่ละขั้นตอนจะเพิ่มประสิทธิภาพในการกำจัดเฮมิเซลลูโลสออกจากเชื้อได้เพิ่มขึ้น คือ หลังจากผ่านการระเบิดด้วยไอน้ำจะช่วยเพิ่มประสิทธิภาพ 73.97 เปอร์เซ็นต์ แต่พอนำมาล้างด้วยน้ำร้อนแล้ว จะพบว่าประสิทธิภาพจะเพิ่มขึ้นเป็น 78.71 เปอร์เซ็นต์ เนื่องจากน้ำร้อนจะชะล้างและสกัดส่วนของ เฮมิเซลลูโลสที่ถูกย่อยแล้วในขั้นตอนการระเบิดด้วยไอน้ำ บางส่วนที่เคลือบอยู่ที่ผิวเชื้อออกไป

4.3 การหาสภาวะที่เหมาะสมของการสกัดด้วยด่าง (alkaline extraction) ที่มีผลต่อองค์ประกอบทางเคมีของชีวมวลที่ผ่านขั้นตอนการระเบิดไอน้ำตามด้วยการสกัดด้วยน้ำ โดยใช้วิธีทะกุกิ

4.3.1 การหาสภาวะที่เหมาะสมของการสกัดด้วยด่าง ที่มีผลต่อองค์ประกอบทางเคมีของเยื่อ

ยูคาลิปตัสที่ผ่านขั้นตอนการระเบิดไอน้ำตามด้วยการสกัดด้วยน้ำ โดยใช้วิธีทะกุกิ

หลังจากเยื่อถูกนำมาสกัดด้วยด่าง ณ สภาวะต่าง ๆ ภายใต้สภาวะการทดลองทั้ง 9 ชุด การทดลอง ออกแบบการทดลองโดยวิธีทะกุกิ เมื่อนำเยื่อยูคาลิปตัสสกัดด้วยด่างวิเคราะห์องค์ประกอบทางเคมี ได้ผลดังตารางที่ 24

ตารางที่ 24 ค่าสัดส่วนองค์ประกอบทางเคมีของไม้ยูคาลิปตัสที่สกัดด้วยด่าง ณ สภาวะที่แตกต่างกัน

ชุดการทดลอง	องค์ประกอบทางเคมี (%)				
	ไฮโดรเซลลูโลส	ลิกนิน	เซลลูโลส	เฮมิเซลลูโลส	เถ้า
1	79.14	18.74	72.33	2.29	1.11
2	77.72	20.4	71.54	1.81	0.93
3	73.4	22.24	70.39	1.5	1.52
4	80.17	18.32	74.7	2.15	0.96
5	77.76	20.47	72.01	1.32	0.86
6	75.34	22.37	70.3	1.55	1.72
7	81.41	16.79	76.84	2.11	1.24
8	78.5	19.89	72.73	1.85	1.11
9	75.89	21.3	71.84	1.38	1.64

การวิเคราะห์ผลการทดลองที่ได้ทั้ง 9 ชุดการทดลอง จะอาศัย ค่าสัดส่วนเซลลูโลส สัดส่วนลิกนิน เป็นพารามิเตอร์หลัก เนื่องจากวัตถุประสงค์ของการสกัดด้วยด่าง ต้องการกำจัดลิกนินออก

จากเชื้อเพื่อให้มีสัดส่วนลิกนินต่ำที่สุด และเพิ่มสัดส่วนเซลลูโลสให้มากที่สุด ส่วนค่าสัดส่วนเฮมิเซลลูโลสและเถ้า เป็นพารามิเตอร์รอง ซึ่งการวิเคราะห์แบ่งออกเป็นหัวข้อหลักได้ดังนี้ การหาอิทธิพลของแต่ละปัจจัยที่ส่งผลต่อสัดส่วนเซลลูโลสและลิกนิน การหาสภาวะที่เหมาะสมในการสกัดด้วยด่าง การประมาณค่าสัดส่วนเซลลูโลส และลิกนิน ที่ได้จากการสกัดด้วยด่างที่สภาวะที่เหมาะสม

4.3.1.1 การหาอิทธิพลของแต่ละปัจจัยที่ส่งผลต่อสัดส่วนเซลลูโลส และลิกนินของเยื่อคุณภาพดี

การหาอิทธิพลของแต่ละปัจจัยที่ส่งผลต่อค่าสัดส่วนองค์ประกอบทางเคมีสามารถหาได้จาก การวิเคราะห์ความแปรปรวน (ANOVA) โดยจะแสดงถึงร้อยละอิทธิพลของปัจจัยการทดลอง (Percent contribution) ที่มีผลต่อการสกัดด้วยด่างเพื่อเพิ่มสัดส่วนเซลลูโลส ลดสัดส่วนลิกนิน เฮมิเซลลูโลส และเถ้า ซึ่งเป็นค่าที่สามารถบอกได้ว่าปัจจัยที่ใช้ในการทดลองใดมีผลต่อการสกัดด้วยด่างบ้าง และมีอิทธิพลมากหรือน้อย นอกจากนี้การวิเคราะห์ความแปรปรวนยังสามารถบอกได้ถึงระดับความเชื่อมั่นของปัจจัยการทดลองที่มีต่อการสกัดด้วยด่าง ได้ผลการวิเคราะห์สรุปดังตารางที่ 25, 26 และ 27

ตารางที่ 25 การวิเคราะห์ความแปรปรวน (ANOVA) ของค่าสัดส่วนเซลลูโลส

Factor	DOF ^A	SS ^A	V ^A	F ^A	S'	Percent contribution (%)	Confidence ^A		
							(%)	Significant	
N	2	26.17	13.1	10.83	23.75	19.225	99.93	***	
T	2	65.38	32.7	27.058	62.97	50.961	100	***	
t	2	7.839	3.92	3.244	5.423	4.389	93.98	*	
Other Error	20	24.16	1.21						
Total	26	123.6				100			
หมายเหตุ	N: ความเข้มข้น โซเดียม ไฮดรอกไซด์ (เปอร์เซ็นต์)						P<0.001	***	
	T: อุณหภูมิการสกัด (องศาเซลเซียส)						P<0.01	**	
	t: เวลาการสกัด (นาที)						P<0.05	*	

ตารางที่ 26 การวิเคราะห์ความแปรปรวน (ANOVA) ของค่าสัดส่วนลิกนิน

Factor	DOF ^A	SS ^A	V ^A	F ^A	S'	Percent	Confidence ^A	Significant	
						contribution (%)	(%)		
N	2	7.235	3.62	10.226	6.527	7.36	99.91	***	
T	2	73.23	36.6	103.501	72.52	81.768	100	***	
t	2	1.151	0.58	1.628	0.444	0.501	77.87	-	
Other Error	20	7.074	0.35			93.446			
Total	26	88.69				100			
<u>หมายเหตุ</u>	N: ความเข้มข้น โซเดียมไฮดรอกไซด์ (เปอร์เซ็นต์)						P<0.001	***	
	T: อุณหภูมิการสกัด (องศาเซลเซียส)						P<0.01	**	
	t: เวลาการสกัด (นาที)						P<0.05	*	

ตารางที่ 27 การวิเคราะห์ความแปรปรวน (ANOVA) ของค่าสัดส่วนเฮมิเซลลูโลส

Factor	DOF ^A	SS ^A	V ^A	F ^A	S'	Percent	Confidence ^A	Significant	
						contribution (%)	(%)		
N	2	0.168	0.08	1.635	0.065	1.685	78	-	
T	2	2.413	1.21	23.358	2.309	59.273	100	***	
t	2	0.281	0.14	2.726	0.178	4.576	91.02	*	
Other Error	20	1.032	0.05			34.466			
Total	26	3.896				100			
<u>หมายเหตุ</u>	N: ความเข้มข้น โซเดียมไฮดรอกไซด์ (เปอร์เซ็นต์)						P<0.001	***	
	T: อุณหภูมิการสกัด (องศาเซลเซียส)						P<0.01	**	
	t: เวลาการสกัด (นาที)						P<0.05	*	

ผลจากการวิเคราะห์ความแปรปรวนโดยอาศัยค่าสัดส่วนเซลลูโลส จากตารางที่ 25 พบว่า ร้อยละอิทธิพล (Percent contribution) ของอุณหภูมิการสกัดมีค่ามากที่สุด เท่ากับ 50.961 เปอร์เซ็นต์ รองลงมาคือ ความเข้มข้น โซเดียมไฮดรอกไซด์ เท่ากับ 19.225 ส่วนเวลาการสกัดเป็นปัจจัยที่มีค่า ร้อยละอิทธิพลน้อยที่สุด เท่ากับ 4.389 และเมื่อพิจารณาจากระดับความเชื่อมั่นจะเห็นว่า อุณหภูมิ

การสกัด และความเข้มข้น โซเดียมไฮดรอกไซด์ มีอิทธิพลต่อการสกัดค่าอย่างมีนัยสำคัญทางสถิติ ที่ $p < 0.001$ ส่วนปัจจัยด้านเวลาการสกัดเป็นปัจจัยที่มีอิทธิพลต่อการสกัดค่าอย่างมีนัยสำคัญทางสถิติ ที่ $p < 0.05$

ด้านผลการวิเคราะห์ความแปรปรวนโดยพิจารณาค่าสัดส่วนลิกนิน จากตารางที่ 26 พบว่า ร้อยละอิทธิพล (Percent contribution) ของอุณหภูมิการสกัด มีค่ามากที่สุด เท่ากับ 81.768 รองลงมา คือ ความเข้มข้น โซเดียมไฮดรอกไซด์ เท่ากับ 7.36 ส่วนเวลาการสกัดเป็นปัจจัยที่มีค่าร้อยละอิทธิพล น้อยที่สุด เท่ากับ 0.501 และเมื่อพิจารณาจากระดับความเชื่อมั่นจะเห็นว่า ปัจจัย ความเข้มข้น โซเดียมไฮดรอกไซด์ และอุณหภูมิการสกัด ไซค์ มีอิทธิพลต่อการสกัดค่าอย่างมีนัยสำคัญทางสถิติ ที่ $p < 0.001$ ส่วนเวลาการสกัด เป็นปัจจัยที่ไม่มีอิทธิพลต่อการสกัดค่าอย่างมีนัยสำคัญทางสถิติ และผลการวิเคราะห์ความแปรปรวน โดยพิจารณาค่าสัดส่วนเฮมิเซลลูโลส จากตารางที่ 27 พบว่าร้อยละอิทธิพล (Percent contribution) ของอุณหภูมิการสกัด มีค่ามากที่สุด เท่ากับ 59.273 รองลงมาคือ เวลาการสกัด เท่ากับ 4.576 ส่วนความเข้มข้น โซเดียมไฮดรอกไซด์ เป็นปัจจัยที่มีค่าร้อยละอิทธิพล น้อยที่สุด เท่ากับ 1.685 และเมื่อพิจารณาจากระดับความเชื่อมั่นจะเห็นว่า ปัจจัยอุณหภูมิการสกัด มีอิทธิพลต่อการสกัดค่าอย่างมีนัยสำคัญทางสถิติที่ $p < 0.001$ และ เวลาการสกัด มีอิทธิพลต่อการสกัดค่าอย่างมีนัยสำคัญทางสถิติที่ $p < 0.05$ ส่วนความเข้มข้น โซเดียมไฮดรอกไซด์ เป็นปัจจัยที่ไม่มีอิทธิพลต่อการสกัดค่าอย่างมีนัยสำคัญทางสถิติ

จากผลการวิเคราะห์ความแปรปรวน สามารถสรุปได้ว่า เมื่อพิจารณาจากค่าสัดส่วน เฮมิเซลลูโลส พบว่า อุณหภูมิการสกัด มีอิทธิพลอย่างมีนัยสำคัญทางสถิติ และมีอิทธิพลมากที่สุดต่อการสกัดด้วยค่าเพื่อเพิ่มสัดส่วนเฮมิเซลลูโลส รองลงมาคือความเข้มข้น โซเดียมไฮดรอกไซด์ และเวลา การสกัด ที่มีอิทธิพลต่อการสกัดด้วยค่าอย่างมีนัยสำคัญทางสถิติ ด้านค่าสัดส่วนลิกนิน ก็ เช่นเดียวกัน คือปัจจัย อุณหภูมิการสกัด มีอิทธิพลต่อการสกัดด้วยค่าเพื่อลดสัดส่วนลิกนินอย่างมี นัยสำคัญทางสถิติ รองลงมาคือ ความเข้มข้น โซเดียมไฮดรอกไซด์ ส่วนปัจจัยเวลาการสกัด ไม่มีอิทธิพลต่อการสกัดด้วยค่าเพื่อลดสัดส่วนลิกนินอย่างมีนัยสำคัญทางสถิติ ส่วนค่าสัดส่วน เฮมิเซลลูโลส ปัจจัยที่มีอิทธิพลต่อการสกัดเมื่อพิจารณาเฮมิเซลลูโลส คืออุณหภูมิการสกัด และ รองลงมาคือเวลาการสกัดทั้งสาม ส่วนปัจจัยความเข้มข้น โซเดียมไฮดรอกไซด์ ไม่มีอิทธิพลต่อการ สกัดด้วยค่าอย่างมีนัยสำคัญ อีกทั้งค่าสัดส่วนเฮมิเซลลูโลส ไม่ใช่พารามิเตอร์หลักในการหา สภาวะที่เหมาะสมของการสกัดด้วยค่า จึงไม่นำผลการวิเคราะห์ของค่าสัดส่วนเฮมิเซลลูโลสมาใช้

พิจารณา เช่นเดียวกับค่าสัดส่วนเด้า ถึงแม้ ออณหภูมิการสัคค์จะมีอิทธิพลต่อการสัคค์ต่างอย่างมีนัยสำคัญเพื่อลดสัดส่วนเด้า แต่เนื่องจากค่าสัดส่วนเด้าที่มีค่าน้อยมาก จึงไม่นำไปใช้พิจารณาสภาวะที่เหมาะสม เช่นเดียวกับค่าสัดส่วนเฮมิเซลลูโลส ดังนั้น จึงใช้เพียงค่าสัดส่วนเซลลูโลสและลิกนินในการพิจารณาหาสภาวะที่เหมาะสมที่สุดในการสัคค์ด้วยต่าง ในขั้นต่อไป

4.3.1.2 การหาสภาวะที่เหมาะสมในการสัคค์ด้วยต่าง เยื่อคาลิปต์ส

หลักในการหาสภาวะที่เหมาะสมโดยวิธีทะกุกิจแบ่งประเภทของการทดลองออกเป็น 3 ประเภท คือ The Smaller is better, The Nominal is better และ The Bigger is better ซึ่งการทดลองนี้จัดอยู่ในทั้งประเภท The Bigger is better (B) และ The Smaller is better (S) โดยต้องการสัดส่วนเซลลูโลสสูงสุดจึงใช้ประเภท The Bigger is better อีกด้าน ต้องการสัดส่วนลิกนิน เฮมิเซลลูโลส และเด้า ต่ำสุด จึงใช้ประเภท The Smaller is better การทดลองครั้งนี้สนใจที่ค่าสัดส่วนเซลลูโลสสูงสุด และสัดส่วนลิกนินต่ำสุด จึงต้องหาสภาวะที่ให้ได้สัดส่วนดังกล่าว

นำค่าสัดส่วนเซลลูโลส และสัดส่วนลิกนิน ของทั้ง 9 ชุดการทดลอง การทดลองละ 3 ซ้ำ หาค่าอัตราส่วน Signal-to-Noise (S/N-Ratio) เพื่อหาสภาวะที่เหมาะสมต่อการทดลอง ซึ่งสูตรการคำนวณหาค่า S/N-Ratio แสดงในภาคผนวก และสรุปผลได้ดังตารางที่ 28 โดยนำ S/N-Ratio มาคำนวณร้อยละอิทธิพลหลักของปัจจัยของการทดลองในแต่ละระดับการทดลอง ซึ่งสรุปผลดังตารางที่ 29

ตารางที่ 28 สรุปค่าสัดส่วน S/N ของค่าสัดส่วนเซลลูลอส ลิกนินและเฮมิเซลลูลอส จากการทดลองทั้ง 9 ชุดการทดลอง ของเยื่อคาติปดัส

ชุดการทดลอง	สัดส่วนเซลลูลอส (เปอร์เซ็นต์)				สัดส่วนลิกนิน (เปอร์เซ็นต์)				สัดส่วนเฮมิเซลลูลอส (เปอร์เซ็นต์)			
	ครั้งที่ 1	ครั้งที่ 2	ครั้งที่ 3	อัตราส่วน S/N (เดซิเบล)	ครั้งที่ 1	ครั้งที่ 2	ครั้งที่ 3	อัตราส่วน S/N (เดซิเบล)	ครั้งที่ 1	ครั้งที่ 2	ครั้งที่ 3	อัตราส่วน S/N (เดซิเบล)
1	71.86	71.89	73.23	37.185	18.36	18.35	19.51	25.445	2.51	2.15	2.2	7.124
2	72.16	71.17	71.29	37.090	20.55	19.39	21.25	26.172	1.51	1.71	2.22	4.844
3	70.68	69.33	71.15	36.948	22.10	21.64	22.99	26.936	1.69	1.47	1.34	3.405
4	74.84	74.49	74.76	37.466	18.24	18.81	17.91	25.253	2.01	2.06	2.37	6.568
5	72.02	70.63	73.39	37.145	20.11	20.04	21.25	26.212	1.35	1.29	1.33	2.429
6	69.28	69.69	71.94	36.936	22.34	22.71	22.06	26.991	1.82	1.44	1.39	3.626
7	76.92	77.84	75.76	37.710	17.32	16.68	16.38	24.496	1.99	2.49	1.86	6.303
8	73.74	71.82	72.62	37.232	19.33	20.61	19.72	25.962	1.86	2.00	1.69	5.281
9	69.97	72.98	72.58	37.123	21.44	21.15	21.31	26.567	1.38	1.35	1.40	2.774

ตารางที่ 29 อิทธิพลหลักของแต่ละปัจจัยที่มีผลต่อสัดส่วนองค์ประกอบทางเคมีของเยื่อไม้ยูคาลิปตัสที่สกัดด้วยต่างแล้ว

สัดส่วนเซลลูโลส (เปอร์เซ็นต์)					
ปัจจัย	ระดับ			ค่าอิทธิพลหลัก	ค่าร้อยละอิทธิพลหลัก
	1	2	3		
ความเข้มข้น โซเดียมไฮดรอกไซด์ (เปอร์เซ็นต์)	37.075	37.182	37.355	0.281	31.822
อุณหภูมิการสกัด (องศาเซลเซียส)	37.454	37.156	37.002	0.451	51.164
เวลาการสกัด (นาที)	37.118	37.227	37.268	0.15	17.014
สัดส่วนลิกนิน (เปอร์เซ็นต์)					
ปัจจัย	ระดับ			ค่าอิทธิพลหลัก	ค่าร้อยละอิทธิพลหลัก
	1	2	3		
ความเข้มข้น โซเดียมไฮดรอกไซด์ (เปอร์เซ็นต์)	26.184	26.152	25.675	0.509	20.15
อุณหภูมิการสกัด (องศาเซลเซียส)	25.065	26.115	26.831	1.767	69.896
เวลาการสกัด (นาที)	26.133	25.998	25.881	0.252	9.954
สัดส่วนเฮมิเซลลูโลส (เปอร์เซ็นต์)					
ปัจจัย	ระดับ			ค่าอิทธิพลหลัก	ค่าร้อยละอิทธิพลหลัก
	1	2	3		
ความเข้มข้น โซเดียมไฮดรอกไซด์ (เปอร์เซ็นต์)	5.124	4.208	4.786	0.917	16.334
อุณหภูมิการสกัด (องศาเซลเซียส)	6.665	4.185	3.268	3.397	60.527
เวลาการสกัด (นาที)	5.344	4.728	4.045	1.299	23.14

จากผลการวิเคราะห์ค่าร้อยละอิทธิพลหลัก โดยอาศัยค่าสัดส่วนเซลลูโลส ดังแสดงในตารางที่ 29 พบว่าค่าร้อยละอิทธิพลหลักของอุณหภูมิการสกัด มีค่ามากที่สุดเท่ากับ 51.164 ส่วน

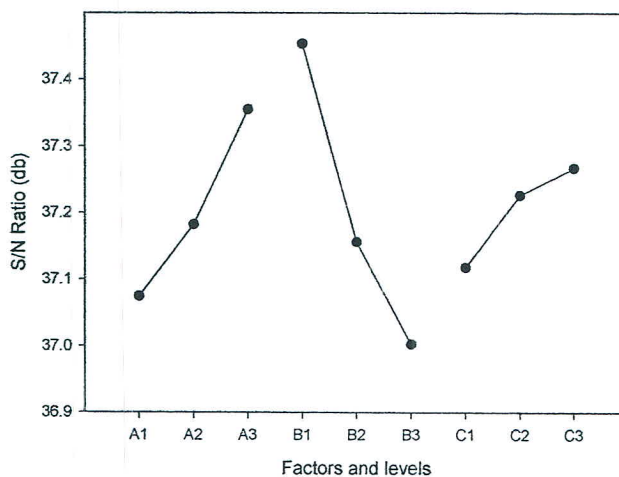
ความเข้มข้น โซเดียม ไฮดรอกไซด์ และเวลาการสกัด มีค่าร้อยละอิทธิพลหลักถัดลงมา เท่ากับ 31.822 และ 17.014 ตามลำดับ และจากค่าดังกล่าวสามารถบอกได้ว่า อุณหภูมิการสกัด เป็นปัจจัยที่มีอิทธิพลต่อการสกัดด้วยค่าเพื่อเพิ่มค่าสัดส่วนเซลลูโลส มากที่สุด ซึ่งให้ผลสอดคล้องกับการวิเคราะห์ความแปรปรวน (ANOVA) ดังที่ได้อธิบายไว้ข้างต้น

การวิเคราะห์ค่าร้อยละอิทธิพลหลัก โดยอาศัยค่าสัดส่วนลิกนิน จากตารางที่ 29 พบว่าค่าร้อยละอิทธิพลหลักของอุณหภูมิการสกัด มีค่ามากที่สุดเท่ากับ 69.896 ส่วนความเข้มข้นโซเดียมไฮดรอกไซด์ และเวลาการสกัด มีค่าร้อยละอิทธิพลหลักถัดลงมา เท่ากับ 20.150 และ 9.954 ตามลำดับ และจากค่าดังกล่าวสามารถบอกได้ว่า อุณหภูมิการสกัด เป็นปัจจัยที่มีอิทธิพลต่อการสกัดด้วยค่าเพื่อลดค่าสัดส่วนลิกนิน มากที่สุด ซึ่งให้ผลสอดคล้องกับการวิเคราะห์ความแปรปรวน (ANOVA) ดังที่ได้อธิบายไว้ข้างต้น

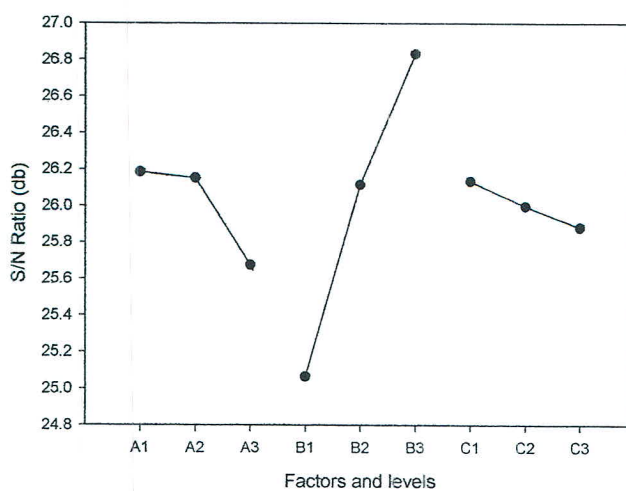
ส่วนผลการวิเคราะห์ค่าร้อยละอิทธิพลหลัก โดยอาศัยค่าสัดส่วนเฮมิเซลลูโลส ดังแสดงในตารางที่ 29 พบว่า ค่าร้อยละอิทธิพลหลักของอุณหภูมิการสกัด มีค่ามากที่สุดเท่ากับ 60.527 ส่วนเวลาการสกัด และความเข้มข้นโซเดียมไฮดรอกไซด์ มีค่าร้อยละอิทธิพลหลักถัดลงมา เท่ากับ 23.140 และ 16.334 ตามลำดับ และจากค่าดังกล่าวสามารถบอกได้ว่า อุณหภูมิการสกัด เป็นปัจจัยที่มีอิทธิพลต่อการสกัดด้วยค่าเพื่อลดค่าสัดส่วนเฮมิเซลลูโลส มากที่สุด ซึ่งให้ผลสอดคล้องกับการวิเคราะห์ความแปรปรวน (ANOVA) ดังที่ได้อธิบายไว้ข้างต้น

จากผลการวิเคราะห์ค่าร้อยละอิทธิพลหลัก เมื่อพิจารณาที่พารามิเตอร์หลัก คือ ค่าสัดส่วนเซลลูโลสและลิกนิน พบว่าอุณหภูมิการสกัด เป็นปัจจัยที่มีอิทธิพลต่อการสกัดด้วยค่ามากที่สุด รองลงมาคือ ความเข้มข้นโซเดียมไฮดรอกไซด์ และถัดมา คือเวลาการสกัด ซึ่งสอดคล้องกับให้ผลสอดคล้องกับการวิเคราะห์ความแปรปรวน (ANOVA)

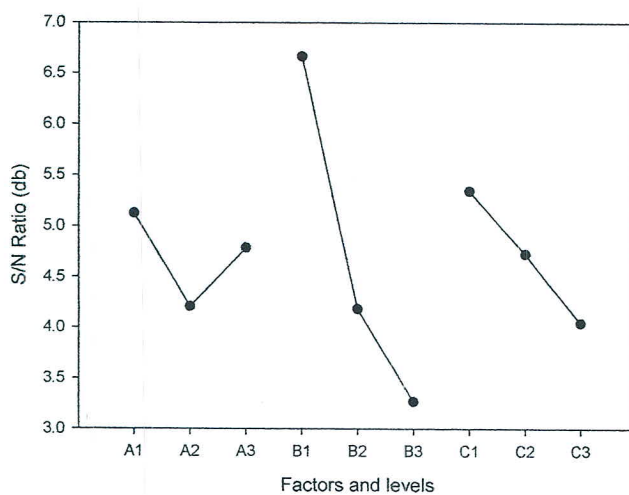
นำอัตราส่วน S/N ตามตารางที่ 28 เขียนกราฟแสดงความสัมพันธ์ระหว่างอัตราส่วน S/N กับปัจจัยของการทดลองในแต่ละระดับของปัจจัยของการทดลอง เพื่อหาสภาวะที่เหมาะสมต่อการสกัดด้วยค่า เพื่อเพิ่มสัดส่วนเซลลูโลส และลดสัดส่วนลิกนิน ในเยื่อไม้ยูคาลิปตัส ได้ผลดังภาพที่ 10, 11 และ 12



ภาพที่ 10 ค่าอัตราส่วน S/N ของปัจจัยต่าง ๆ ในแต่ละระดับที่มีผลต่อสัดส่วนเซลลูโลส



ภาพที่ 11 ค่าอัตราส่วน S/N ของปัจจัยต่าง ๆ ในแต่ละระดับที่มีผลต่อสัดส่วนลิกนิน



ภาพที่ 12 ค่าอัตราส่วน S/N ของปัจจัยต่าง ๆ ในแต่ละระดับที่มีผลต่อสัดส่วนเฮมิเซลลูโลส

จากภาพที่ 10-12 สามารถพิจารณาระดับของแต่ละปัจจัยที่ให้อัตราส่วน S/N สูงสุด ซึ่งสรุปเป็นสถานะที่เหมาะสม 3สถานะที่แตกต่างกัน คือ สถานะที่ให้ค่าสัดส่วนเซลลูโลสสูงสุด สถานะที่ให้ค่าสัดส่วนลิกนินต่ำสุด และสถานะที่ให้ค่าสัดส่วนเฮมิเซลลูโลสต่ำสุด แต่เนื่องจากเยื่อไม้ที่ผ่านการระเบิดด้วยไอน้ำยังคงมีค่าสัดส่วนลิกนินที่สูง ดังนั้นวัตถุประสงค์หลักของการสกัดด้วยด่าง เพื่อกำจัดลิกนินและเพิ่มสัดส่วนเซลลูโลสในเยื่อไม้ ที่ผ่านการระเบิดด้วยไอน้ำและสกัดด้วยน้ำร้อนแล้ว การหาสถานะการสกัดด้วยด่างที่ดีที่สุด จึงควรมีเพียงสถานะเดียว ดังนั้นในการพิจารณา จึงใช้พารามิเตอร์หลักคือ ค่าสัดส่วนเซลลูโลส และค่าสัดส่วนลิกนิน

ตารางที่ 30 สรุปสถานะที่เหมาะสมในการสกัดด้วยด่าง เพื่อเพิ่มค่าสัดส่วนเซลลูโลสและลดค่าสัดส่วนลิกนินในเยื่อ ไม้ยูคาลิปตัสที่ผ่านการระเบิดด้วยไอน้ำและสกัดด้วยน้ำร้อนแล้ว ผ่านการคำนวณโดยวิธีทฤษฎี

ปัจจัยการทดลอง	ระดับการทดลอง	สถานะ
ชุดการทดลอง C		
N: ความเข้มข้น โซเดียมไฮดรอกไซด์ (เปอร์เซ็นต์)	3	25
T: อุณหภูมิการสกัด (องศาเซลเซียส)	1	70
t: เวลาการสกัด (นาที)	3	90

หมายเหตุ: ชุดการทดลอง C คือ สถานะการสกัดด่างที่ให้ค่าสัดส่วนเซลลูโลสสูงสุด และสัดส่วนลิกนินต่ำสุด ของไม้ยูคาลิปตัส

จากตารางที่ 30 สรุปสถานะเหมาะสมการสกัดด่างของไม้ยูคาลิปตัส ที่ได้จากการคำนวณโดยวิธีทฤษฎี พิจารณาสถานะการสกัดด่างที่ให้ค่าสัดส่วนเซลลูโลสสูงสุด และให้ค่าสัดส่วนลิกนินต่ำสุด เป็นสถานะเดียวกัน กับชุดการทดลองที่ 7 ในตารางที่ 24 (ชุดการทดลอง C ในตารางที่ 30) โดยวิธีทฤษฎี ใช้หาสถานะที่เหมาะสมในการสกัดด่าง และสามารถนำค่าสถานะที่เหมาะสมมาประมาณค่าสัดส่วนเซลลูโลสสูงสุด และลิกนินต่ำสุด ของชุดการทดลอง C ตามลำดับ ต่อมนำค่าองค์ประกอบที่ได้จากสถานะการสกัดด่างเหมาะสมที่คำนวณได้โดยวิธีทฤษฎีมาแสดง โดยไม่ต้องทำการทดลองยืนยันซ้ำ เนื่องจากสถานะที่เหมาะสมดังกล่าว เป็นสถานะเดียวกับชุดการทดลองที่ 7 ในตารางที่ 24 ดังตารางที่ 31 และตารางที่ 32 ค่าสัดส่วนเซลลูโลสสูงสุด และลิกนินต่ำสุด เปรียบเทียบระหว่างที่ได้จากการทดลอง กับการประมาณค่าโดยวิธีทฤษฎี

ตารางที่ 31 องค์กรประกอบทางเคมีของไม้ยูคาลิปตัสที่ได้จากการทดลอง ของสภาวะเหมาะสมการ สกัดค่างที่ได้จากวิธีทะกุกิ ที่ความเข้มข้นโซเดียมไฮดรอกไซด์ 25 เปอร์เซ็นต์ อุณหภูมิ 70 องศา เซลเซียส เวลา 90 นาที

สภาวะ	องค์กรประกอบทางเคมี (เปอร์เซ็นต์)			
	เซลลูโลส	ลิกนิน	เฮมิเซลลูโลส	เถ้า
ชุดการทดลอง C	76.84	16.79	2.11	1.24

หมายเหตุ : สภาวะที่เหมาะสมของชุดการทดลอง C เป็นสภาวะเดียวกับการทดลองที่ 7 ในตาราง 19 จึงใช้ค่าองค์กรประกอบในตาราง เป็นตัวแทนของชุดการทดลองนี้

ตารางที่ 32 เปรียบเทียบค่าที่ได้จากการทดลองจริง และที่ได้จากการประมาณค่า ซึ่งคำนวณโดยวิธี ทะกุกิ ของสภาวะการสกัดค่างเหมาะสม ของ ไม้ยูคาลิปตัส ที่ความเข้มข้น โซเดียมไฮดรอกไซด์ 25 เปอร์เซ็นต์ อุณหภูมิ 70 องศาเซลเซียส เวลา 90 นาที

	ค่าจากการทดลอง (เปอร์เซ็นต์)		ค่าประมาณ (เปอร์เซ็นต์)	
	เซลลูโลส	ลิกนิน	เซลลูโลส	ลิกนิน
ชุดการทดลองเหมาะสม				
ชุดการทดลอง C	76.84	16.79	76.452	16.995

จากตารางที่ 31 จะเห็นว่า สภาวะการสกัดค่างที่ให้ค่าสัดส่วนเซลลูโลสสูงสุด เป็นสภาวะเดียวกับที่ให้ค่าสัดส่วนลิกนินต่ำสุด เท่ากับ 76.84 และ 16.79 เปอร์เซ็นต์ ตามลำดับ เห็นได้จาก ตารางที่ 32 โดยเปรียบเทียบกับค่าที่ได้จากการทดลองจริงและค่าที่ประมาณจากการคำนวณโดยวิธี ทะกุกิ มีค่าใกล้เคียงกันมาก ดังตารางที่ 32

ตารางที่ 33 สรุปค่าสัดส่วนองค์กรประกอบทางเคมีของไม้ยูคาลิปตัส ที่ผ่านการพรีทรีตเมนต์ สภาวะที่เหมาะสมในแต่ละขั้นตอน

ขั้นตอนการพรีทรีตเมนต์	องค์กรประกอบทางเคมี (เปอร์เซ็นต์)			
	เซลลูโลส	ลิกนิน	เฮมิเซลลูโลส	เถ้า
วัตถุดิบเริ่มต้น	43.75	24.69	19.55	0.76
การระเบิดด้วยไอน้ำ	44.86	29.91	15.27	0.43
การล้างด้วยน้ำร้อน	53.94	33.16	3.64	0.16
การสกัดด้วยค่าง	76.84	16.79	2.11	1.24

จากตารางที่ 33 องค์ประกอบทางเคมีของไม้ยูคาลิปตัส เมื่อผ่านขั้นตอนการสกัดด้วยค่าสภาวะเหมาะสมที่หาได้โดยวิธีทฤษฎี จากวัตถุดิบเริ่มต้นมีสัดส่วนเซลลูโลส 43.75 เพิ่มขึ้นเป็น 76.84 เปอร์เซ็นต์ และ สัดส่วนลิกนินของวัตถุดิบเริ่มต้น 24.69 ลดลงเหลือ 16.79 เปอร์เซ็นต์ เมื่อคิดเป็นประสิทธิภาพการเพิ่มขึ้นของสัดส่วนเซลลูโลส เท่ากับ 43.06 เปอร์เซ็นต์ และประสิทธิภาพการลดลงของสัดส่วนลิกนิน เท่ากับ 32 เปอร์เซ็นต์ เนื่องจากค่าเข้าไปทำการแยกโครงสร้างระหว่างลิกนิน และคาร์โบไฮเดรต และเข้าไปทำลายโครงสร้างลิกนิน (Fan และคณะ, 1987) ทำให้ลิกนินหลุดออกมากับสารละลายต่างได้ง่าย สัดส่วนลิกนินจึงลดลง อีกทั้งสัดส่วนเฮมิเซลลูโลสซึ่งไม่เสถียร ก็ถูกทำลายเพิ่ม ทำให้สัดส่วนเซลลูโลสเพิ่มขึ้น

4.3.2 การหาสภาวะที่เหมาะสมของการสกัดด้วยค่า ที่มีผลต่อองค์ประกอบทางเคมีของเยื่อกระดาษที่ผ่านขั้นตอนการระเบิดไอน้ำตามด้วยการสกัดด้วยน้ำ โดยใช้วิธีทฤษฎี

หลังจากเยื่อ ถูกนำมาสกัดด้วยค่า ณ สภาวะต่าง ๆ ภายใต้สภาวะการทดลองทั้ง 9 ชุดการทดลอง ซึ่งออกแบบการทดลองโดยวิธีทฤษฎี เมื่อนำเยื่อยูคาลิปตัสสกัดด้วยค่าวิเคราะห์ห้องปฏิบัติการทางเคมี ได้ผลดังตารางที่ 34

ตารางที่ 34 ค่าสัดส่วนองค์ประกอบทางเคมีเยื่อกระดาษที่สกัดด้วยค่า ณ สภาวะที่แตกต่างกัน

ชุดการทดลอง	องค์ประกอบทางเคมี (%)				
	ไฮโดรเซลลูโลส	ลิกนิน	เซลลูโลส	เฮมิเซลลูโลส	เถ้า
1	67.75	29.59	59.12	4.36	1.58
2	67.79	29.59	59.52	4.02	3.04
3	66.37	30.05	59.37	3.39	2.82
4	68.25	30.04	60.61	3.65	1.88
5	67.39	30.55	60.05	3.68	2.4
6	66.37	30.69	58.71	3.72	2.68
7	68.26	29.86	61.45	3.77	2.15
8	67.76	30.24	61.58	3.25	1.63
9	66.61	30.98	59.84	3.29	3.25

การวิเคราะห์ผลการทดลองที่ได้ทั้ง 9 ชุดการทดลอง จะอาศัย ค่าสัดส่วนเซลลูโลส สัดส่วนลิกนิน เป็นพารามิเตอร์หลัก เนื่องจากวัตถุประสงค์ของการสกัดด้วยด่าง ต้องการกำจัดลิกนินออกจากเชื้อเพื่อให้มีสัดส่วนลิกนินต่ำที่สุด และเพิ่มสัดส่วนเซลลูโลสให้มากที่สุด ส่วนค่าสัดส่วนเฮมิเซลลูโลสและเถ้า เป็นพารามิเตอร์รอง ซึ่งการวิเคราะห์ที่แบ่งออกเป็นหัวข้อหลักได้ ดังนี้ การหาอิทธิพลของแต่ละปัจจัยที่ส่งผลต่อสัดส่วนเซลลูโลสและลิกนิน การหาสภาวะที่เหมาะสมในการสกัดด้วยด่าง การประมาณค่าสัดส่วนเซลลูโลส และลิกนิน ที่ได้จากการสกัดด้วยด่างที่สภาวะที่เหมาะสม

4.3.2.1 การหาอิทธิพลของแต่ละปัจจัยที่ส่งผลต่อสัดส่วนเซลลูโลส และลิกนินของเชื้อกระถินเทพา

การหาอิทธิพลของแต่ละปัจจัยที่ส่งผลต่อค่าสัดส่วนองค์ประกอบทางเคมีสามารถหาได้จาก การวิเคราะห์ความแปรปรวน (ANOVA) โดยจะแสดงถึงร้อยละอิทธิพลของปัจจัยการทดลอง (Percent contribution) ที่มีผลต่อการสกัดด้วยด่างเพื่อเพิ่มสัดส่วนเซลลูโลส ลดสัดส่วนลิกนิน เฮมิเซลลูโลส และเถ้า ซึ่งเป็นค่าที่สามารถบอกได้ว่าปัจจัยที่ใช้ในการทดลองใดมีผลต่อการสกัดด้วยด่างบ้าง และมีอิทธิพลมากหรือน้อย นอกจากนี้การวิเคราะห์ความแปรปรวนยังสามารถบอกได้ถึงระดับความเชื่อมั่นของปัจจัยการทดลองที่มีต่อการสกัดด้วยด่าง ได้ผลการวิเคราะห์สรุปดังตารางที่ 35, 36 และ 37

ตารางที่ 35 การวิเคราะห์ความแปรปรวน (ANOVA) ของค่าสัดส่วนเซลลูโลส

Factor	DOF ^A	SS ^A	V ^A	F ^A	S'	Percent	Confidence ^A	Significant	
						contribution	(%)		
N	2	12.61	6.31	5.026	10.1	22.927	98.296	**	
T	2	7.055	3.53	2.811	4.546	9.91	91.602	*	
t	2	1.108	0.55	0.441	0	0	35.05	-	
Other Error	20	25.09	1.25			68.063			
Total	26	45.87				100			
หมายเหตุ	N: ความเข้มข้น โซเดียมไฮดรอกไซด์ (เปอร์เซ็นต์)						P<0.001	***	
	T: อุณหภูมิการสกัด (องศาเซลเซียส)						P<0.01	**	
	t: เวลาการสกัด (นาที)						P<0.05	*	

ตารางที่ 36 การวิเคราะห์ความแปรปรวน (ANOVA) ของค่าสัดส่วนลิกนิน

Factor	DOF ^A	SS ^A	V ^A	F ^A	S'	Percent contribution		Significant	
						(%)	Confidence ^A (%)		
N	2	2.549	1.27	1.425	0.761	3.314	73.61	-	
T	2	2.532	1.27	1.416	0.744	3.24	73.401	-	
t	2	0.012	0.01	0.006	0	0	0.598	-	
Other Error	20	17.88	0.89			93.446			
Total	26	22.97				100			
<u>หมายเหตุ</u>	N: ความเข้มข้น โซเดียมไฮดรอกไซด์ (เปอร์เซ็นต์)						P<0.001	***	
	T: อุณหภูมิการสกัด (องศาเซลเซียส)						P<0.01	**	
	t: เวลาการสกัด (นาที)						P<0.05	*	

ตารางที่ 37 การวิเคราะห์ความแปรปรวน (ANOVA) ของค่าสัดส่วนเฮมิเซลลูโลส

Factor	DOF ^A	SS ^A	V ^A	F ^A	S'	Percent contribution		Significant	
						(%)	Confidence ^A (%)		
N	2	1.075	0.54	1.228	0.2	1.828	68.597	-	
T	2	0.979	0.49	1.119	0.104	0.955	65.379	-	
t	2	0.133	0.66	0.152	0	0	14.003	-	
Other Error	20	8.75	0.44			97.217			
Total	26	10.94				100			
<u>หมายเหตุ</u>	N: ความเข้มข้น โซเดียมไฮดรอกไซด์ (เปอร์เซ็นต์)						P<0.001	***	
	T: อุณหภูมิการสกัด (องศาเซลเซียส)						P<0.01	**	
	t: เวลาการสกัด (นาที)						P<0.05	*	

ผลจากการวิเคราะห์ความแปรปรวนโดยอาศัยค่าสัดส่วนเซลลูโลส จากตารางที่ 35 พบว่าร้อยละอิทธิพล (Percent contribution) ของความเข้มข้น โซเดียมไฮดรอกไซด์มีค่ามากที่สุด เท่ากับ

22.927 เปอร์เซ็นต์ รองลงมาคือ อุณหภูมิการสกัด เท่ากับ 9.91 ส่วนเวลาการสกัดเป็นปัจจัยที่ไม่มีค่าร้อยละอิทธิพลเลย เท่ากับ 0 และเมื่อพิจารณาจากระดับความเชื่อมั่นจะเห็นว่า ความเข้มข้น โซเดียมไฮดรอกไซด์ มีอิทธิพลต่อการสกัดค่าอย่างมีนัยสำคัญทางสถิติที่ $p < 0.01$ และอุณหภูมิการสกัด มีอิทธิพลต่อการสกัดค่าอย่างมีนัยสำคัญทางสถิติที่ $p < 0.05$ ส่วนปัจจัยด้านเวลาการสกัดเป็นปัจจัยที่ไม่มีอิทธิพลต่อการสกัดค่าอย่างมีนัยสำคัญทางสถิติ

ด้านผลการวิเคราะห์ความแปรปรวนโดยพิจารณาค่าสัดส่วนลิกนิน จากตารางที่ 36 พบว่า ร้อยละอิทธิพล (Percent contribution) ของความเข้มข้น โซเดียมไฮดรอกไซด์มีค่ามากที่สุด เท่ากับ 3.314 รองลงมาคือ อุณหภูมิการสกัด เท่ากับ 3.240 ส่วนเวลาการสกัดเป็นปัจจัยที่ไม่มีค่าร้อยละอิทธิพล เท่ากับ 0 และเมื่อพิจารณาจากระดับความเชื่อมั่นจะเห็นว่า ทั้งสามปัจจัยคือ ความเข้มข้น โซเดียมไฮดรอกไซด์ อุณหภูมิการสกัด และเวลาการสกัด เป็นปัจจัยที่ไม่มีอิทธิพลต่อการสกัดค่าอย่างมีนัยสำคัญทางสถิติ และผลการวิเคราะห์ความแปรปรวนโดยพิจารณาค่าสัดส่วนเฮมิเซลลูโลส จากตารางที่ 37 พบว่า ร้อยละอิทธิพล (Percent contribution) ของความเข้มข้น โซเดียมไฮดรอกไซด์ มีค่ามากที่สุด เท่ากับ 1.828 รองลงมาคือ อุณหภูมิการสกัด เท่ากับ 0.955 ส่วนเวลาการสกัดเป็นปัจจัยที่ไม่มีค่าร้อยละอิทธิพล เท่ากับ 0 และเมื่อพิจารณาจากระดับความเชื่อมั่นจะเห็นว่า ทั้งสามปัจจัยคือ ความเข้มข้น โซเดียมไฮดรอกไซด์ อุณหภูมิการสกัด และเวลาการสกัด เป็นปัจจัยที่ไม่มีอิทธิพลต่อการสกัดค่าอย่างมีนัยสำคัญทางสถิติ เหมือนกับผลการวิเคราะห์ความแปรปรวนโดยพิจารณาค่าสัดส่วนลิกนิน

จากผลการวิเคราะห์ความแปรปรวน สามารถสรุปได้ว่า เมื่อพิจารณาจากค่าสัดส่วนเซลลูโลส พบว่า ความเข้มข้น โซเดียมไฮดรอกไซด์ มีอิทธิพลอย่างมีนัยสำคัญทางสถิติ และมีอิทธิพลมากที่สุดต่อการสกัดด้วยค่าเพื่อเพิ่มสัดส่วนเซลลูโลส รองลงมาคืออุณหภูมิการสกัดที่มีอิทธิพลต่อการสกัดด้วยค่าอย่างมีนัยสำคัญทางสถิติเช่นกัน ส่วนเวลาการสกัด ไม่มีอิทธิพลต่อการสกัดด้วยค่าอย่างมีนัยสำคัญ ด้านค่าสัดส่วนลิกนิน พบว่า ปัจจัยทั้งสาม คือความเข้มข้น โซเดียมไฮดรอกไซด์ อุณหภูมิการสกัด และเวลาการสกัด ไม่มีอิทธิพลต่อการสกัดด้วยค่าเพื่อลดสัดส่วนลิกนินอย่างมีนัยสำคัญทางสถิติ ส่วนค่าสัดส่วนเฮมิเซลลูโลส ปัจจัยทั้งสาม ไม่มีอิทธิพลต่อการสกัดด้วยค่าอย่างมีนัยสำคัญ และไม่ใช่ว่าพารามิเตอร์หลักในการหาสภาวะที่เหมาะสมของการสกัดด้วยค่า จึงไม่นำผลการวิเคราะห์ของค่าสัดส่วนเฮมิเซลลูโลสมาใช้พิจารณา เช่นเดียวกับค่าสัดส่วนแล้ว ถึงแม้จะมีอิทธิพลต่อการสกัดค่าอย่างมีนัยสำคัญ แต่เนื่องจากค่าสัดส่วนที่มีค่าน้อยมาก จึงไม่

นำไปใช้พิจารณาสถานะที่เหมาะสม เช่นเดียวกับค่าสัดส่วนเฮมิเซลล์โลส ดังนั้น จึงใช้เพียงค่าสัดส่วนเซลล์โลสและลิกนินในการพิจารณาหาสถานะที่เหมาะสมที่สุดในการสกัดด้วยด่าง ในขั้นต่อไป

4.3.2.2 การหาสถานะที่เหมาะสมในการสกัดด้วยด่าง ไม้กระถินเทพา

หลักในการหาสถานะที่เหมาะสมโดยวิธีทะกุกิแบ่งประเภทของการทดลองออกเป็น 3 ประเภท คือ The Smaller is better, The Nominal is better และ The Bigger is better ซึ่งการทดลองนี้จัดอยู่ในทั้งประเภท The Bigger is better (B) และ The Smaller is better (S) โดยต้องการสัดส่วนเซลล์โลสสูงสุดจึงใช้ประเภท The Bigger is better อีกด้าน ต้องการสัดส่วนลิกนิน เฮมิเซลล์โลส และเถ้า ต่ำสุด จึงใช้ประเภท The Smaller is better การทดลองครั้งนี้สนใจที่ค่าสัดส่วนเซลล์โลสสูงสุด และสัดส่วนลิกนินต่ำสุด จึงต้องหาสถานะที่ให้ได้สัดส่วนดังกล่าว

นำค่าสัดส่วนเซลล์โลส และสัดส่วนลิกนิน ของทั้ง 9 ชุดการทดลอง การทดลองละ 3 ชั่วโมง ค่าอัตราส่วน Signal-to-Noise (S/N-Ratio) เพื่อหาสถานะที่เหมาะสมต่อการทดลอง ซึ่งสูตรการคำนวณหาค่า S/N-Ratio แสดงในภาคผนวก และสรุปผลได้ดังตารางที่ 38 โดยนำ S/N-Ratio มาคำนวณร้อยละอิทธิพลหลักของปัจจัยของการทดลองในแต่ละระดับการทดลอง ซึ่งสรุปผลดังตารางที่ 39

ตารางที่ 38 สรุปค่าสัดส่วน S/N ของค่าสัดส่วนเซลลูลอส ลิกนินและเฮมิเซลลูลอส จากการทดลองทั้ง 9 ชุดการทดลอง ของไม้กระถินเทพา

ชุดการทดลอง	สัดส่วนเซลลูลอส (เปอร์เซ็นต์)				สัดส่วนลิกนิน (เปอร์เซ็นต์)				สัดส่วนเฮมิเซลลูลอส (เปอร์เซ็นต์)			
	ครั้งที่ 1	ครั้งที่ 2	ครั้งที่ 3	อัตราส่วน S/N (เดซิเบล)	ครั้งที่ 1	ครั้งที่ 2	ครั้งที่ 3	อัตราส่วน S/N (เดซิเบล)	ครั้งที่ 1	ครั้งที่ 2	ครั้งที่ 3	อัตราส่วน S/N (เดซิเบล)
1	59.82	59.82	58.7	35.482	30.04	28.23	30.49	29.407	4.41	4.02	4.66	12.745
2	57.76	57.76	61.60	35.411	28.45	29.29	31.04	29.407	3.88	3.37	4.81	11.808
3	59.57	59.57	59.57	35.501	29.70	28.80	31.65	29.536	2.89	3.01	4.27	10.227
4	60.49	60.49	59.94	35.607	29.74	30.47	29.91	29.553	3.32	3.77	3.87	11.198
5	60.34	60.34	60.11	35.601	30.58	30.43	30.64	29.700	2.92	4.22	3.89	10.975
6	58.85	58.85	59.34	35.419	29.84	30.90	31.34	29.735	3.33	3.37	4.46	11.182
7	61.68	61.68	59.87	35.715	29.97	30.80	28.80	29.491	2.87	5.15	3.29	10.764
8	60.57	60.57	60.65	35.649	30.53	29.61	30.57	29.608	3.12	3.45	3.18	10.212
9	59.23	59.23	59.82	35.479	29.94	30.78	32.21	29.809	3.04	3.88	2.94	10.141

ตารางที่ 39 อิทธิพลหลักของแต่ละปัจจัยที่มีผลต่อสัดส่วนองค์ประกอบทางเคมีของเชื้อไม้กระถิน
 เทพาทีสกัดด้วยต่างแล้ว

ปัจจัย	สัดส่วนเซลลูโลส (เปอร์เซ็นต์)			ค่าอิทธิพล หลัก	ค่าร้อยละ อิทธิพลหลัก
	ระดับ				
	1	2	3		
ความเข้มข้น โซเดียมไฮดรอกไซด์ (เปอร์เซ็นต์)	35.464	35.542	35.614	0.150	38.343
อุณหภูมิการสกัด (องศาเซลเซียส)	35.601	35.554	35.466	0.135	34.480
เวลาการสกัด (นาที)	35.516	35.499	35.606	0.106	27.177

ปัจจัย	สัดส่วนลิกนิน (เปอร์เซ็นต์)			ค่าอิทธิพล หลัก	ค่าร้อยละ อิทธิพลหลัก
	ระดับ				
	1	2	3		
ความเข้มข้น โซเดียมไฮดรอกไซด์ (เปอร์เซ็นต์)	29.450	29.663	29.636	0.213	48.775
อุณหภูมิการสกัด (องศาเซลเซียส)	29.484	29.572	29.693	0.209	48.068
เวลา (นาที)	29.584	29.589	29.576	0.014	3.157

ปัจจัย	สัดส่วนเฮมิเซลลูโลส (เปอร์เซ็นต์)			ค่าอิทธิพล หลัก	ค่าร้อยละ อิทธิพลหลัก
	ระดับ				
	1	2	3		
ความเข้มข้น โซเดียมไฮดรอกไซด์ (เปอร์เซ็นต์)	11.593	11.119	10.372	1.221	40.739
อุณหภูมิการสกัด (องศาเซลเซียส)	11.569	10.999	10.517	1.052	35.092
เวลา (นาที)	11.380	11.049	10.655	0.724	24.169

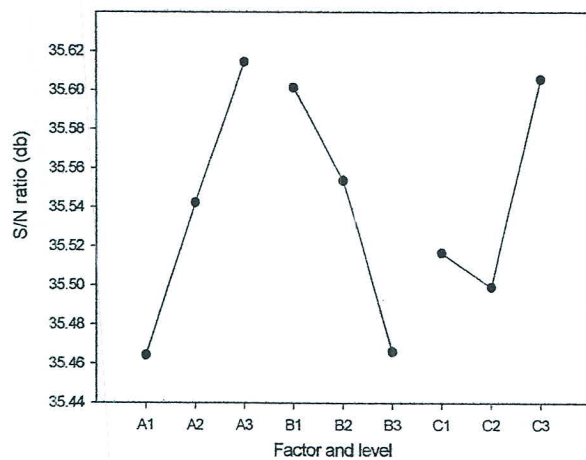
จากผลการวิเคราะห์ค่าร้อยละอิทธิพลหลัก โดยอาศัยค่าสัดส่วนเซลลูโลส ดังแสดงในตารางที่ 39 พบว่า ค่าร้อยละอิทธิพลหลักของความเข้มข้น โซเดียมไฮดรอกไซด์ มีค่ามากที่สุดเท่ากับ 38.343 ส่วนอุณหภูมิการสกัด และเวลาการสกัด มีค่าร้อยละอิทธิพลหลักถัดลงมา เท่ากับ 34.480 และ 27.177 ตามลำดับ และจากค่าดังกล่าวสามารถบอกได้ว่า ความเข้มข้น โซเดียมไฮดรอกไซด์ เป็นปัจจัยที่มีอิทธิพลต่อการสกัดด้วยค่าสัดส่วนเซลลูโลส มากที่สุด ซึ่งให้ผลสอดคล้องกับการวิเคราะห์ความแปรปรวน (ANOVA) ดังที่ได้อธิบายไว้ข้างต้น

การวิเคราะห์ค่าร้อยละอิทธิพลหลัก โดยอาศัยค่าสัดส่วนลิกนิน จากตารางที่ 39 พบว่าค่าร้อยละอิทธิพลหลักของความเข้มข้น โซเดียมไฮดรอกไซด์ มีค่ามากที่สุดเท่ากับ 48.775 ซึ่งมีค่าใกล้เคียงกับอุณหภูมิการสกัด เท่ากับ 48.068 ส่วนปัจจัยด้านเวลาการสกัดมีค่าร้อยละอิทธิพลหลักน้อยที่สุด เท่ากับ 3.157 และจากค่าดังกล่าวสามารถบอกได้ว่า ความเข้มข้น โซเดียมไฮดรอกไซด์ เป็นปัจจัยที่มีอิทธิพลต่อการสกัดด้วยค่าสัดส่วนลิกนิน มากที่สุด ซึ่งให้ผลสอดคล้องกับการวิเคราะห์ความแปรปรวน (ANOVA) ดังที่ได้อธิบายไว้ข้างต้น

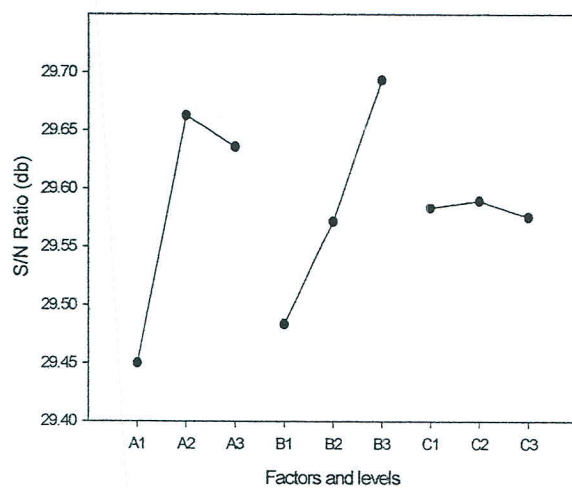
ส่วนผลการวิเคราะห์ค่าร้อยละอิทธิพลหลัก โดยอาศัยค่าสัดส่วนเฮมิเซลลูโลส ดังแสดงในตารางที่ 39 พบว่า ค่าร้อยละอิทธิพลหลักของความเข้มข้น โซเดียมไฮดรอกไซด์ มีค่ามากที่สุดเท่ากับ 40.739 ส่วนอุณหภูมิการสกัด และเวลาการสกัด มีค่าร้อยละอิทธิพลหลักถัดลงมา เท่ากับ 35.092 และ 24.169 ตามลำดับ และจากค่าดังกล่าวสามารถบอกได้ว่า ความเข้มข้น โซเดียมไฮดรอกไซด์ เป็นปัจจัยที่มีอิทธิพลต่อการสกัดด้วยค่าสัดส่วนเฮมิเซลลูโลส มากที่สุด ซึ่งให้ผลสอดคล้องกับการวิเคราะห์ความแปรปรวน (ANOVA) ดังที่ได้อธิบายไว้ข้างต้น

จากผลการวิเคราะห์ค่าร้อยละอิทธิพลหลัก เมื่อพิจารณาที่พารามิเตอร์หลัก คือ ค่าสัดส่วนเซลลูโลสและลิกนิน พบว่าความเข้มข้น โซเดียมไฮดรอกไซด์ เป็นปัจจัยที่มีอิทธิพลต่อการสกัดด้วยค่ามากที่สุด รองลงมาคือ อุณหภูมิการสกัด และถัดมา คือเวลาการสกัด ซึ่งสอดคล้องกับให้ผลสอดคล้องกับการวิเคราะห์ความแปรปรวน (ANOVA)

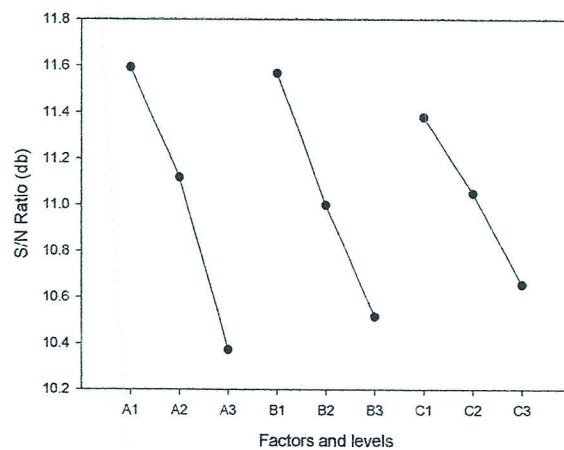
นำอัตราส่วน S/N ตามตารางที่ 38 เขียนกราฟแสดงความสัมพันธ์ระหว่างอัตราส่วน S/N กับปัจจัยของการทดลองในแต่ละระดับของปัจจัยของการทดลอง เพื่อหาสภาวะที่เหมาะสมต่อการสกัดด้วยค่า เพื่อเพิ่มสัดส่วนเซลลูโลส และลดสัดส่วนลิกนินในเยื่อไม้กระถินเทพา ได้ผลดังภาพที่ 13, 14, และ 15



ภาพที่ 13 ค่าอัตราส่วน S/N ของปัจจัยต่าง ๆ ในแต่ละระดับที่มีผลต่อสัดส่วนเซลลูโลส



ภาพที่ 14 ค่าอัตราส่วน S/N ของปัจจัยต่าง ๆ ในแต่ละระดับที่มีผลต่อสัดส่วนลิกนิน



ภาพที่ 15 ค่าอัตราส่วน S/N ของปัจจัยต่าง ๆ ในแต่ละระดับที่มีผลต่อสัดส่วนเฮมิเซลลูโลส

จากภาพที่ 13-15 สามารถพิจารณาระดับของแต่ละปัจจัยที่ให้อัตราส่วน S/N สูงสุด ซึ่งสรุปเป็นสถานะที่เหมาะสม 3สถานะที่แตกต่างกัน คือ สถานะที่ให้ค่าสัดส่วนเซลลูโลสสูงสุด สถานะที่ให้ค่าสัดส่วนลิกนินต่ำสุด และสถานะที่ให้ค่าสัดส่วนเฮมิเซลลูโลสต่ำสุด แต่เนื่องจากเยื่อไม้ที่ผ่านการระเบิดด้วยไอน้ำยังคงมีค่าสัดส่วนลิกนินที่สูง ดังนั้นวัตถุประสงค์หลักของการสกัดด้วยด่าง เพื่อกำจัดลิกนินและเพิ่มสัดส่วนเซลลูโลสในเยื่อไม้ ที่ผ่านการระเบิดด้วยไอน้ำและสกัดด้วยน้ำร้อนแล้ว การหาสถานะการสกัดด้วยด่างที่ดีที่สุด จึงควรมีเพียงสถานะเดียว ดังนั้นในการพิจารณา จึงใช้พารามิเตอร์หลักคือ ค่าสัดส่วนเซลลูโลส และค่าสัดส่วนลิกนิน

ตารางที่ 40 สรุปสถานะที่เหมาะสมในการสกัดด้วยด่าง เพื่อเพิ่มค่าสัดส่วนเซลลูโลสและลดค่าสัดส่วนลิกนินในเยื่อไม้กระถินเทพาที่ผ่านการระเบิดด้วยไอน้ำและสกัดด้วยน้ำร้อนแล้ว ผ่านการคำนวณโดยวิธีทฤษฎี

ปัจจัยการทดลอง	ระดับการทดลอง	สถานะ
ชุดการทดลอง A		
N: ความเข้มข้น โซเดียมไฮดรอกไซด์ (เปอร์เซ็นต์)	3	25
T: อุณหภูมิการสกัด (องศาเซลเซียส)	1	70
t: เวลาการสกัด (นาที)	3	90
ชุดการทดลอง B		
N: ความเข้มข้น โซเดียมไฮดรอกไซด์ (เปอร์เซ็นต์)	1	15
T: อุณหภูมิการสกัด (องศาเซลเซียส)	1	70
t: เวลาการสกัด (นาที)	3	90

หมายเหตุ: ชุดการทดลอง A คือ สถานะการสกัดด่างที่ให้ค่าสัดส่วนเซลลูโลสสูงสุดของไม้กระถินเทพา

ชุดการทดลอง B คือ สถานะการสกัดด่างที่ให้ค่าสัดส่วนลิกนินต่ำสุดของไม้กระถินเทพา

จากตารางที่ 40 สรุปสถานะเหมาะสมการสกัดด้วยด่างที่ได้จากการคำนวณโดยวิธีทฤษฎี พิจารณาสถานะการสกัดด่างที่ให้ค่าสัดส่วนเซลลูโลสสูงสุด เป็นสถานะเดียวกับชุดการทดลองที่ 7 ในตารางที่ 34 (ชุดการทดลอง A ในตารางที่ 40) ขณะที่สถานะที่ให้ค่าสัดส่วนลิกนินต่ำสุด ไม่ได้อยู่ในชุดการทดลองใด ในตารางที่ 29 (ชุดการทดลอง B ในตารางที่ 40) โดยวิธีทฤษฎี ใช้หาสถานะที่เหมาะสมใน

การสกัดค่า และสามารถนำค่าสถานะที่เหมาะสมมาประมาณค่าสัดส่วนเซลลูโลสสูงสุด และลิกนินต่ำสุด ของชุดการทดลอง A และ B ตามลำดับ ต่อมานำสถานะการสกัดค่าที่เหมาะสมที่คำนวณได้โดยวิธีทฤษฎี ทำการทดลองยืนยันผล เพื่อหาค่าองค์ประกอบทางเคมีที่ได้จริงจากสถานะดังกล่าว ดังตารางที่ 41 และตารางที่ 42 ค่าสัดส่วนเซลลูโลสสูงสุด และลิกนินต่ำสุด เปรียบเทียบระหว่างที่ได้จากการทดลอง (รวมถึงการทำการทดลองยืนยันผล) กับการประมาณค่าโดยวิธีทฤษฎี

ในตารางที่ 41 ชุดการทดลอง A สถานะที่ได้จากการคำนวณวิธีทฤษฎี เป็นสถานะเดียวกับชุดการทดลองที่ 7 (ตารางที่ 34) ดังนั้น จึงใช้ค่าองค์ประกอบที่ได้จากการทดลองของชุดการทดลองที่ 7 แต่ชุดการทดลอง B สถานะที่ได้จากการคำนวณวิธีทฤษฎี ไม่ได้อยู่ในชุดการทดลองใด ดังนั้น จึงต้องทำการทดลองยืนยันผล ซึ่งจุดแตกต่างของสถานะทั้งสองคือ ความเข้มข้นโซเดียมไฮดรอกไซด์ โดยชุดการทดลอง A ใช้ความเข้มข้นโซเดียมไฮดรอกไซด์ 15 เปอร์เซ็นต์ ซึ่งให้ค่าสัดส่วนลิกนินต่ำสุด ส่วนชุดการทดลอง B ใช้ความเข้มข้นโซเดียมไฮดรอกไซด์ 25 เปอร์เซ็นต์ ซึ่งให้ค่าสัดส่วนเซลลูโลสสูงสุด

ตารางที่ 41 องค์ประกอบทางเคมีของไม้กระถินเทพา ที่ได้จากการทดลองยืนยันผล ของสถานะที่เหมาะสมการสกัดค่าที่ได้จากวิธีทฤษฎี

สถานะ	องค์ประกอบทางเคมี (เปอร์เซ็นต์)			
	เซลลูโลส	ลิกนิน	เพนโตแซน	เถ้า
ชุดการทดลอง A*	61.45	29.86	3.77	2.15
ชุดการทดลอง B**	57.77	29.59	3.76	6.67

หมายเหตุ : * หมายถึง ชุดการทดลอง B เท่านั้นที่ทำการทดลองใหม่ เพื่อยืนยันผล

** หมายถึง สถานะที่เหมาะสมของชุดการทดลอง A เป็นสถานะเดียวกับการทดลองที่ 7 ในตาราง 5 จึงใช้ค่าองค์ประกอบในตาราง เป็นตัวแทนของชุดการทดลองนี้

ตารางที่ 42 เปรียบเทียบค่าที่ได้จากการทดลองจริง และที่ได้จากการประมาณค่าซึ่งคำนวณโดยวิธี
ทฤษฎี ของสภาวะการสกัดค่าที่เหมาะสมของไม้กระถินเทพา

ชุดการทดลองเหมาะสม	ค่าจากการทดลอง (เปอร์เซ็นต์)		ค่าประมาณ (เปอร์เซ็นต์)	
	เซลลูโลส	ลิกนิน	เซลลูโลส	ลิกนิน
ชุดการทดลอง A	61.45	29.86	61.59	-
ชุดการทดลอง B	57.77	29.59	-	29.37

จากตารางที่ 41 และ 42 จะเห็นว่า ค่าสัดส่วนเซลลูโลสที่ได้จากชุดการทดลอง A เท่ากับ 61.54 เปอร์เซ็นต์ ซึ่งมีค่าสูงกว่า ชุดการทดลอง B ที่มีค่าเท่ากับ 57.77 เปอร์เซ็นต์ โดยที่ค่าสัดส่วนลิกนินใกล้เคียงกันมาก คือ 29.86 และ 29.59 ของชุดการทดลอง A และ B ตามลำดับ เห็นได้จากตารางที่ 7 การวิเคราะห์ความแปรปรวน (ANOVA) ของค่าสัดส่วนลิกนินที่ไม่มีความแตกต่างกันอย่างมีนัยสำคัญทุกพารามิเตอร์ ดังนั้น จึงพิจารณาที่สัดส่วนเซลลูโลส ดังนั้นจึงเลือกที่ชุดการทดลอง A เป็นสภาวะการสกัดค่าที่เหมาะสมของไม้กระถินเทพา ที่เหมาะสมเพื่อเพิ่มสัดส่วนเซลลูโลสสูงสุด

ตารางที่ 43 สรุปค่าสัดส่วนองค์ประกอบทางเคมีของไม้กระถินเทพา ที่ผ่านการพรีทรีตเมนต์สภาวะเหมาะสมแต่ละขั้นตอน

ขั้นตอนการพรีทรีตเมนต์	องค์ประกอบทางเคมี (เปอร์เซ็นต์)			
	เซลลูโลส	ลิกนิน	เฮมิเซลลูโลส	เถ้า
วัตถุดิบเริ่มต้น	46.47	26.44	18.28	0.76
การระเบิดด้วยไอน้ำ	44.44	29.33	17.92	0.68
การล้างด้วยน้ำร้อน	51.05	33.8	8	0.4
การสกัดด้วยด่าง	61.45	29.86	3.77	2.15

จากตารางที่ 43 องค์ประกอบทางเคมีของไม้กระถินเทพา เมื่อผ่านขั้นตอนการสกัดด้วยด่าง สภาวะเหมาะสมที่ทำได้โดยวิธีทฤษฎี จากวัตถุดิบเริ่มต้นมีสัดส่วนเซลลูโลส 46.47 เพิ่มขึ้นเป็น 61.45 เปอร์เซ็นต์ เมื่อเกิดเป็นประสิทธิภาพการเพิ่มขึ้นของสัดส่วนเซลลูโลส เท่ากับ 24.38 เปอร์เซ็นต์

ด้านสัดส่วนลิกนิน ควรมีค่าลดลง เมื่อผ่านการสกัดด้วยค่าต่าง เทียบกับวัตถุดิบเริ่มต้น กลับพบว่ามีความสัมพันธ์ที่เพิ่มขึ้น คือ จาก 26.44 เป็น 29.86 แต่เมื่อเทียบกับหลังขั้นตอนการล้างด้วยน้ำร้อน ซึ่งพบว่ามีความลดลงบ้างเล็กน้อย คือ จาก 33.80 เป็น 29.86 เปอร์เซ็นต์ โดยสัดส่วนลิกนินหลังสกัดด้วยค่าต่าง เมื่อเทียบกับวัตถุดิบเริ่มต้น เพิ่มขึ้นนั้น อาจเนื่องมาจาก สัดส่วนเฮมิเซลลูโลสที่ลดลงมาก หลังระเบิดด้วยไอน้ำและล้างด้วยน้ำร้อน ทำให้ไปเพิ่มสัดส่วนของลิกนิน อีกทั้งยังไปเพิ่มตรงส่วนเซลลูโลส ซึ่งลิกนินและเซลลูโลสหลังระเบิดด้วยไอน้ำ แทบจะไม่มีเปลี่ยนแปลง หรือสูญหายน้อยมาก จึงทำให้สัดส่วนลิกนิน และเซลลูโลสมีค่าเพิ่มขึ้นตั้งแต่ขั้นตอนแรก แต่หลังจากสกัดด้วยค่าต่าง ซึ่งค่าจะเข้าไปทำการแยกโครงสร้างระหว่างลิกนิน และคาร์โบไฮเดรต และเข้าไปทำลายโครงสร้างลิกนิน (Fan และคณะ, 1987) ทำให้ลิกนินหลุดออกมากับสารละลายค่าต่างได้ง่าย สัดส่วนลิกนินจึงลดลง แต่ที่ลดลงเพียงเล็กน้อยหลังสกัดด้วยค่าต่าง เมื่อเทียบกับสัดส่วนลิกนินหลังระเบิดด้วยไอน้ำและล้างด้วยน้ำร้อน อาจเนื่องมาจาก ไม้กระถินเทพาเป็นไม้เนื้อแข็งที่มีเส้นใยยาว มีความแข็งแรงและความหนาแน่นค่อนข้างสูงเทียบเท่ากับไม้ที่นิยมทำตู้มากที่สุด ในแถบอเมริกาเหนือ อาจเนื่องจากการจัดเรียง โครงสร้างองค์ประกอบทางเคมีมีความซับซ้อน และแน่นหนามาก ค่าจึงเข้าไปทำปฏิกิริยากับ โครงสร้างลิกนิน ได้ยากกว่า

4.3.3 การหาสภาวะที่เหมาะสมของการสกัดด้วยค่าต่าง ที่มีผลต่อองค์ประกอบทางเคมีของเยื่อลำต้นปาล์มที่ผ่านขั้นตอนการระเบิดไอน้ำตามด้วยการสกัดด้วยน้ำ โดยใช้วิธีทะกูจิ

หลังจากเยื่อถูกนำมาสกัดด้วยค่าต่าง ณ สภาวะต่าง ๆ ภายใต้สภาวะการทดลองทั้ง 9 ชุดการทดลอง ออกแบบการทดลองโดยวิธีทะกูจิ เมื่อนำเยื่อคุณภาพดีสกัดด้วยค่าต่างวิเคราะห์องค์ประกอบทางเคมี ได้ผลดังตารางที่ 44

การวิเคราะห์ผลการทดลองที่ได้ทั้ง 9 ชุดการทดลอง จะอาศัย ค่าสัดส่วนเซลลูโลส สัดส่วนลิกนิน เป็นพารามิเตอร์หลัก เนื่องจากวัตถุประสงค์ของการสกัดด้วยค่าต่าง ต้องการกำจัดลิกนินออกจากเยื่อเพื่อให้มีสัดส่วนลิกนินต่ำที่สุด และเพิ่มสัดส่วนเซลลูโลสให้มากที่สุด ส่วนค่าสัดส่วนเฮมิเซลลูโลสและเถ้า เป็นพารามิเตอร์รอง ซึ่งการวิเคราะห์แบ่งออกเป็นหัวข้อหลักได้ ดังนี้ การหาอิทธิพลของแต่ละปัจจัยที่ส่งผลต่อสัดส่วนเซลลูโลสและลิกนิน การหาสภาวะที่เหมาะสมในการ

สกัดด้วยค่า การประมาณค่าสัดส่วนเซลลูโลส และลิกนิน ที่ได้จากการสกัดด้วยค่าที่สถานะที่เหมาะสม

ตารางที่ 44 ค่าสัดส่วนองค์ประกอบทางเคมีของไม้ลำต้นปาล์มที่สกัดด้วยค่า ณ สถานะที่แตกต่างกัน

ชุดการทดลอง	องค์ประกอบทางเคมี (%)				
	ลิกนิน	เซลลูโลส	เพนโตแซน	เถ้า	อื่นๆ
1	7.03	79.92	3.04	0.74	9.27
2	7.34	86.67	3	0.62	2.37
3	6.63	87.61	3	0.64	2.12
4	8.82	81.21	2.19	0.89	6.89
5	9.36	84.18	2.27	0.69	4.19
6	8.89	82.31	2.28	0.78	5.74
7	9.68	83.28	1.91	1.06	4.07
8	11.03	84.24	2.08	0.84	1.81
9	9.25	83.08	1.72	0.83	5.01

4.3.3.1 การหาอิทธิพลของแต่ละปัจจัยที่ส่งผลต่อสัดส่วนเซลลูโลส และลิกนินของเยื่อลำต้นปาล์ม

การหาอิทธิพลของแต่ละปัจจัยที่ส่งผลต่อค่าสัดส่วนองค์ประกอบทางเคมีสามารถหาได้จาก การวิเคราะห์ความแปรปรวน (ANOVA) โดยจะแสดงถึงร้อยละอิทธิพลของปัจจัยการทดลอง (Percent contribution) ที่มีผลต่อการสกัดด้วยค่าเพื่อเพิ่มสัดส่วนเซลลูโลส ลดสัดส่วนลิกนิน เหมิเซลลูโลส และเถ้า ซึ่งเป็นค่าที่สามารถบอกได้ว่าปัจจัยที่ใช้ในการทดลองใดมีผลต่อการสกัดด้วยค่าบ้าง และมีอิทธิพลมากหรือน้อย นอกจากนี้การวิเคราะห์ความแปรปรวนยังสามารถบอกได้ถึงระดับความเชื่อมั่นของปัจจัยการทดลองที่มีต่อการสกัดด้วยค่า ได้ผลการวิเคราะห์สรุปดังตารางที่ 45 46 และ 47

ตารางที่ 45 การวิเคราะห์ความแปรปรวน (ANOVA) ของค่าสัดส่วนเซลล์โลส

Factor	DOF	SS	V	F	S'	Percent	Confidence	Significant
						contribution (%)	(%)	
N	2	0.048	0.02	1.076	0.003	0.633	51.83	-
T	2	0.272	0.14	6.08	0.227	42.122	85.88	-
t	2	0.175	0.09	3.904	0.13	33.164	79.61	-
Other Error	2	0.044	0.02			33.164		
Total	8	0.54				100		
หมายเหตุ	N: ความเข้มข้น โซเดียมไฮดรอกไซด์ (เปอร์เซ็นต์)					P<0.001	***	
	T: อุณหภูมิการสกัด (องศาเซลเซียส)					P<0.01	**	
	t: เวลาการสกัด (นาที)					P<0.05	*	

ตารางที่ 46 การวิเคราะห์ความแปรปรวน (ANOVA) ของค่าสัดส่วนลิกนิน

Factor	DOF	SS	V	F	S'	Percent	Confidence	Significant
						contribution (%)	(%)	
N	2	15.03	7.51	359.184	14.99	89.037	99.72	**
T	2	1.431	0.72	34.211	1.389	8.255	97.16	*
t	2	0.33	0.17	7.89	0.288	1.712	88.75	-
Other Error	2	0.041	0.02			0.996		
Total	8	16.83				100		
หมายเหตุ	N: ความเข้มข้น โซเดียมไฮดรอกไซด์ (เปอร์เซ็นต์)					P<0.001	***	
	T: อุณหภูมิการสกัด (องศาเซลเซียส)					P<0.01	**	
	t: เวลาการสกัด (นาที)					P<0.05	*	

ตารางที่ 47 การวิเคราะห์ความแปรปรวน (ANOVA) ของเพน โดแซน

Factor	DOF	SS	V	F	S'	Percent	Confidence	Significant
						contribution	(%)	
N	2	21.39	10.7	35.136	20.78	85.702	97.23	*
T	2	0.966	0.48	1.588	0.358	1.477	61.36	-
t	2	0.282	0.64	2.106	0.673	2.777	67.8	-
Other Error	2	0.608	0.3			10.044		
Total	8	24.25				100		

หมายเหตุ	N: ความเข้มข้น โซเดียมไฮดรอกไซด์ (เปอร์เซ็นต์)	P<0.001	***
	T: อุณหภูมิการสกัด (องศาเซลเซียส)	P<0.01	**
	t: เวลาการสกัด (นาที)	P<0.05	*

ผลการวิเคราะห์ความแปรปรวนจากสัดส่วนเซลล์โลสในตารางที่ 45 พบว่าร้อยละอิทธิพล (percent contribution) ของความเข้มข้น โซเดียมไฮดรอกไซด์ อุณหภูมิ และเวลา คือ 0.633, 42.122 และ 24.081% ตามลำดับ เมื่อพิจารณาจากระดับความเชื่อมั่นเห็นว่าทั้งความเข้มข้น โซเดียมไฮดรอกไซด์ อุณหภูมิ และเวลา ไม่มีอิทธิพลต่อการสกัดด้วยค่าอย่างมีนัยสำคัญทางสถิติ

ผลการวิเคราะห์ความแปรปรวนจากสัดส่วนลิกนินในตารางที่ 46 พบว่าร้อยละอิทธิพล (percent contribution) ของความเข้มข้น โซเดียมไฮดรอกไซด์ อุณหภูมิ และเวลา คือ 89.037, 8.255 และ 1.712% ตามลำดับ เมื่อพิจารณาจากระดับความเชื่อมั่นพบว่าปัจจัยความเข้มข้น โซเดียมไฮดรอกไซด์ และอุณหภูมิ มีอิทธิพลต่อการสกัดด้วยค่าอย่างมีนัยสำคัญที่ $p < 0.001$ และ $p < 0.05$ ตามลำดับ เวลาไม่มีอิทธิพลต่อการสกัดด้วยค่าอย่างมีนัยสำคัญทางสถิติ

ผลการวิเคราะห์ความแปรปรวนจากสัดส่วนเพน โดแซนในตารางที่ 47 พบว่าร้อยละอิทธิพล (percent contribution) ของความเข้มข้น โซเดียมไฮดรอกไซด์ อุณหภูมิ และเวลา คือ 85.702, 1.47 และ 2.777% ตามลำดับ เมื่อพิจารณาจากระดับความเชื่อมั่นพบว่าปัจจัยความเข้มข้น โซเดียมไฮดรอกไซด์ มีอิทธิพลต่อการสกัดด้วยค่าอย่างมีนัยสำคัญที่ $p < 0.05$ อุณหภูมิ และเวลาไม่มีอิทธิพลต่อการสกัดด้วยค่าอย่างมีนัยสำคัญทางสถิติ

จากปัจจัยในการสกัดด้วยค่าต่าง คือความเข้มข้นโซเดียมไฮดรอกไซด์ อุณหภูมิ และเวลา ที่มีผลต่อสัดส่วนของเซลลูโลส และลิกนิน เป็นพารามิเตอร์หลักที่ใช้ในการพิจารณาภาวะที่ดีที่สุดของการสกัดด้วยค่าต่าง พิจารณาจากค่าสัดส่วนเซลลูโลสพบว่าปัจจัยในการสกัดด้วยค่าต่าง ไม่มีอิทธิพลอย่างมีนัยสำคัญทางสถิติ เมื่อพิจารณาจากค่าสัดส่วนลิกนินพบว่าความเข้มข้นของโซเดียมไฮดรอกไซด์และอุณหภูมิมีอิทธิพลอย่างมีนัยสำคัญทางสถิติตามลำดับ

4.3.3.2 การหาสถานะที่เหมาะสมในการสกัดด้วยค่าต่างไม่ลำดับปาล์ม

หลักในการหาสถานะที่เหมาะสมโดยวิธีทะลุเจาะแบ่งประเภทของการทดลองออกเป็น 3 ประเภท คือ The Smaller is better, The Nominal is better และ The Bigger is better ซึ่งการทดลองนี้จัดอยู่ในทั้งประเภท The Bigger is better (B) และ The Smaller is better (S) โดยต้องการสัดส่วนเซลลูโลสสูงสุดจึงใช้ประเภท The Bigger is better อีกด้าน ต้องการสัดส่วนลิกนิน เหมิเซลลูโลสต่ำสุด จึงใช้ประเภท The Smaller is better การทดลองครั้งนี้สนใจที่ค่าสัดส่วนเซลลูโลสสูงสุด และสัดส่วนลิกนินต่ำสุด จึงต้องหาสถานะที่ให้ได้สัดส่วนดังกล่าว

นำค่าสัดส่วนเซลลูโลส และสัดส่วนลิกนิน ของทั้ง 9 ชุดการทดลอง การทดลองละ 3 ซ้ำ หาค่าอัตราส่วน Signal-to-Noise (S/N-Ratio) เพื่อหาสถานะที่เหมาะสมต่อการทดลอง ซึ่งสรุปผลได้ดังตารางที่ 48 โดยนำ S/N-Ratio มาคำนวณร้อยละอิทธิพลหลักของปัจจัยของการทดลองในแต่ละระดับการทดลอง ซึ่งสรุปผลดังตารางที่ 49

ตารางที่ 48 สรุปค่าสัดส่วน S/N ของค่าสัดส่วนเซตดูโลส ลิกนิน และเพนโตแซน จากการทดลองทั้ง 9 ชุดการทดลอง ของลำต้นปาล์มน้ำมัน

ชุดการทดลอง	สัดส่วนเซตดูโลส (เปอร์เซ็นต์)				สัดส่วนลิกนิน (เปอร์เซ็นต์)				สัดส่วนเพนโตแซน (เปอร์เซ็นต์)			
	ครั้งที่ 1	ครั้งที่ 2	ครั้งที่ 3	อัตราส่วน S/N (เดซิเบล)	ครั้งที่ 1	ครั้งที่ 2	ครั้งที่ 3	อัตราส่วน S/N (เดซิเบล)	ครั้งที่ 1	ครั้งที่ 2	ครั้งที่ 3	อัตราส่วน S/N (เดซิเบล)
1	80.64	79.99	79.13	38.052	6.40	7.11	7.58	-16.96	3.13	2.96	3.02	-9.650
2	86.5	86.73	86.78	38.757	7.46	7.20	7.35	-17.311	2.94	3.03	3.02	-9.534
3	87.99	87.63	87.22	38.851	6.75	6.55	6.60	-16.436	2.96	3.03	3.01	-9.543
4	81.84	80.78	81.01	38.191	8.17	8.80	9.48	-18.923	2.12	2.23	2.23	-6.825
5	85.6	85.74	84.87	38.629	9.44	9.15	9.50	-19.43	2.36	2.08	2.38	-7.149
6	82.31	82.67	81.96	38.309	9.00	8.82	8.85	-18.979	2.33	2.17	2.33	-7.151
7	83.2	83.65	82.99	38.41	9.50	9.22	10.33	-19.731	1.95	1.95	1.82	-5.610
8	83.85	84.4	84.47	38.51	11.65	10.72	10.71	-20.856	2.26	2.21	2.38	-7.176
9	82.63	83.31	83.29	38.389	9.18	9.36	9.21	-19.324	2.16	1.63	1.37	-4.866

ตารางที่ 49 อิทธิพลหลักของแต่ละปัจจัยที่มีผลต่อสัดส่วนองค์ประกอบทางเคมีของเชื้อลำต้นปาล์ม
น้ำมันที่สกัดด้วยค้างแล้ว

สัดส่วนเซลลูโลส (เปอร์เซ็นต์)					
ปัจจัย	ระดับ			ค่าอิทธิพลหลัก	ค่าร้อยละอิทธิพลหลัก
	1	2	3		
ความเข้มข้นโซเดียมไฮดรอกไซด์ (เปอร์เซ็นต์)	38.553	38.376	38.436	0.176	18.945
อุณหภูมิการสกัด (องศาเซลเซียส)	38.218	38.632	38.516	0.414	44.564
เวลาการสกัด (นาที)	37.118	38.446	38.63	0.339	36.491

สัดส่วนลิกนิน (เปอร์เซ็นต์)					
ปัจจัย	ระดับ			ค่าอิทธิพลหลัก	ค่าร้อยละอิทธิพลหลัก
	1	2	3		
ความเข้มข้นโซเดียมไฮดรอกไซด์ (เปอร์เซ็นต์)	-16.902	-19.11	-19.97	3.068	69.208
อุณหภูมิการสกัด (องศาเซลเซียส)	-18.538	-19.199	-18.25	0.953	21.498
เวลาการสกัด (นาที)	-18.931	-18.519	-18.53	0.412	9.294

สัดส่วนเฮมิเซลลูโลส (เปอร์เซ็นต์)					
ปัจจัย	ระดับ			ค่าอิทธิพลหลัก	ค่าร้อยละอิทธิพลหลัก
	1	2	3		
ความเข้มข้นโซเดียมไฮดรอกไซด์ (เปอร์เซ็นต์)	-9.576	-7.041	-5.884	3.692	68.688
อุณหภูมิการสกัด (องศาเซลเซียส)	-7.362	-7.953	-7.187	0.766	14.251
เวลาการสกัด (นาที)	-7.992	-7.075	-7.434	0.917	17.06

จากผลการวิเคราะห์ค่าร้อยละอิทธิพลหลัก โดยอาศัยค่าสัดส่วนเซลลูโลส ดังแสดงในตารางที่ 49 พบว่าค่าร้อยละอิทธิพลหลักของความเข้มข้นโซเดียมไฮดรอกไซด์ อุณหภูมิ และเวลา

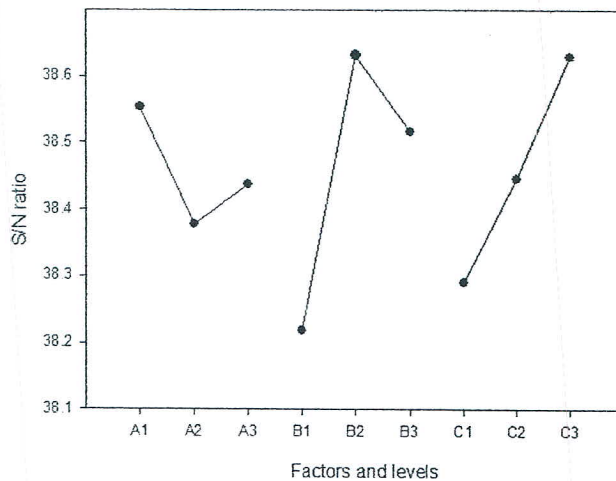
คือ 18.945, 44.564 และ 36.491 ตามลำดับ จากค่าร้อยละอิทธิพลหลักพบว่าไม่มีปัจจัยใดที่มีผลต่อค่าสัดส่วนของเซลล์โลสสอดคล้องกับการวิเคราะห์ความแปรปรวน (ANOVA) ค่าอิทธิพลหลักที่มีผลมากที่สุดคือ อุณหภูมิในการสกัดแต่ไม่แตกต่างอย่างมีนัยสำคัญทางสถิติ

จากผลการวิเคราะห์ค่าร้อยละอิทธิพลหลัก โดยอาศัยค่าสัดส่วนลิกนิน ดังแสดงในตารางที่ 49 พบว่าค่าร้อยละอิทธิพลหลักของความเข้มข้น โซเดียมไฮดรอกไซด์ อุณหภูมิ และเวลา คือ 69.208, 21.498 และ 9.294 ตามลำดับ จากร้อยละอิทธิพลหลักพบว่าความเข้มข้นของโซเดียมไฮดรอกไซด์เป็นปัจจัยที่มีอิทธิพลต่อค่าสัดส่วนลิกนินมากที่สุดสอดคล้องกับการวิเคราะห์ความแปรปรวน (ANOVA)

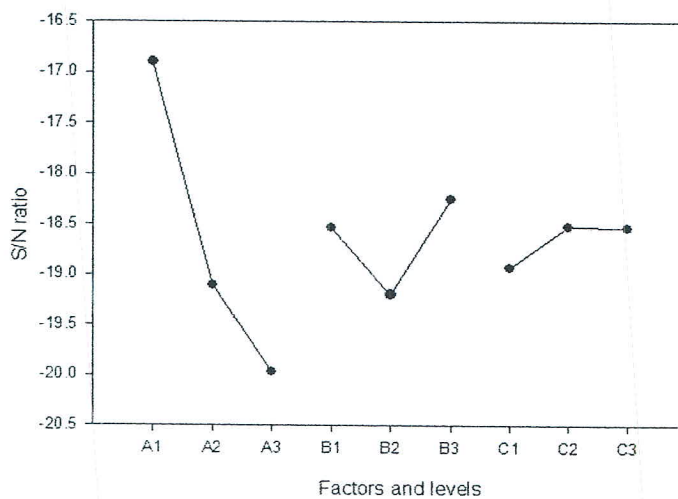
จากผลการวิเคราะห์ค่าร้อยละอิทธิพลหลัก โดยอาศัยค่าสัดส่วนเพนโตแซน ดังแสดงในตารางที่ 49 พบว่าค่าร้อยละอิทธิพลหลักของความเข้มข้น โซเดียมไฮดรอกไซด์ อุณหภูมิ และเวลา คือ 68.688, 14.251 และ 17.060 ตามลำดับ จากร้อยละอิทธิพลหลักพบว่าความเข้มข้นของโซเดียมไฮดรอกไซด์เป็นปัจจัยที่มีอิทธิพลต่อค่าสัดส่วนเพนโตแซนมากที่สุดสอดคล้องกับการวิเคราะห์ความแปรปรวน (ANOVA)

จากผลการวิเคราะห์ค่าร้อยละอิทธิพลหลัก เมื่อพิจารณาที่พารามิเตอร์หลัก คือ ค่าสัดส่วนเซลล์โลสและลิกนิน พบว่า ความเข้มข้น โซเดียมไฮดรอกไซด์เป็นปัจจัยที่มีอิทธิพลต่อการสกัดด้วยค่ามากที่สุด รองลงมาคือ อุณหภูมิการสกัด และเวลาการสกัด ซึ่งสอดคล้องกับให้ผลสอดคล้องกับการวิเคราะห์ความแปรปรวน (ANOVA)

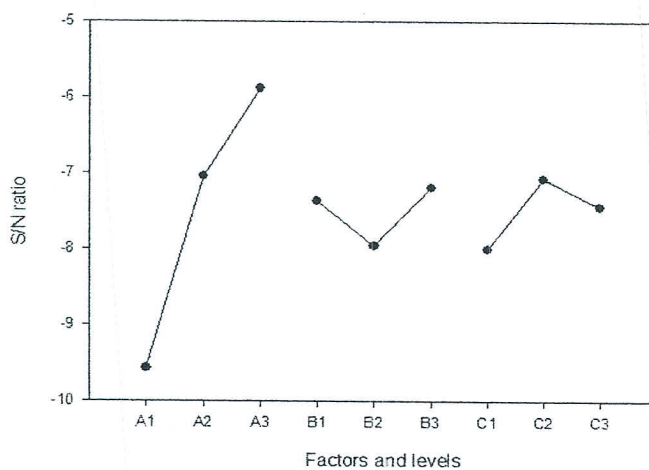
นำอัตราส่วน S/N ตามตารางที่ 48 เขียนกราฟแสดงความสัมพันธ์ระหว่างอัตราส่วน S/N กับปัจจัยของการทดลองในแต่ละระดับของปัจจัยของการทดลอง เพื่อหาสภาวะที่เหมาะสมต่อการสกัดด้วยค่า เพื่อเพิ่มสัดส่วนเซลล์โลส และลดสัดส่วนลิกนินในเยื่อไม้ลำต้นปาล์ม ได้ผลดังภาพ 16, 17, และ 18



ภาพที่ 16 ค่าอัตราส่วนของปัจจัยต่างๆ ในแต่ละระดับที่มีผลต่อสัดส่วนเซลล์โลส



ภาพที่ 17 ค่าอัตราส่วนของปัจจัยต่างๆ ในแต่ละระดับที่มีผลต่อสัดส่วนลิกนิน



ภาพที่ 18 ค่าอัตราส่วนของปัจจัยต่างๆ ในแต่ละระดับที่มีผลต่อสัดส่วนเพนโดแซน

ตารางที่ 50 สรุปสถานะที่เหมาะสมในการสกัดด้วยต่างที่ผ่านการระเบิดด้วยไอน้ำและสกัดด้วยน้ำร้อนคำนวณ โดยวิธีทะกุจิ

ปัจจัยการทดลอง	ระดับการทดลอง	สถานะ
ชุดการทดลอง A		
N: ความเข้มข้น โซเดียมไฮดรอกไซด์ (เปอร์เซ็นต์)	1	15
T: อุณหภูมิการสกัด (องศาเซลเซียส)	2	80
t: เวลาการสกัด (นาที)	3	90
ชุดการทดลอง B		
N: ความเข้มข้น โซเดียมไฮดรอกไซด์ (เปอร์เซ็นต์)	1	15
T: อุณหภูมิการสกัด (องศาเซลเซียส)	3	90
t: เวลาการสกัด (นาที)	2	60

หมายเหตุ: ชุดการทดลอง A คือ สถานะการสกัดด้วยต่างที่ให้ค่าสัดส่วนเซลลูโลสสูงสุดของลำต้นปาล์มน้ำมัน

ชุดการทดลอง B คือ สถานะการสกัดด้วยต่างที่ให้ค่าสัดส่วนลิกนินต่ำสุดของลำต้นปาล์มน้ำมัน

จากตารางที่ 50 สรุปสถานะที่ดีที่สุดโดยการคำนวณด้วยวิธีทะกุจิชุดการทดลอง A ให้ค่าสัดส่วนเซลลูโลสที่มากที่สุด คือ 88.125 % โดยใช้สถานะในการสกัดด้วยต่างความเข้มข้นโซเดียมไฮดรอกไซด์, อุณหภูมิ และเวลา คือ 15%, 80 องศาเซลเซียส และ 90 นาที ตามลำดับ ชุดการทดลอง B ให้ค่าสัดส่วนลิกนินน้อยที่สุด คือ 6.567 % โดยใช้สถานะในการสกัดด้วยต่างความเข้มข้นโซเดียมไฮดรอกไซด์, อุณหภูมิ และเวลา คือ 15%, 90 องศาเซลเซียส และ 60 นาที ตามลำดับ โดยทำยืนยันผลการทดลองดังตารางที่ 51

ตารางที่ 51 องค์ประกอบทางเคมีของลำต้นปาล์มน้ำมันจากการทดลองยืนยันผลของชุดการทดลอง A และ B โดยวิธีหะกุจิ

สถานะ	องค์ประกอบทางเคมี (เปอร์เซ็นต์)			
	เซลลูโลส	ลิกนิน	เฮมิเซลลูโลส	เถ้า
ชุดการทดลอง A *	87.89	7.53	1.29	1.29
ชุดการทดลอง B **	87.14	6.13	1.4	1.4

ตารางที่ 52 เปรียบเทียบค่าที่ได้จากการทดลองและจากการประมาณค่าโดยวิธีหะกุจิ

ชุดการทดลอง	ค่าจากการทดลอง (เปอร์เซ็นต์)		ค่าประมาณ (เปอร์เซ็นต์)	
	เซลลูโลส	ลิกนิน	เซลลูโลส	ลิกนิน
ชุดการทดลอง A	87.89	7.53	88.12	-
ชุดการทดลอง B	87.14	6.13	-	6.57

จากตารางที่ 51 พบว่าสัดส่วนของเซลลูโลสในชุดการทดลอง A และ B คือ 87.89 และ 87.14 %ตามลำดับ ซึ่งไม่มีความแตกต่างกันสอดคล้องกับการวิเคราะห์ความแปรปรวน (ANOVA) ในตารางที่ 49 พบว่าทั้งความเข้มข้นโซเดียมไฮดรอกไซด์ อุณหภูมิ และเวลา ไม่มีอิทธิพลต่อการสกัดด้วยอย่างมีนัยสำคัญทางสถิติ และสัดส่วนของลิกนินในชุดการทดลอง A และ B คือ 7.53 และ 6.13% ตามลำดับ โดยความเข้มข้นโซเดียมไฮดรอกไซด์และอุณหภูมิมีอิทธิพลต่อการสกัดด้วยอย่างมีนัยสำคัญทางสถิติ ดังนั้นจึงเลือกชุดการทดลอง B เป็นสถานะที่ใช้ในการสกัดด้วยต่างในการเพิ่มสัดส่วนของเซลลูโลสและลดสัดส่วนของลิกนินเพื่อการผลิตเอทานอล

ตารางที่ 53 สรุปค่าสัดส่วนองค์ประกอบทางเคมีของลำต้นปาล์มน้ำมันที่ผ่านการพรีทรีตเมนต์ในสถานะที่เหมาะสม

ขั้นตอน	องค์ประกอบทางเคมี (เปอร์เซ็นต์)			
	เซลลูโลส	ลิกนิน	เพนโตแซน	เถ้า
การพรีทรีตเมนต์				
วัตถุดิบเริ่มต้น	40.83	21.64	29.53	2.40
การระเบิดด้วยไอน้ำ	38.14	28.94	9.16	3.99
การล้างด้วยน้ำร้อน	58.83	27.12	4.03	0.34
การสกัดด้วยด่าง	87.14	6.13	1.40	1.40

จากตารางที่ 53 พบว่าองค์ประกอบทางเคมีของลำต้นปาล์มน้ำมันมีการเปลี่ยนแปลงจากวัตถุดิบ เมื่อผ่านการพรีทรีตเมนต์ในขั้นตอนการระเบิดด้วยไอน้ำ การล้างด้วยน้ำร้อน และการสกัดด้วยด่าง โดยสัดส่วนเซลลูโลสเพิ่มขึ้นจาก 40.83 เป็น 87.14% สัดส่วนลิกนินลดลงจาก 21.64 เป็น 6.13% เพนโตแซนลดลงจาก 29.53 เป็น 1.40% คิดเป็นประสิทธิภาพการเพิ่มขึ้นของสัดส่วนเซลลูโลส การลดลงของสัดส่วนลิกนินและเพนโตแซนเท่ากับ 53.14, 71.67 และ 95.26% ตามลำดับ จากสัดส่วนเซลลูโลส 87.14% แสดงให้เห็นว่าลำต้นปาล์มน้ำมันจัดเป็นวัตถุดิบที่มีศักยภาพในการใช้เป็นสับสเตรทสำหรับการผลิตเอทานอลจากลิกโนเซลลูโลส

4.3.4 การหาสถานะที่เหมาะสมของการสกัดด้วยด่าง ที่มีผลต่อองค์ประกอบทางเคมีของเยื่อทางใบปาล์มที่ผ่านขั้นตอนการระเบิดไอน้ำตามด้วยการสกัดด้วยน้ำ โดยใช้วิธีทะกุกิ

หลังจากเชื้อถูกนำมาสกัดด้วยด่าง ณ สถานะต่าง ๆ ภายใต้สถานะการทดลองทั้ง 9 ชุดการทดลอง ออกแบบการทดลองโดยวิธีทะกุกิ เมื่อนำเยื่อคุณภาพดีสกัดด้วยด่างวิเคราะห์องค์ประกอบทางเคมี ได้ผลดังตารางที่ 54

ตารางที่ 54 ค่าสัดส่วนองค์ประกอบทางเคมีของไม้ทางใบป่าล้มที่สกัดด้วยค่า η สภาวะที่แตกต่างกัน

ชุดการทดลอง	องค์ประกอบทางเคมี (เปอร์เซ็นต์)				
	เซลลูโลส	ลิกนิน	เพนโตแซน	เถ้า	อื่นๆ
1	78.8	16.21	3.59	1.29	0.11
2	80.74	17.07	3.13	1.21	-
3	77.79	16.31	3.83	1.24	0.83
4	74.88	20.4	2.8	1.7	0.22
5	74.16	20.07	2.9	1.59	1.28
6	79.58	19.97	2.8	1.3	-
7	68.45	19.55	2.58	1.77	7.65
8	56.8	21.46	2.76	1.59	17.39
9	71.07	21.13	1.99	1.51	4.3

การวิเคราะห์ผลการทดลองที่ได้ทั้ง 9 ชุดการทดลอง จะอาศัย ค่าสัดส่วนเซลลูโลส สัดส่วนลิกนิน เป็นพารามิเตอร์หลัก เนื่องจากวัตถุประสงค์ของการสกัดด้วยค่า η ต้องการกำจัดลิกนินออกจากเยื่อเพื่อให้มีสัดส่วนลิกนินต่ำที่สุด และเพิ่มสัดส่วนเซลลูโลสให้มากที่สุด ส่วนค่าสัดส่วนเฮมิเซลลูโลสและเถ้า เป็นพารามิเตอร์รอง ซึ่งการวิเคราะห์แบ่งออกเป็นหัวข้อหลักได้ ดังนี้ การหาอิทธิพลของแต่ละปัจจัยที่ส่งผลต่อสัดส่วนเซลลูโลสและลิกนิน การหาสภาวะที่เหมาะสมในการสกัดด้วยค่า η การประมาณค่าสัดส่วนเซลลูโลส และลิกนิน ที่ได้จากการสกัดด้วยค่า η ที่สภาวะที่เหมาะสม

4.3.4.1 การหาอิทธิพลของแต่ละปัจจัยที่ส่งผลต่อสัดส่วนเซลลูโลส และลิกนินของเยื่อทางใบป่าล้ม

การหาอิทธิพลของแต่ละปัจจัยที่ส่งผลต่อค่าสัดส่วนองค์ประกอบทางเคมีสามารถหาได้จาก การวิเคราะห์ความแปรปรวน (ANOVA) โดยจะแสดงถึงร้อยละอิทธิพลของปัจจัยการทดลอง (Percent contribution) ที่มีผลต่อการสกัดด้วยค่า η เพื่อเพิ่มสัดส่วนเซลลูโลส ลดสัดส่วนลิกนิน และเฮมิเซลลูโลส ซึ่งเป็นค่าที่สามารถบอกได้ว่าปัจจัยที่ใช้ในการทดลองใดมีผลต่อการสกัดด้วยค่า η บ้าง และมีอิทธิพลมากหรือน้อย นอกจากนี้การวิเคราะห์ความแปรปรวนยังสามารถบอกได้ถึงระดับ

ความเชื่อมั่นของปัจจัยการทดลองที่มีต่อการสกัดด้วยค่าต่าง ได้ผลการวิเคราะห์สรุปดังตารางที่ 55, 56 และ 57

ตารางที่ 55 การวิเคราะห์ความแปรปรวน (ANOVA) ของค่าสกัดส่วนเซลลูโลส

Factor	DOF	SS	V	F	S'	Percent	Confidence	Significant
						contribution		
						(%)	(%)	
N	2	5.333	2.67	3.779	3.921	50.706	79.0751	-
T	2	0.451	0.23	0.32	0	0	24.2424	--
t	2	0.538	0.27	0.381	0	0	27.5887	-
Other Error	2	1.41	0.71			49.294		
Total	8	7.734				100		

หมายเหตุ	N: ความเข้มข้น โซเดียมไฮดรอกไซด์ (เปอร์เซ็นต์)	P<0.001	***
	T: อุณหภูมิการสกัด (องศาเซลเซียส)	P<0.01	**
	t: เวลาการสกัด (นาที)	P<0.05	*

ตารางที่ 56 การวิเคราะห์ความแปรปรวน (ANOVA) ของค่าสกัดส่วนลิกนิน

Factor	DOF	SS	V	F	S'	Percent	Confidence	Significant
						contribution		
						(%)	(%)	
N	2	6.924	3.46	136.542	6.874	92.301	99.273	**
T	2	0.238	0.12	4.703	0.187	2.522	82.465	-
t	2	0.233	0.12	4.601	0.182	2.452	82.146	-
Other Error	2	0.05	0.03			2.725		
Total	8	7.447				100		

หมายเหตุ	N: ความเข้มข้น โซเดียมไฮดรอกไซด์ (เปอร์เซ็นต์)	P<0.001	***
	T: อุณหภูมิการสกัด (องศาเซลเซียส)	P<0.01	**
	t: เวลาการสกัด (นาที)	P<0.05	*

ตารางที่ 57 การวิเคราะห์ความแปรปรวน (ANOVA) ของเพน โดแซน

Factor	DOF	SS	V	F	S'	Percent	Confidence	Significant	
						contribution			
						(%)	(%)		
N	2	15.71	7.85	8.624	13.88	63.469	89.6093	-	
T	2	0.547	0.27	0.3	0	0	23.0769	-	
t	2	3.801	1.9	2.087	1.98	9.052	67.6061	-	
Other Error	2	1.82	0.91			27.479			
Total	8	21.88				100			
หมายเหตุ	N: ความเข้มข้น โซเดียมไฮดรอกไซด์ (เปอร์เซ็นต์)						P<0.001	***	
	T: อุณหภูมิการสกัด (องศาเซลเซียส)						P<0.01	**	
	t: เวลาการสกัด (นาที)						P<0.05	*	

ผลจากการวิเคราะห์ความแปรปรวนโดยอาศัยค่าสัดส่วนเซลล์โลส จากตารางที่ 55 พบว่า ร้อยละอิทธิพล (Percent contribution) ของความเข้มข้น โซเดียมไฮดรอกไซด์มีค่ามากที่สุด เท่ากับ 50.706 ส่วนอุณหภูมิการสกัดและเวลาการสกัดเป็นปัจจัยที่ไม่มีค่าร้อยละอิทธิพลเลย เท่ากับ 0 และเมื่อพิจารณาจากระดับความเชื่อมั่นจะเห็นว่าปัจจัยความเข้มข้น โซเดียมไฮดรอกไซด์ อุณหภูมิ การสกัด และเวลาการสกัดเป็นปัจจัยที่ไม่มีอิทธิพลต่อการสกัดต่างอย่างมีนัยสำคัญทางสถิติ

ด้านผลการวิเคราะห์ความแปรปรวน โดยพิจารณาค่าสัดส่วนถิกนิน จากตารางที่ 56พบว่า ร้อยละอิทธิพล (Percent contribution) ของความเข้มข้น โซเดียมไฮดรอกไซด์มีค่ามากที่สุด เท่ากับ 92.301 รองลงมาคือ อุณหภูมิการสกัด เท่ากับ 2.522 ส่วนเวลาการสกัดเป็นปัจจัยมีค่าร้อยละอิทธิพล น้อยสุด เท่ากับ 2.452 และเมื่อพิจารณาจากระดับความเชื่อมั่นจะเห็นว่าปัจจัยความเข้มข้น โซเดียมไฮดรอกไซด์ มีอิทธิพลต่อการสกัดต่างอย่างมีนัยสำคัญทางสถิติที่ $p<0.01$ ส่วนอุณหภูมิ และเวลาในการสกัดเป็นปัจจัยที่ไม่มีอิทธิพลต่อการสกัดต่างอย่างมีนัยสำคัญทางสถิติ

สุดท้ายผลจากการวิเคราะห์ความแปรปรวน โดยพิจารณาค่าสัดส่วนเพน โดแซน จากตาราง ที่ 57 พบว่าพบว่า ร้อยละอิทธิพล (Percent contribution) ของความเข้มข้น โซเดียมไฮดรอกไซด์มีค่า มากที่สุด เท่ากับ 63.469 รองลงมาคือ เวลาการสกัด เท่ากับ 9.052 ส่วนอุณหภูมิการสกัดเป็นปัจจัยที่

ไม่มีค่าร้อยละอิทธิพล เท่ากับ 0 และเมื่อพิจารณาจากระดับความเชื่อมั่นจะเห็นว่า ทั้งสามปัจจัยคือ ความเข้มข้น โซเดียม ไฮดรอกไซด์ อุณหภูมิการสกัด และเวลาการสกัด เป็นปัจจัยที่ไม่มีอิทธิพลต่อการสกัดอย่างมีนัยสำคัญทางสถิติ เหมือนกับผลการวิเคราะห์ความแปรปรวนโดยพิจารณาค่าสัดส่วนเซลล์โลส

จากผลการวิเคราะห์ความแปรปรวน สามารถสรุปได้ว่า เมื่อพิจารณาจากค่าสัดส่วนเซลล์โลสพบว่าปัจจัยทั้งสาม คือความเข้มข้นโซเดียมไฮดรอกไซด์ อุณหภูมิการสกัด และเวลาการสกัด ไม่มีอิทธิพลต่อการสกัดด้วยค่าเพื่อเพิ่มสัดส่วนเซลล์โลสอย่างมีนัยสำคัญทางสถิติ ด้านค่าสัดส่วนของลิกนิน พบว่า ความเข้มข้นโซเดียมไฮดรอกไซด์ มีอิทธิพลอย่างมีนัยสำคัญทางสถิติ และมีอิทธิพลมากที่สุดต่อการสกัดด้วยค่าเพื่อลดสัดส่วนลิกนิน ส่วนอุณหภูมิและเวลาในการสกัด ไม่มีอิทธิพลต่อการสกัดด้วยค่าอย่างมีนัยสำคัญ สุกท้ายค่าสัดส่วนเพนโตแซน ปัจจัยทั้งสามไม่มีอิทธิพลต่อการสกัดด้วยค่าอย่างมีนัยสำคัญ และไม่ใช้พารามิเตอร์หลักในการหาสภาวะที่เหมาะสมของการสกัดด้วยค่า จึงไม่นำผลการวิเคราะห์ของค่าสัดส่วนเพนโตแซนมาใช้พิจารณาดังนั้น จึงใช้เพียงค่าสัดส่วนเซลล์โลสและลิกนินในการพิจารณาหาสภาวะที่เหมาะสมที่สุดในการสกัดด้วยค่า ในขั้นต่อไป

4.3.4.2 การหาสภาวะที่เหมาะสมในการสกัดด้วยค่า ไม้ทางใบปาล์ม

หลักในการหาสภาวะที่เหมาะสมโดยวิธีทะกุกิแบ่งประเภทของการทดลองออกเป็น 3 ประเภท คือ The Smaller is better, The Nominal is better และ The Bigger is better ซึ่งการทดลองนี้จัดอยู่ในทั้งประเภท The Bigger is better (B) และ The Smaller is better (S) โดยต้องการสัดส่วนเซลล์โลสสูงสุดจึงใช้ประเภท The Bigger is better อีกด้าน ต้องการสัดส่วนลิกนิน เสมิเซลล์โลสต่ำสุด จึงใช้ประเภท The Smaller is better การทดลองครั้งนี้สนใจที่ค่าสัดส่วนเซลล์โลสสูงสุด และสัดส่วนลิกนินต่ำสุด จึงต้องหาสภาวะที่ให้ได้สัดส่วนดังกล่าว

นำค่าสัดส่วนเซลล์โลส และสัดส่วนลิกนิน ของทั้ง 9 ชุดการทดลอง การทดลองละ 3 ซ้ำ หาค่าอัตราส่วน Signal-to-Noise (S/N-Ratio) เพื่อหาสภาวะที่เหมาะสมต่อการทดลอง ซึ่งสรุปผลได้ดังตารางที่ 53 โดยนำ S/N-Ratio มาคำนวณร้อยละอิทธิพลหลักของปัจจัยของการทดลองในแต่ละระดับการทดลอง ซึ่งสรุปผลดังตารางที่ 58

ตารางที่ 58 สรุปค่าสัดส่วน S/N ของค่าสัดส่วนเฉลี่ยโลตส์ ดิกนิน และเพนโทแดน จากการทำทดลองทั้ง 9 ชุดการทดลอง ของทางใบป่าล้ม

ชุดการทดลอง	สัดส่วนเฉลี่ยโลตส์ (เปอร์เซ็นต์)				สัดส่วนดิกนิน (เปอร์เซ็นต์)				สัดส่วนเพนโทแดน (เปอร์เซ็นต์)			
	ครั้งที่ 1	ครั้งที่ 2	ครั้งที่ 3	อัตราส่วน S/N	ครั้งที่ 1	ครั้งที่ 2	ครั้งที่ 3	อัตราส่วน S/N	ครั้งที่ 1	ครั้งที่ 2	ครั้งที่ 3	อัตราส่วน S/N
1	78.549	78.939	79.026	37.934	16.083	16.071	16.463	-24.194	3.697	3.372	3.718	-11.125
2	81.103	80.365	80.752	38.141	18.69	16.441	16.09	-24.667	3.126	3.107	3.164	-9.918
3	76.393	78.824	78.16	37.816	16.262	16.431	16.249	-24.252	3.433	3.636	4.405	-11.704
4	75.074	74.703	74.849	37.486	20.64	21.681	18.872	-24.206	2.934	2.642	2.882	-9.012
5	74.58	94.114	73.733	37.989	20.815	22.688	16.719	-26.12	2.871	2.816	3.014	-9.253
6	79.247	78.885	80.596	38.014	18.468	18.8888	22.55	-26.044	2.909	2.647	2.85	-8.957
7	68.094	67.54	69.708	36.704	19.379	18.863	20.412	-25.829	2.575	2.496	2.682	-8.251
8	57.454	54.863	58.094	35.079	21.252	20.724	22.405	-26.638	2.791	2.686	2.805	-8.822
9	72.851	68.053	72.297	37.021	19.836	21.983	21.56	-26.505	1.991	1.95	2.042	-5.998

ตารางที่ 59 อิทธิพลหลักของแต่ละปัจจัยที่มีผลต่อสัดส่วนองค์ประกอบทางเคมีของเชื้อทางใบ
ปาล์มที่สกัดด้วยค่างแล้ว

สัดส่วนเซลลูโลส (เปอร์เซ็นต์)					
ปัจจัย	ระดับ			ค่าอิทธิพล หลัก	ค่าร้อยละ อิทธิพลหลัก
	1	2	3		
ความเข้มข้น โซเดียมไฮดรอกไซด์ (เปอร์เซ็นต์)	37.964	37.83	36.268	1.696	60.941
อุณหภูมิการสกัด (องศาเซลเซียส)	37.375	37.07	37.617	0.547	19.655
เวลาการสกัด (นาที)	37.009	37.549	37.503	0.54	19.404

สัดส่วนลิกนิน (เปอร์เซ็นต์)					
ปัจจัย	ระดับ			ค่าอิทธิพล หลัก	ค่าร้อยละ อิทธิพลหลัก
	1	2	3		
ความเข้มข้น โซเดียมไฮดรอกไซด์ (เปอร์เซ็นต์)	-24.371	-26.123	26.324	1.953	71.173
อุณหภูมิการสกัด (องศาเซลเซียส)	-25.41	-25.808	-25.6	0.398	14.503
เวลาการสกัด (นาที)	-25.625	-25.793	-25.4	0.393	14.322

สัดส่วนเพนโทแซน (เปอร์เซ็นต์)					
ปัจจัย	ระดับ			ค่าอิทธิพล หลัก	ค่าร้อยละ อิทธิพลหลัก
	1	2	3		
ความเข้มข้น โซเดียมไฮดรอกไซด์ (เปอร์เซ็นต์)	-10.916	-9.074	-7.691	3.225	61.675
อุณหภูมิการสกัด (องศาเซลเซียส)	-9.463	-9.331	-8.886	0.577	11.035
เวลาการสกัด (นาที)	-9.635	-8.309	-9.736	1.427	27.29

จากผลการวิเคราะห์ค่าร้อยละอิทธิพลหลัก โดยอาศัยค่าสัดส่วนเซลลูโลส จากตารางที่ 59 พบว่าค่าร้อยละอิทธิพลหลักของความเข้มข้นโซเดียมไฮดรอกไซด์ อุณหภูมิ และเวลา คือ 60.941,

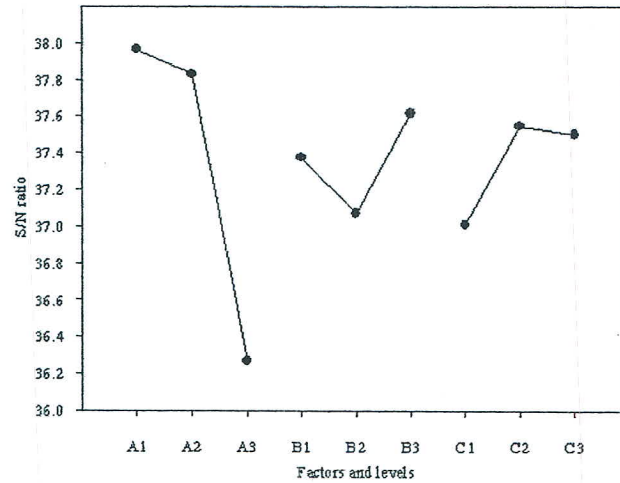
19.655 และ 19.404 ตามลำดับ จากค่าร้อยละอิทธิพลหลักพบว่าไม่มีปัจจัยใดที่มีผลต่อค่าสัดส่วนของเซลล์โลสสอดคล้องกับการวิเคราะห์ความแปรปรวน (ANOVA) แต่ค่าอิทธิพลหลักที่มีผลมากที่สุดคือ ความเข้มข้นของโซเดียมไฮดรอกไซด์ซึ่งไม่แตกต่างอย่างมีนัยสำคัญทางสถิติ

ผลการวิเคราะห์ค่าร้อยละอิทธิพลหลัก โดยอาศัยค่าสัดส่วนลิกนิน จากตารางที่ 59 พบว่าค่าร้อยละอิทธิพลหลักของความเข้มข้นโซเดียมไฮดรอกไซด์ อุณหภูมิ และเวลา คือ 71.173, 14.503 และ 14.322 ตามลำดับจากค่าร้อยละอิทธิพลดังกล่าวสามารถบอกได้ว่า ความเข้มข้นโซเดียมไฮดรอกไซด์ เป็นปัจจัยที่มีอิทธิพลต่อการสกัดด้วยด่างเพื่อลดค่าสัดส่วนลิกนิน มากที่สุด ซึ่งให้ผลสอดคล้องกับการวิเคราะห์ความแปรปรวน (ANOVA) ดังที่ได้อธิบายไว้ข้างต้น

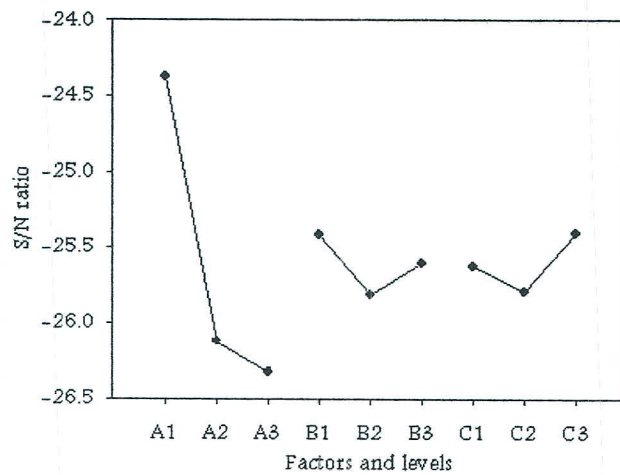
ผลการวิเคราะห์ค่าร้อยละอิทธิพลหลัก โดยอาศัยค่าสัดส่วนเพนโตแซน จากตารางที่ 59 พบว่าค่าร้อยละอิทธิพลหลักของความเข้มข้นโซเดียมไฮดรอกไซด์ อุณหภูมิ และเวลา คือ 61.675, 11.035 และ 27.29 ตามลำดับ จากค่าร้อยละอิทธิพลหลักพบว่าไม่มีปัจจัยใดที่มีผลต่อค่าสัดส่วนของเพนโตแซนซึ่งสอดคล้องกับการวิเคราะห์ความแปรปรวน (ANOVA) แต่ค่าอิทธิพลหลักที่มีผลมากที่สุดคือ ความเข้มข้นของโซเดียมไฮดรอกไซด์ซึ่งไม่แตกต่างอย่างมีนัยสำคัญทางสถิติ

จากผลการวิเคราะห์ค่าร้อยละอิทธิพลหลัก เมื่อพิจารณาที่พารามิเตอร์หลัก คือ ค่าสัดส่วนเซลล์โลสและลิกนิน พบว่าความเข้มข้นโซเดียมไฮดรอกไซด์ เป็นปัจจัยที่มีอิทธิพลต่อการสกัดด้วยด่างมากที่สุด ส่วนอุณหภูมิและเวลาการสกัดเป็นปัจจัยที่มีอิทธิพลต่อการสกัดด่างไม่แตกต่างกัน

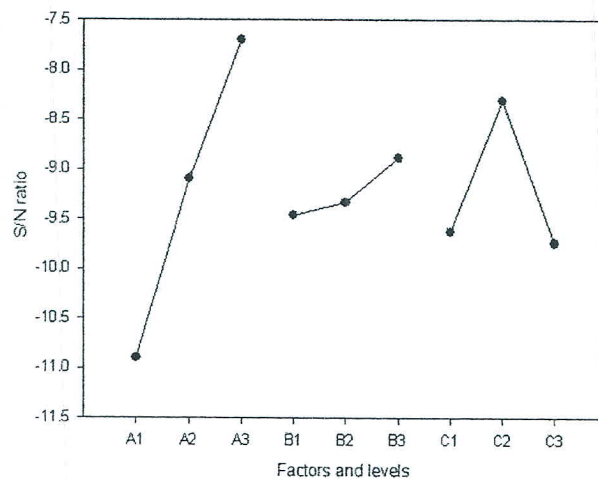
นำอัตราส่วน S/N ตามตารางที่ 58 เขียนกราฟแสดงความสัมพันธ์ระหว่างอัตราส่วน S/N กับปัจจัยของการทดลองในแต่ละระดับของปัจจัยของการทดลอง เพื่อหาสภาวะที่เหมาะสมต่อการสกัดด้วยด่าง เพื่อเพิ่มสัดส่วนเซลล์โลส และลดสัดส่วนลิกนิน ในเชื้อไม้ลำต้นปาล์ม ได้ผลดังภาพที่ 19, 20, และ 21



ภาพที่ 19 ค่าอัตราส่วน S/N ของปัจจัยต่าง ๆ ในแต่ละระดับที่มีผลต่อสัดส่วนเซตดูโลส



ภาพที่ 20 ค่าอัตราส่วน S/N ของปัจจัยต่าง ๆ ในแต่ละระดับที่มีผลต่อสัดส่วนลิกนิน



ภาพที่ 21 ค่าอัตราส่วน S/N ของปัจจัยต่าง ๆ ในแต่ละระดับที่มีผลต่อสัดส่วนเพนโตแซน

จากภาพที่ 19-21 สามารถพิจารณาระดับของแต่ละปัจจัยที่ให้อัตราส่วน S/N สูงสุด ซึ่งสรุปเป็นสถานะที่เหมาะสม 3สถานะที่แตกต่างกัน คือ สถานะที่ให้ค่าสัดส่วนเซลลูโลสสูงสุด สถานะที่ให้ค่าสัดส่วนลิกนินต่ำสุด และสถานะที่ให้ค่าสัดส่วนเพนโทแซนต่ำสุด แต่เนื่องจากเยื่อไม้ที่ผ่านการระเบิดด้วยไอน้ำยังคงมีค่าสัดส่วนลิกนินที่สูง ดังนั้นวัตถุประสงค์หลักของการสกัดด้วยค่าเพื่อกำจัดลิกนินและเพิ่มสัดส่วนเซลลูโลสในเยื่อไม้ ที่ผ่านการระเบิดด้วยไอน้ำและสกัดด้วยน้ำร้อนแล้ว การหาสถานะการสกัดด้วยค่าที่ดีที่สุด จึงควรมีเพียงสถานะเดียว ดังนั้นในการพิจารณา จึงใช้พารามิเตอร์หลักคือ ค่าสัดส่วนเซลลูโลส และค่าสัดส่วนลิกนิน

ตารางที่ 60 สรุปสถานะที่เหมาะสมในการสกัดด้วยค่า เพื่อเพิ่มค่าสัดส่วนเซลลูโลสและลดค่าสัดส่วนลิกนิน ในเยื่อทางใบปาล์มที่ผ่านการระเบิดด้วยไอน้ำและสกัดด้วยน้ำร้อนแล้ว ผ่านการคำนวณโดยวิธีทฤษฎี

ปัจจัยการทดลอง	ระดับการทดลอง	สถานะ
ชุดการทดลอง A		
N: ความเข้มข้น โซเดียมไฮดรอกไซด์ (เปอร์เซ็นต์)	1	15
T: อุณหภูมิการสกัด (องศาเซลเซียส)	3	90
t: เวลาการสกัด (นาที)	2	60
ชุดการทดลอง B		
N: ความเข้มข้น โซเดียมไฮดรอกไซด์ (เปอร์เซ็นต์)	1	15
T: อุณหภูมิการสกัด (องศาเซลเซียส)	1	70
t: เวลาการสกัด (นาที)	3	90

หมายเหตุ: ชุดการทดลอง A คือ สถานะการสกัดด้วยค่าที่ให้ค่าสัดส่วนเซลลูโลสสูงสุดของทางใบปาล์ม ชุดการทดลอง

B คือ สถานะการสกัดด้วยค่าที่ให้ค่าสัดส่วนลิกนินต่ำสุดของทางใบปาล์ม

จากตารางที่ 60 สรุปสถานะที่เหมาะสมในการสกัดด้วยค่าที่ได้จากการคำนวณโดยวิธีทฤษฎี ชุดการทดลอง A ให้ค่าสัดส่วนเซลลูโลสที่มากที่สุด โดยใช้สถานะในการสกัดด้วยค่า ความเข้มข้นโซเดียมไฮดรอกไซด์, อุณหภูมิ และเวลา คือ 15%, 90 องศาเซลเซียส และ 60 นาที ตามลำดับ ส่วนชุดการทดลอง B ให้ค่าสัดส่วนลิกนินน้อยที่สุด โดยใช้สถานะในการสกัดด้วยค่า ความเข้มข้น

โซเดียมไฮดรอกไซด์, อุณหภูมิ และเวลา คือ 15%, 70 องศาเซลเซียส และ 90 นาที ตามลำดับ จากนั้นนำสภาวะการสกัดต่างที่ได้จากการคำนวณ โดยวิธีทะกุกิมาทำการทดลองขึ้นชั้นผลเพื่อหาองค์ประกอบทางเคมีที่ได้จริงจากสภาวะข้างต้นดังแสดงในตารางที่ 61

ตารางที่ 61 องค์ประกอบทางเคมีทางใบปาล์มจากการทดลองขึ้นชั้นผลของชุดการทดลอง A และ B ในการสกัดต่างที่ได้จากวิธีทะกุกิ

สภาวะ	องค์ประกอบทางเคมี (เปอร์เซ็นต์)			
	เซลลูโลส	ลิกนิน	เพนโตแซน	เถ้า
ชุดการทดลอง A *	80.74	15.99	3.17	1.0507
ชุดการทดลอง B **	74.57	15.14	3.65	1.6293

ตารางที่ 62 เปรียบเทียบค่าที่ได้จากการทดลองจริง และที่ได้จากการประมาณค่าซึ่งคำนวณโดยวิธีทะกุกิ ของสภาวะการสกัดต่างที่เหมาะสมของทางใบปาล์ม

ชุดการทดลองเหมาะสม	ค่าจากการทดลอง (เปอร์เซ็นต์)		ค่าประมาณ (เปอร์เซ็นต์)	
	เซลลูโลส	ลิกนิน	เซลลูโลส	ลิกนิน
ชุดการทดลอง A	80.74	15.99	83.378	-
ชุดการทดลอง B	74.57	15.14	-	15.792

จากตารางที่ 62 จะเห็นว่า ค่าสัดส่วนเซลลูโลสที่ได้จากชุดการทดลอง A เท่ากับ 80.74 เปอร์เซ็นต์ ซึ่งมีค่าสูงกว่า ชุดการทดลอง B ที่มีค่าเท่ากับ 74.57 เปอร์เซ็นต์ โดยที่ค่าสัดส่วนลิกนินมีค่าแตกต่างกันเพียงเล็กน้อยเมื่อเทียบกับค่าสัดส่วนของเซลลูโลส คือ 15.99 เปอร์เซ็นต์ และ 15.14 เปอร์เซ็นต์ของชุดการทดลอง A และ B ตามลำดับ จากผลการทดลองจึงพิจารณาค่าสัดส่วนเซลลูโลส เนื่องจากชุดการทดลอง A ให้ค่าสัดส่วนเซลลูโลสสูงกว่าชุดการทดลอง B แต่ให้ค่าสัดส่วนลิกนินแตกต่างกันเพียงเล็กน้อยเมื่อเทียบกับชุดการทดลอง B ดังนั้นจึงเลือกชุดการทดลอง A (ความเข้มข้น โซเดียม 15 เปอร์เซ็นต์ อุณหภูมิ 90 องศาเซลเซียส เวลา 60 นาที) เป็นสภาวะการสกัดต่าง ในเชื้อทางใบปาล์ม ที่เหมาะสมเพื่อเพิ่มสัดส่วนเซลลูโลสสูงสุด

ตารางที่ 63 สรุปค่าสัดส่วนองค์ประกอบทางเคมีของทางใบปาล์ม ที่ผ่านการพรีทรีตเมนต์สถานะเหมาะสมแต่ละขั้นตอน

ขั้นตอนการพรีทรีตเมนต์	องค์ประกอบทางเคมี (เปอร์เซ็นต์)			
	เซลลูโลส	ลิกนิน	เฮมิเซลลูโลส	เถ้า
วัตถุดิบเริ่มต้น	42.46	15.63	28.27	1.82
การระเบิดด้วยไอน้ำ	36.17	30.2	7.36	5.48
การล้างด้วยน้ำร้อน	47.87	35.28	6.02	1.44
การสกัดด้วยด่าง	80.74	15.99	3.47	1.05

จากตารางที่ 63 องค์ประกอบทางเคมีของทางใบปาล์ม เมื่อผ่านขั้นตอนการสกัดด้วยด่างสถานะเหมาะสมที่ทำได้โดยวิธีทะกุงิ จากวัตถุดิบเริ่มต้นมีสัดส่วนเซลลูโลส 42.46 เพิ่มขึ้นเป็น 80.74 เปอร์เซ็นต์ เมื่อคิดเป็ประสิทธิภาพการเพิ่มขึ้นของสัดส่วนเซลลูโลส เท่ากับ 48.79 เปอร์เซ็นต์ ด้านสัดส่วนลิกนิน ควรมีค่าลดลง เมื่อผ่านการสกัดด้วยด่างเทียบกับวัตถุดิบเริ่มต้น กลับพบว่ามีค่าสัดส่วนที่เพิ่มขึ้น คือ จาก 15.63 เป็น 15.99 เปอร์เซ็นต์ แต่เมื่อเทียบกับหลังขั้นตอนการล้างด้วยน้ำร้อนพบว่ามีค่าสัดส่วนลดลง คือ จาก 35.28 เป็น 15.99 เปอร์เซ็นต์ โดยสัดส่วนลิกนินหลังสกัดด้วยด่าง เมื่อเทียบกับวัตถุดิบเริ่มต้น เพิ่มขึ้นนั้น อาจเนื่องมาจาก สัดส่วนเพน โทแซนที่ลดลงมาก หลังระเบิดด้วยไอน้ำและล้างด้วยน้ำร้อน ทำให้ไปเพิ่มสัดส่วนของลิกนิน

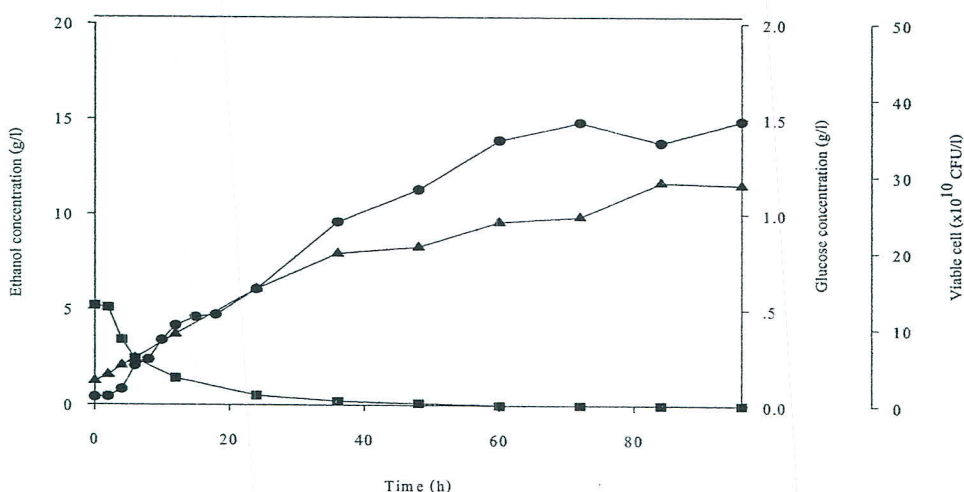
4.4 การศึกษาสถานะที่เหมาะสมของอุณหภูมิ และปริมาณเยื่อไม้ยูคาลิปตัส ลำต้นปาล์ม และทางใบปาล์ม ในการผลิตเอทานอล ด้วยการย่อยเป็นน้ำตาลและการหมักพร้อมกัน (Simultaneous saccharification and fermentation, SSF)

4.4.1 การศึกษาสถานะที่เหมาะสมในการผลิตเอทานอลด้วยการย่อยเป็นน้ำตาล และหมักพร้อมกัน (Simultaneous saccharification and fermentation, SSF) ของเยื่อไม้ยูคาลิปตัส

เมื่อวิเคราะห์ห้องค์ประกอบทางเคมีของไม้ยูคาลิปตัสที่ผ่านการปรับสภาพด้วยการระเบิดด้วยไอน้ำที่อุณหภูมิ 210 องศาเซลเซียส นาน 4 นาที สกัดด้วยน้ำที่อุณหภูมิ 80 องศาเซลเซียส นาน

30 นาที และสกัดด้วยค่าง (โซเดียมไฮดรอกไซด์ความเข้มข้น 20 เปอร์เซ็นต์) ที่อุณหภูมิ 80 องศาเซลเซียส พบว่ามีค่าสัดส่วนเซลลูโลส เฮมิเซลลูโลส และลิกนินเท่ากับ 60.91, 1.24 และ 20.66 เปอร์เซ็นต์น้ำหนักแห้งตามลำดับ

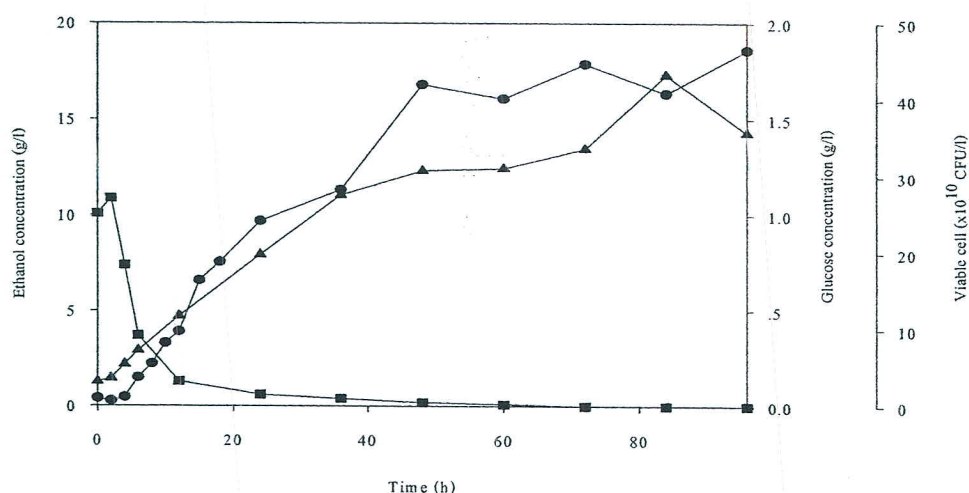
การผลิตเอทานอลจากไม้ยูคาลิปตัสที่ผ่านการปรับสภาพแล้ว โดยใช้เอนไซม์ Celluclast 1.5L และ Novozym 188 กับยีสต์ *S. cerevisiae* Sc90 ด้วยกระบวนการย่อยเป็นน้ำตาลและหมักพร้อมกัน โดยแปรผันอุณหภูมิ 30, 35 และ 40 องศาเซลเซียส และปริมาณเชื้อ 5, 7.5 และ 10 เปอร์เซ็นต์โดยน้ำหนักแห้งต่อปริมาตร สามารถสรุปผลแสดงถึงความสัมพันธ์ระหว่างความเข้มข้นเอทานอล กลูโคส และจำนวนเซลล์ที่มีชีวิต กับเวลาของการหมัก ดังภาพที่ 22 ถึง 30



ภาพที่ 22 การผลิตเอทานอลจากเชื้อไม้ยูคาลิปตัส โดยใช้ *S. cerevisiae* Sc90 ด้วยกระบวนการย่อยและหมักพร้อมกันที่อุณหภูมิ 30 องศาเซลเซียส และปริมาณเชื้อ 5 เปอร์เซ็นต์โดยน้ำหนักแห้งต่อปริมาตร (สัญลักษณ์ ▲, ■ และ ● แสดงความเข้มข้นเอทานอล กลูโคส และจำนวนเซลล์ที่มีชีวิต ตามลำดับ)

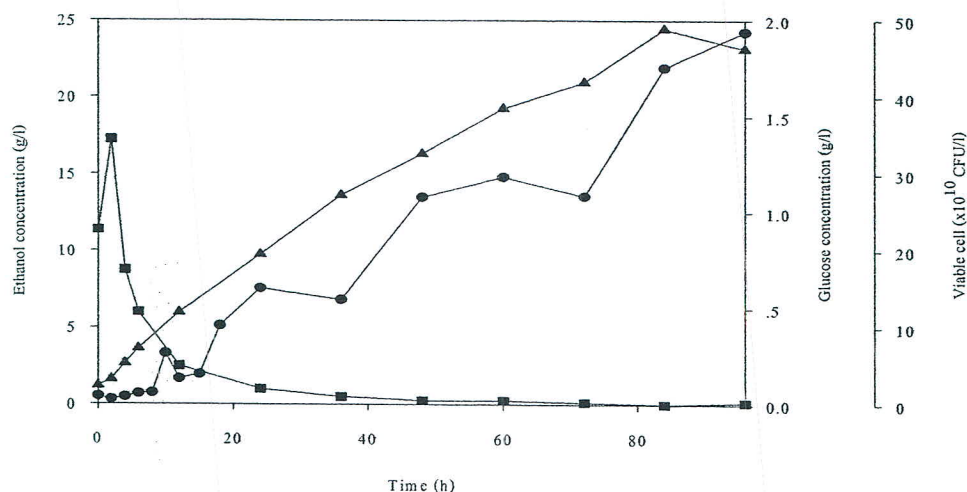
จากการผลิตเอทานอลที่อุณหภูมิ 30 องศาเซลเซียส และใช้ปริมาณเชื้อ 5 เปอร์เซ็นต์โดยน้ำหนักแห้งต่อปริมาตร ดังภาพที่ 22 เมื่อเริ่มการหมักภายใน 2 ชั่วโมงแรกเซลล์อยู่ในช่วงระยะของการปรับตัว โดยมีการเพิ่มขึ้นของเซลล์ และเอทานอลเล็กน้อย ขณะเดียวกันเอนไซม์สามารถทำงานได้น้อยที่อุณหภูมิต่ำ เนื่องจากมีอุณหภูมิที่เหมาะสมคือ 50 องศาเซลเซียส ประกอบกับเซลล์นำกลูโคสที่มีอยู่ไปใช้ ส่งผลให้ความเข้มข้นกลูโคสไม่เปลี่ยนแปลง เมื่อเข้าสู่การหมักชั่วโมงที่ 4 เซลล์และเอทานอลเริ่มเพิ่มขึ้นอย่างรวดเร็ว น้ำตาลกลูโคสลดลงอย่างรวดเร็ว โดยที่เซลล์เริ่มเข้าสู่

สถานะคงตัวที่ชั่วโมงที่ 60 และน้ำตาลกลูโคสลดลงจนมีค่าเป็นศูนย์ เมื่อสิ้นสุดการหมักที่เวลา 96 ชั่วโมง พบว่าความเข้มข้นกลูโคส เอทานอล และจำนวนเซลล์ที่มีชีวิตเท่ากับ 0, 11.52 กรัมต่อลิตร และ 3.72×10^{11} เซลล์ต่อลิตร ตามลำดับ



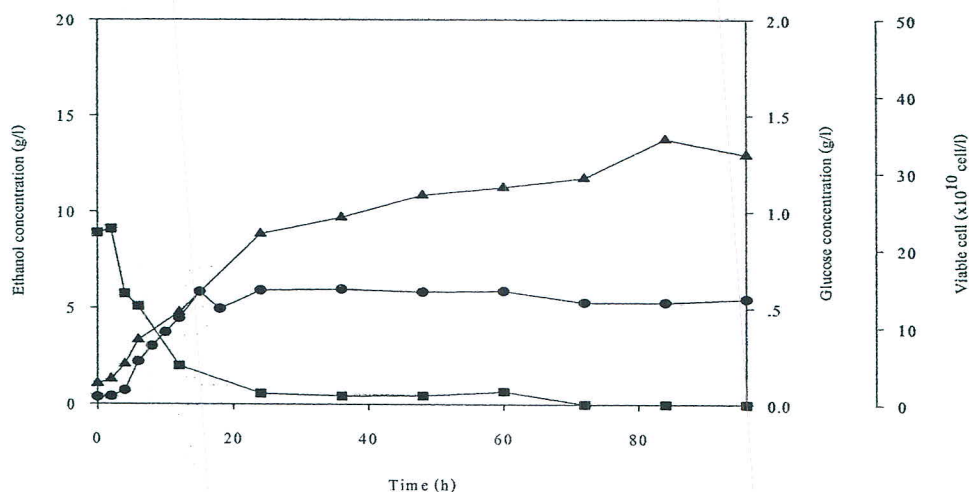
ภาพที่ 23 การผลิตเอทานอลจากเชื้อไมยคาลิปตัส โดยใช้ *S. cerevisiae* Sc90 ด้วยกระบวนการย่อยและหมักพร้อมกันที่ อุณหภูมิ 30 องศาเซลเซียส และปริมาณเชื้อ 7.5 เปอร์เซ็นต์โดยน้ำหนักแห้งต่อปริมาตร (สัญลักษณ์ ▲ , ■ และ ● แสดงความเข้มข้นเอทานอล กลูโคส และจำนวนเซลล์ที่มีชีวิตตามลำดับ)

การผลิตเอทานอลที่อุณหภูมิ 30 องศาเซลเซียส และใช้ปริมาณเชื้อ 7.5 เปอร์เซ็นต์โดยน้ำหนักแห้งต่อปริมาตร ดังภาพที่ 23 เมื่อเริ่มการหมักภายใน 2 ชั่วโมงแรกเซลล์อยู่ในช่วงระยะของการปรับตัว โดยมีการเพิ่มขึ้นของเซลล์ และเอทานอลเล็กน้อย ขณะเดียวกันเอนไซม์สามารถทำงานได้น้อยที่อุณหภูมิต่ำ ประกอบกับเซลล์นำกลูโคสที่มีอยู่ไปใช้ ส่งผลให้ความเข้มข้นกลูโคสเพิ่มขึ้นเพียงเล็กน้อย เมื่อเข้าสู่การหมักชั่วโมงที่ 4 เซลล์และเอทานอลเริ่มเพิ่มขึ้นอย่างรวดเร็ว น้ำตาลกลูโคสลดลงอย่างรวดเร็ว โดยที่เซลล์เริ่มเข้าสู่สถานะคงตัวที่ชั่วโมงที่ 48 และไม่พบน้ำตาลกลูโคสในชั่วโมงที่ 60 เมื่อสิ้นสุดการหมักที่เวลา 96 ชั่วโมง พบว่ามีความเข้มข้นกลูโคส เอทานอล และจำนวนเซลล์ที่มีชีวิตเท่ากับ 0.01, 23.14 กรัมต่อลิตร และ 4.65×10^{11} เซลล์ต่อลิตร ตามลำดับ



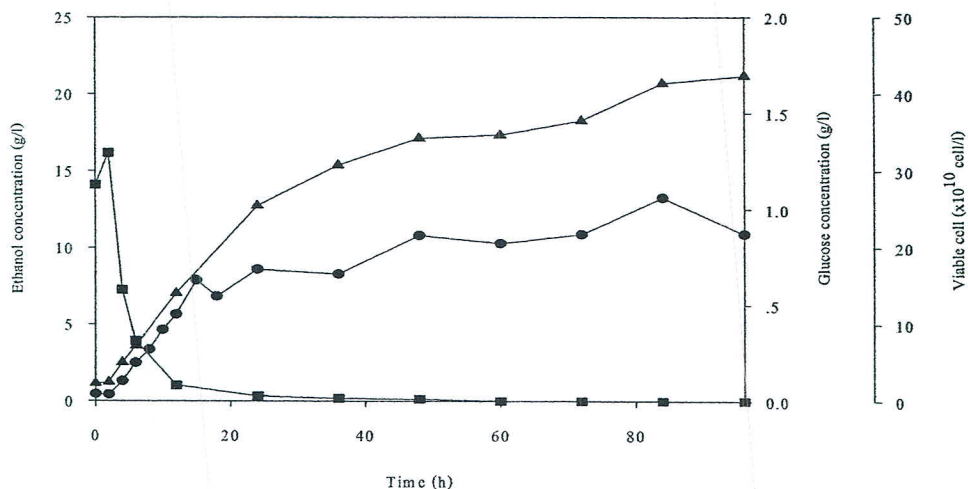
ภาพที่ 24 การผลิตเอทานอลจากเชื้อไม้ยูคาลิปตัส โดยใช้ *S. cerevisiae* Sc90 ด้วยกระบวนการย่อยและหมักพร้อมกันที่อุณหภูมิ 30 องศาเซลเซียส และปริมาณเชื้อ 10 เปอร์เซ็นต์โดยน้ำหนักแห้งต่อปริมาตร (สัญลักษณ์ ▲ , ■ และ ● แสดงความเข้มข้นเอทานอล กลูโคส และจำนวนเซลล์ที่มีชีวิตตามลำดับ)

จากการผลิตเอทานอลที่อุณหภูมิ 30 องศาเซลเซียส และใช้ปริมาณเชื้อ 10 เปอร์เซ็นต์โดยน้ำหนักแห้งต่อปริมาตร ดังภาพที่ 24 เมื่อเริ่มต้นการหมักเซลล์อยู่ในช่วงระยะปรับตัว ขณะเดียวกัน เอนไซม์ย่อยเซลลูโลสส่งผลให้มีความเข้มข้นกลูโคสเพิ่มขึ้น เมื่อเข้าสู่ชั่วโมงที่ 4 กลูโคสเริ่มลดลงอย่างรวดเร็ว และเอทานอลเพิ่มขึ้นอย่างรวดเร็ว โดยจำนวนเซลล์มีการเปลี่ยนแปลงมาก เนื่องจากการใช้ปริมาณเชื้อสูง ทำให้มีส่วนที่เป็นของเหลวน้อย และยากต่อการเขย่า รวมทั้งการหมักที่อุณหภูมิต่ำ เอนไซม์มีกิจกรรมต่ำด้วย ส่งผลให้ย่อยเซลลูโลสได้น้อย ซึ่งส่วนของเชื้อจึงลดขนาดลงได้น้อย ยากต่อการเก็บตัวอย่างเพื่อนำมาวิเคราะห์ โดยความเข้มข้นเอทานอลที่เพิ่มขึ้นอย่างรวดเร็ว และกลูโคสที่ลดลงอย่างรวดเร็ว แสดงถึงเซลล์ยังคงมีการใช้กลูโคสในการเจริญเติบโต และผลิตเอทานอลอย่างต่อเนื่อง เมื่อสิ้นสุดการหมักที่เวลา 96 ชั่วโมง พบว่าความเข้มข้นกลูโคส เอทานอล และจำนวนเซลล์ที่มีชีวิตเท่ากับ 0.01, 23.14 กรัมต่อลิตร และ 4.85×10^{11} เซลล์ต่อลิตร ตามลำดับ



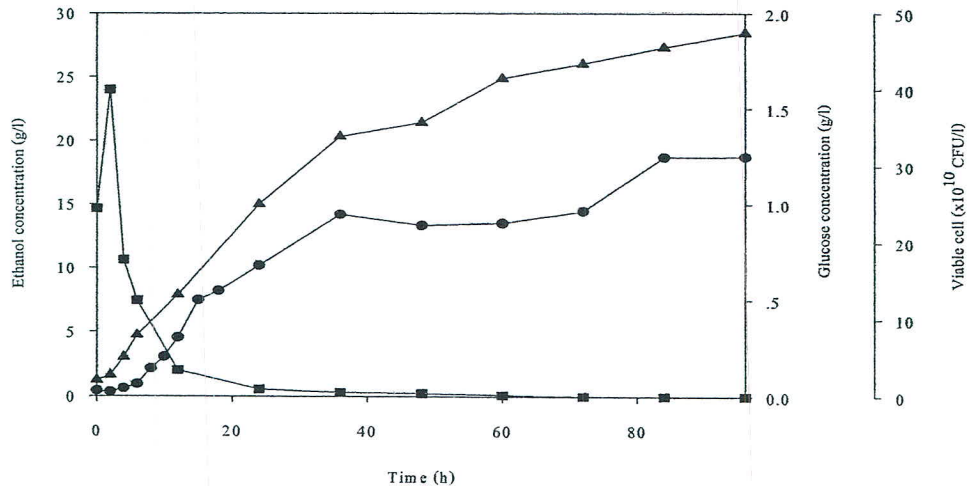
ภาพที่ 25 การผลิตเอทานอลจากเชื้อไมยคาถิปตัสโดยใช้ *S. cerevisiae* Sc90 ด้วยกระบวนการย่อยและหมักพร้อมกันที่อุณหภูมิ 35 องศาเซลเซียส และปริมาณเชื้อ 5 เปอร์เซ็นต์โดยน้ำหนักแห้งต่อปริมาตร (สัญลักษณ์ ▲ , ■ และ ● แสดงความเข้มข้นเอทานอล กลูโคส และจำนวนเซลล์ที่มีชีวิตตามลำดับ)

ภาพที่ 25 แสดงการผลิตเอทานอลที่อุณหภูมิ 35 องศาเซลเซียส และใช้ปริมาณเชื้อ 5 เปอร์เซ็นต์โดยน้ำหนักแห้งต่อปริมาตร ใน 2 ชั่วโมงเซลล์อยู่ในช่วงระยะของการปรับตัว โดยมีการเพิ่มขึ้นของเซลล์ และเอทานอลเล็กน้อย ขณะเดียวกันเอนไซม์ย่อยเซลลูโลสเป็นกลูโคส และเซลล์นำไปใช้ ส่งผลให้ความกลูโคสเพิ่มขึ้นเพียงเล็กน้อย เมื่อเข้าสู่การหมักชั่วโมงที่ 4 เซลล์และเอทานอลเริ่มเพิ่มขึ้นอย่างรวดเร็ว น้ำตาลกลูโคสลดลงอย่างรวดเร็ว โดยที่เซลล์เริ่มเข้าสู่สภาวะคงตัวที่ชั่วโมงที่ 24 และไม่พบน้ำตาลกลูโคสในชั่วโมงที่ 72 เมื่อสิ้นสุดการหมักที่เวลา 96 ชั่วโมง พบว่าความเข้มข้นกลูโคส เอทานอล และจำนวนเซลล์ที่มีชีวิตเท่ากับ 0, 12.95 กรัมต่อลิตร และ 1.37×10^{11} เซลล์ต่อลิตร ตามลำดับ



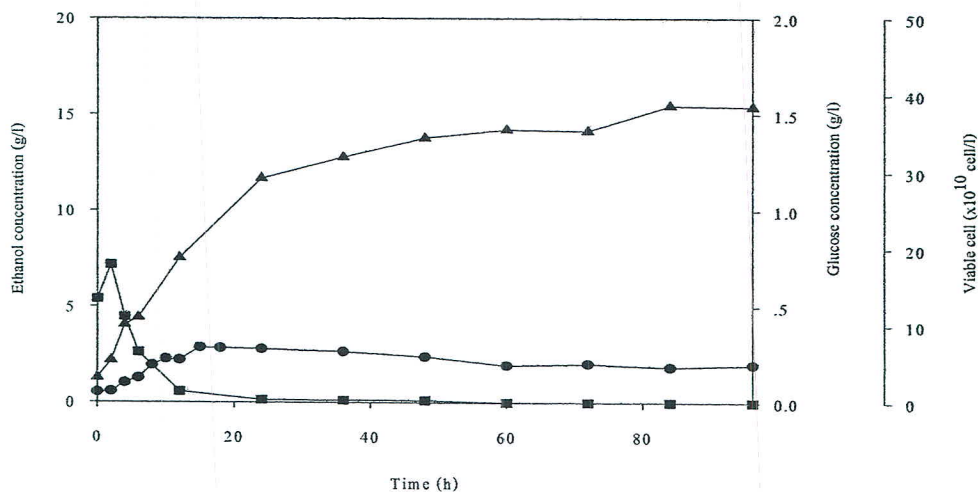
ภาพที่ 26 การผลิตเอทานอลจากเชื้อไมยคาลิปัสโดยใช้ *S. cerevisiae* Sc90 ด้วยกระบวนการย่อยและหมักพร้อมกันที่อุณหภูมิ 35 องศาเซลเซียส และปริมาณเชื้อ 7.5 เปอร์เซ็นต์โดยน้ำหนักแห้งต่อปริมาตร (สัญลักษณ์ ▲, ■ และ ● แสดงความเข้มข้นเอทานอล กลูโคส และจำนวนเซลล์ที่มีชีวิตตามลำดับ)

จากการผลิตเอทานอลที่อุณหภูมิ 35 องศาเซลเซียส และใช้ปริมาณเชื้อ 7.5 เปอร์เซ็นต์โดยน้ำหนักแห้งต่อปริมาตร ดังภาพที่ 26 เมื่อเริ่มการหมักภายใน 2 ชั่วโมงเซลล์อยู่ในช่วงระยะของการปรับตัว โดยมีการเพิ่มขึ้นของเซลล์ และเอทานอลเล็กน้อย ขณะเดียวกันเอนไซม์ย่อยเซลลูโลสเป็นกลูโคส และเซลล์นำไปใช้ ส่งผลให้ความกลูโคสเพิ่มขึ้นเล็กน้อย เมื่อเข้าสู่การหมักชั่วโมงที่ 4 เซลล์และเอทานอลเริ่มเพิ่มขึ้นอย่างรวดเร็ว น้ำตาลกลูโคสลดลงอย่างรวดเร็ว โดยที่เซลล์เริ่มเข้าสู่ภาวะคงตัวที่ชั่วโมงที่ 18 และไม่พบน้ำตาลกลูโคสในชั่วโมงที่ 60 เมื่อสิ้นสุดการหมักที่เวลา 96 ชั่วโมง พบว่าความเข้มข้นกลูโคส เอทานอล และจำนวนเซลล์ที่มีชีวิตเท่ากับ 0, 21.18 กรัมต่อลิตร และ 2.18×10^{11} เซลล์ต่อลิตรตามลำดับ



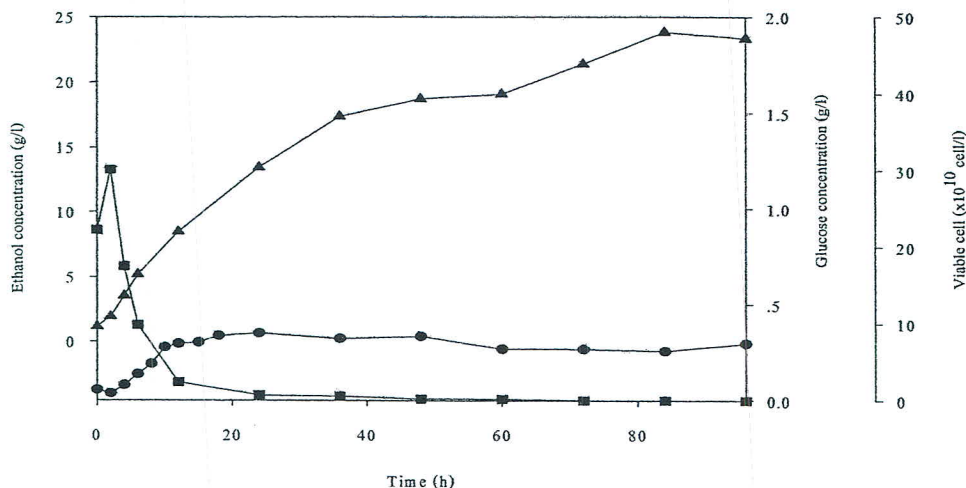
ภาพที่ 27 การผลิตเอทานอลจากเชื้อไมยคาลิปดัส โดยใช้ *S. cerevisiae* Sc90 ด้วยกระบวนการย่อยและหมักพร้อมกันที่อุณหภูมิ 35 องศาเซลเซียส และปริมาณเชื้อ 10 เปอร์เซ็นต์โดยน้ำหนักแห้งต่อปริมาตร (สัญลักษณ์ ▲, ■ และ ● แสดงความเข้มข้นเอทานอล กลูโคส และจำนวนเซลล์ที่มีชีวิตตามลำดับ)

จากการผลิตเอทานอลที่อุณหภูมิ 35 องศาเซลเซียส และใช้ปริมาณเชื้อ 10 เปอร์เซ็นต์โดยน้ำหนักแห้งต่อปริมาตร ดังภาพที่ 27 เมื่อเริ่มการหมักภายใน 2 ชั่วโมงเซลล์อยู่ในช่วงระยะของการปรับตัว โดยมีการเพิ่มขึ้นของเซลล์ และเอทานอลเล็กน้อย ขณะเดียวกันเอนไซม์ย่อยเซลลูโลสเป็นกลูโคส และเซลล์นำไปใช้ ส่งผลให้ความเข้มข้นกลูโคสเพิ่มขึ้นเล็กน้อย เมื่อเข้าสู่การหมักชั่วโมงที่ 4 เอทานอลเริ่มเพิ่มขึ้นอย่างรวดเร็ว น้ำตาลกลูโคสลดลงอย่างรวดเร็ว โดยที่เซลล์เริ่มเข้าสู่สภาวะคงตัวที่ชั่วโมงที่ 24 และไม่พบน้ำตาลกลูโคสในชั่วโมงที่ 60 แสดงถึงเอนไซม์ยังคงมีกิจกรรมอยู่ เมื่อสิ้นสุดการหมักที่เวลา 96 ชั่วโมง พบว่าความเข้มข้นกลูโคส เอทานอล และจำนวนเซลล์ที่มีชีวิตเท่ากับ 0, 28.47 กรัมต่อลิตร และ 3.12×10^{11} เซลล์ต่อลิตร ตามลำดับ



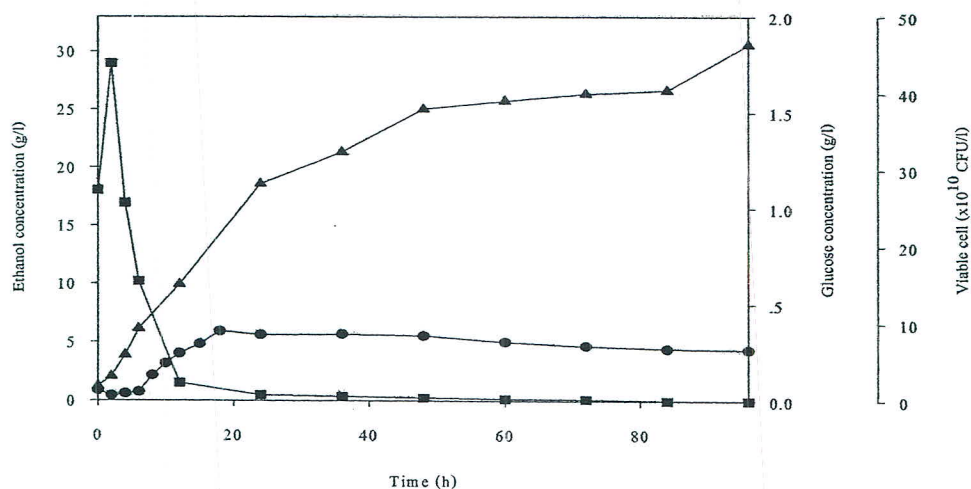
ภาพที่ 28 การผลิตเอทานอลจากเชื้อไมยคาลิปัส โดยใช้ *S. cerevisiae* Sc90 ด้วยกระบวนการย่อยและหมักพร้อมกันที่อุณหภูมิ 40 องศาเซลเซียส และปริมาณเชื้อ 5 เปอร์เซ็นต์โดยน้ำหนักแห้งต่อปริมาตร (สัญลักษณ์ ▲, ■ และ ● แสดงความเข้มข้นเอทานอล กลูโคส และจำนวนเซลล์ที่มีชีวิตตามลำดับ)

จากการผลิตเอทานอลที่อุณหภูมิ 40 องศาเซลเซียส และใช้ปริมาณเชื้อ 5 เปอร์เซ็นต์โดยน้ำหนักแห้งต่อปริมาตร ดังภาพที่ 28 เมื่อเริ่มการหมักภายใน 2 ชั่วโมงเซลล์อยู่ในช่วงระยะของการปรับตัว โดยมีการเพิ่มขึ้นของเซลล์ และเอทานอลเล็กน้อย ขณะเดียวกันเอนไซม์ย่อยเซลลูโลสเป็นกลูโคส และเซลล์นำไปใช้ ส่งผลให้ความเข้มข้นกลูโคสเพิ่มขึ้นเล็กน้อย เมื่อเข้าสู่การหมักชั่วโมงที่ 4 เอทานอลเริ่มเพิ่มขึ้นอย่างรวดเร็ว น้ำตาลกลูโคสลดลงอย่างรวดเร็ว โดยที่เซลล์เริ่มเข้าสู่สภาวะคงตัวที่ชั่วโมงที่ 10 และไม่พบน้ำตาลกลูโคสในชั่วโมงที่ 60 เมื่อสิ้นสุดการหมักที่เวลา 96 ชั่วโมงพบว่าความเข้มข้นกลูโคส เอทานอล และจำนวนเซลล์ที่มีชีวิตเท่ากับ 0, 15.39 กรัมต่อลิตร และ 4.9×10^{10} เซลล์ต่อลิตร ตามลำดับ



ภาพที่ 29 การผลิตเอทานอลจากเชื้อไมยคาลิปัส โดยใช้ *S. cerevisiae* Sc90 ด้วยกระบวนการย่อยและหมักพร้อมกันที่อุณหภูมิ 40 องศาเซลเซียส และปริมาณเยื่อ 7.5 เปอร์เซ็นต์โดยน้ำหนักแห้งต่อปริมาตร (สัญลักษณ์ ▲ ■ และ ● แสดงความเข้มข้นเอทานอล และจำนวนเซลล์ที่มีชีวิตตามลำดับ)

จากการผลิตเอทานอลที่อุณหภูมิ 40 องศาเซลเซียส และใช้ปริมาณเยื่อ 7.5 เปอร์เซ็นต์โดยน้ำหนักแห้งต่อปริมาตร ดังภาพที่ 29 เมื่อเริ่มการหมักภายใน 2 ชั่วโมงมีการลดลงของเซลล์เล็กน้อยเนื่องจากมีปริมาณเยื่อสูงขึ้น ทำให้ยากต่อการเขย่า และความเข้มข้นเอทานอลเพิ่มขึ้นเล็กน้อย แสดงถึงเซลล์มีการผลิตเอทานอล ขณะเดียวกันเอนไซม์ย่อยเซลลูโลสเป็นกลูโคส และเซลล์นำไปใช้ส่งผลให้ความเข้มข้นกลูโคสเพิ่มขึ้นเล็กน้อย เมื่อเข้าสู่การหมักชั่วโมงที่ 4 เอทานอลเริ่มเพิ่มขึ้นอย่างรวดเร็ว น้ำตาลกลูโคสลดลงอย่างรวดเร็ว โดยที่เซลล์เริ่มเข้าสู่สภาวะคงตัวในชั่วโมงที่ 18 และไม่พบน้ำตาลกลูโคสในชั่วโมงที่ 72 เมื่อสิ้นสุดการหมักที่เวลา 96 ชั่วโมง พบว่าความเข้มข้นกลูโคส เอทานอล และจำนวนเซลล์ที่มีชีวิตเท่ากับ 0, 23.34 กรัมต่อลิตร และ 7.39×10^{10} เซลล์ต่อลิตร ตามลำดับ



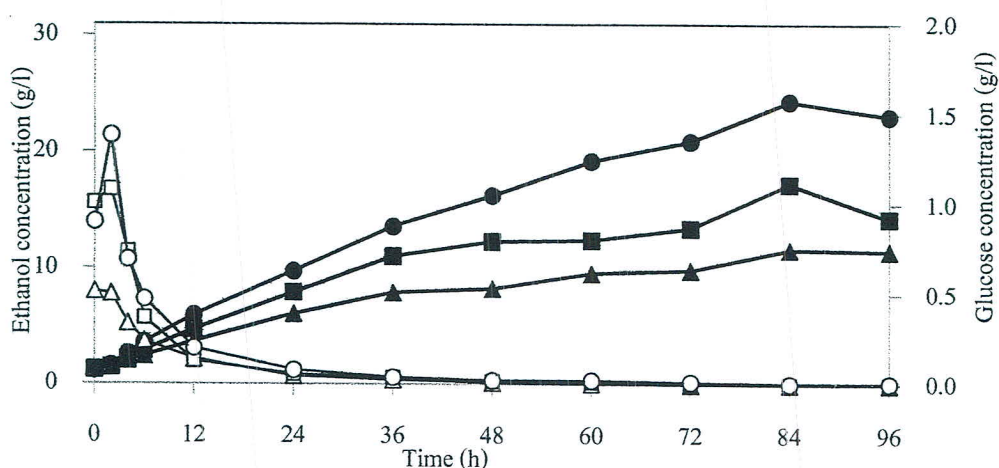
ภาพที่ 30 การผลิตเอทานอลจากเชื้อไม้ยูคาลิปตัส โดยใช้ *S. cerevisiae* Sc90 ด้วยกระบวนการย่อยและหมักพร้อมกันที่ อุณหภูมิ 40 องศาเซลเซียส และปริมาณเชื้อ 10 เปอร์เซ็นต์โดยน้ำหนักแห้งต่อปริมาตร (สัญลักษณ์ ▲ , ■ และ ● แสดงความเข้มข้นเอทานอล กลูโคส และจำนวนเซลล์ที่มีชีวิตตามลำดับ)

จากการผลิตเอทานอลที่อุณหภูมิ 40 องศาเซลเซียส และใช้ปริมาณเชื้อ 10 เปอร์เซ็นต์โดยน้ำหนักแห้งต่อปริมาตร ดังภาพที่ 30 เมื่อเริ่มการหมักภายใน 2 ชั่วโมงมีการลดลงของเซลล์เล็กน้อย เนื่องจากมีปริมาณเชื้อสูงเกินไป ทำให้ยากต่อการเขย่า และความเข้มข้นเอทานอลเพิ่มขึ้นเล็กน้อย แสดงถึงเซลล์มีการผลิตเอทานอล ขณะเดียวกันเอนไซม์ย่อยเซลลูโลสเป็นกลูโคส และเซลล์นำไปใช้ ส่งผลให้ความเข้มข้นกลูโคสเพิ่มขึ้น เมื่อเข้าสู่การหมักชั่วโมงที่ 4 เอทานอลเริ่มเพิ่มขึ้นอย่างรวดเร็ว และน้ำตาลกลูโคสลดลงอย่างรวดเร็ว โดยที่เซลล์เริ่มเข้าสู่สภาวะคงตัวในชั่วโมงที่ 18 และไม่พบน้ำตาลกลูโคสในชั่วโมงที่ 84 เมื่อสิ้นสุดการหมักที่เวลา 96 ชั่วโมง พบว่าความเข้มข้นกลูโคส เอทานอล และจำนวนเซลล์ที่มีชีวิตเท่ากับ 0, 30.60 กรัมต่อลิตร และ 6.62×10^{10} เซลล์ต่อลิตร ตามลำดับ

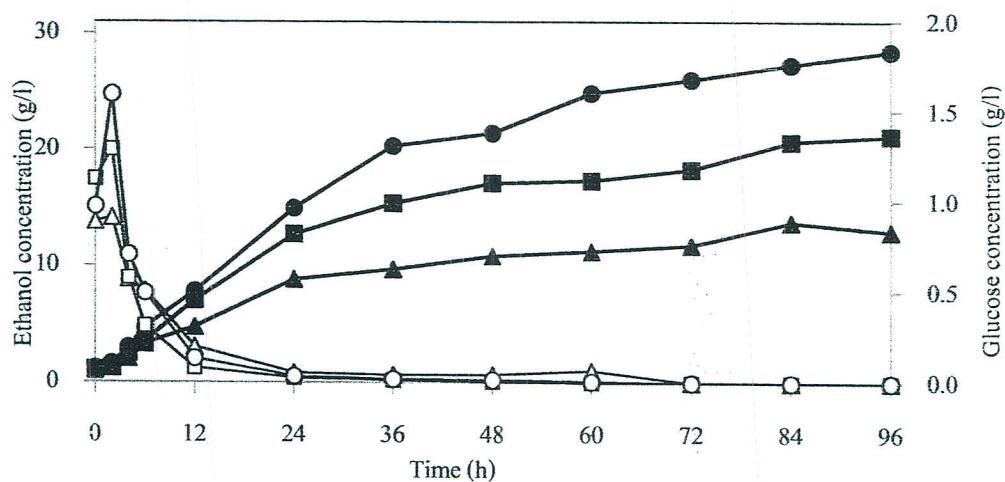
เมื่อพิจารณาผลของปริมาณเชื้อต่อการผลิตเอทานอล ณ อุณหภูมิต่าง ๆ สามารถสรุปผลความสัมพันธ์ระหว่างความเข้มข้นเอทานอล และกลูโคส กับเวลาในการหมัก ดังในภาพที่ 31 ถึง 33

การผลิตเอทานอลจากไม้ยูคาลิปตัส โดยใช้ *S. cerevisiae* Sc90 ด้วยกระบวนการย่อยและหมักพร้อมกัน เมื่อใช้ปริมาณเชื้อ 5, 7.5 และ 10 เปอร์เซ็นต์โดยน้ำหนักแห้งต่อปริมาตร และอุณหภูมิเดียวกันในการหมัก พบว่าใน 2 ชั่วโมงแรกความเข้มข้นกลูโคส และเอทานอลเพิ่มขึ้นเล็กน้อย

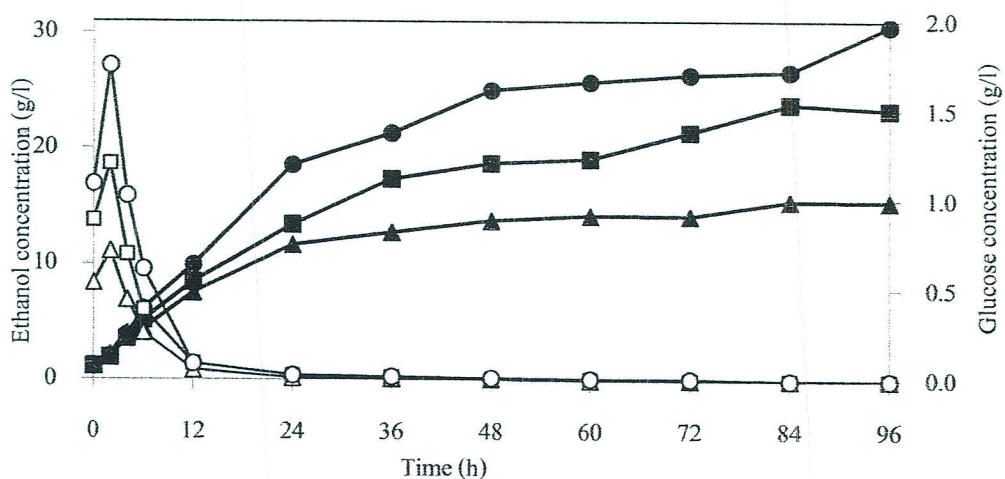
เนื่องจากเอนไซม์มีกิจกรรมในการย่อยเซลลูโลสเป็นน้ำตาลกลูโคส ในขณะที่เซลล์อยู่ในระยะเวลาการปรับตัว เมื่อเข้าสู่ชั่วโมงที่ 4 เอนไซม์ย่อยเซลลูโลสเป็นน้ำตาลกลูโคส และเซลล์นำมาใช้ในการเจริญเติบโตได้เลย ส่งผลให้ความเข้มข้นกลูโคสในน้ำหมักลดลงอย่างรวดเร็วจนมีค่าเท่ากับศูนย์เมื่อสิ้นสุดการหมัก ส่วนความเข้มข้นเอทานอลเพิ่มขึ้นเป็นแนวโน้มเดียวกันทั้งในการหมักโดยใช้ปริมาณเชื้อ 5, 7.5 และ 10 เปอร์เซ็นต์โดยน้ำหนักแห้งต่อปริมาตร โดยการใช้ปริมาณเชื้อ 10 เปอร์เซ็นต์โดยน้ำหนักแห้งต่อปริมาตร ในการหมักมีความเข้มข้นเอทานอลสูงสุด รองลงมาเป็นปริมาณเชื้อ 7.5 และ 5 เปอร์เซ็นต์โดยน้ำหนักแห้งต่อปริมาตร ตามลำดับ (ภาพที่ 31 ถึง 33)



ภาพที่ 31 การผลิตเอทานอลโดย *S. cerevisiae* Sc90 ที่อุณหภูมิ 30 องศาเซลเซียสด้วยกระบวนการย่อยและหมักพร้อมกัน (สัญลักษณ์ ▲, ■ และ ● แสดงความเข้มข้นเอทานอลที่ ปริมาณเชื้อ 5, 7.5 และ 10 เปอร์เซ็นต์โดยน้ำหนักแห้งต่อปริมาตรตามลำดับ และ △, □ และ ○ แสดงความเข้มข้นกลูโคสที่ปริมาณ-เชื้อ 5, 7.5 และ 10 เปอร์เซ็นต์โดยน้ำหนักแห้งต่อปริมาตรตามลำดับ)

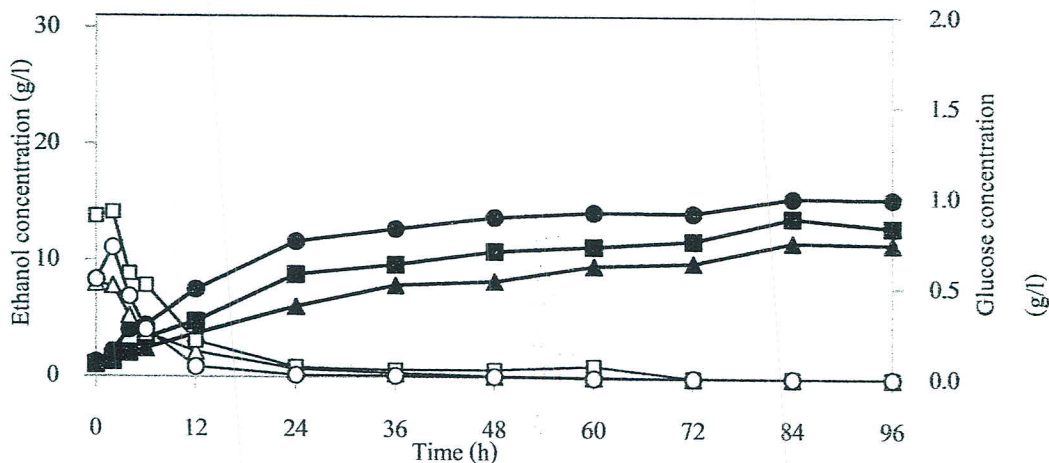


ภาพที่ 32 การผลิตเอทานอลโดย *S. cerevisiae* Sc90 ที่อุณหภูมิ 35 องศาเซลเซียส ด้วยกระบวนการย่อยและหมักพร้อมกัน (สัญลักษณ์ ▲, ■ และ ● แสดงความเข้มข้นเอทานอลที่ปริมาณเยื่อ 5, 7.5 และ 10 เปอร์เซ็นต์โดยน้ำหนักแห้งต่อปริมาตรตามลำดับ และ △, □ และ ○ แสดงความเข้มข้นกลูโคสที่ปริมาณเยื่อ 5, 7.5 และ 10 เปอร์เซ็นต์โดยน้ำหนักแห้งต่อปริมาตรตามลำดับ)

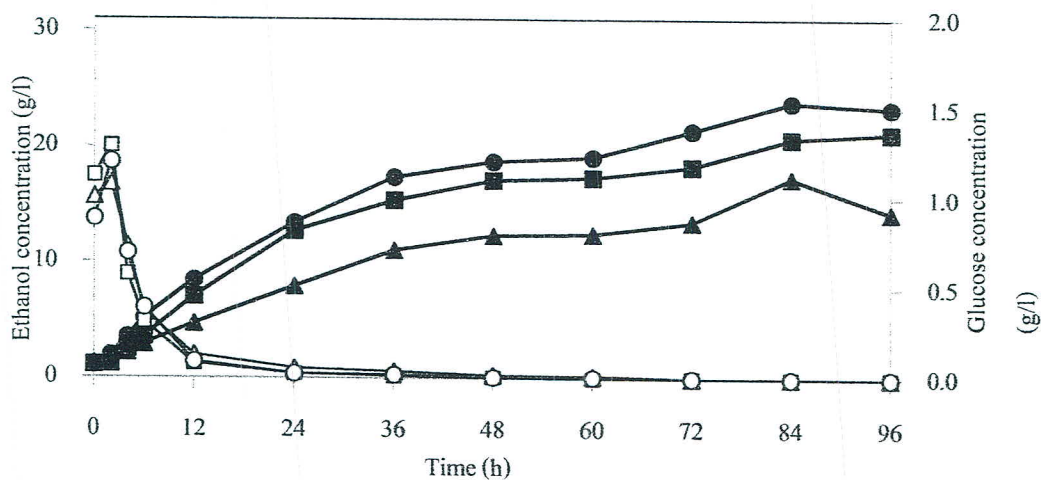


ภาพที่ 33 การผลิตเอทานอลโดย *S. cerevisiae* Sc90 ที่อุณหภูมิ 40 องศาเซลเซียส ด้วยกระบวนการย่อยและหมักพร้อมกัน (สัญลักษณ์ ▲, ■ และ ● แสดงความเข้มข้นเอทานอลที่ปริมาณเยื่อ 5, 7.5 และ 10 เปอร์เซ็นต์โดยน้ำหนักแห้งต่อปริมาตรตามลำดับ และ △, □ และ ○ แสดงความเข้มข้นกลูโคสที่ปริมาณเยื่อ 5, 7.5 และ 10 เปอร์เซ็นต์โดยน้ำหนักแห้งต่อปริมาตรตามลำดับ)

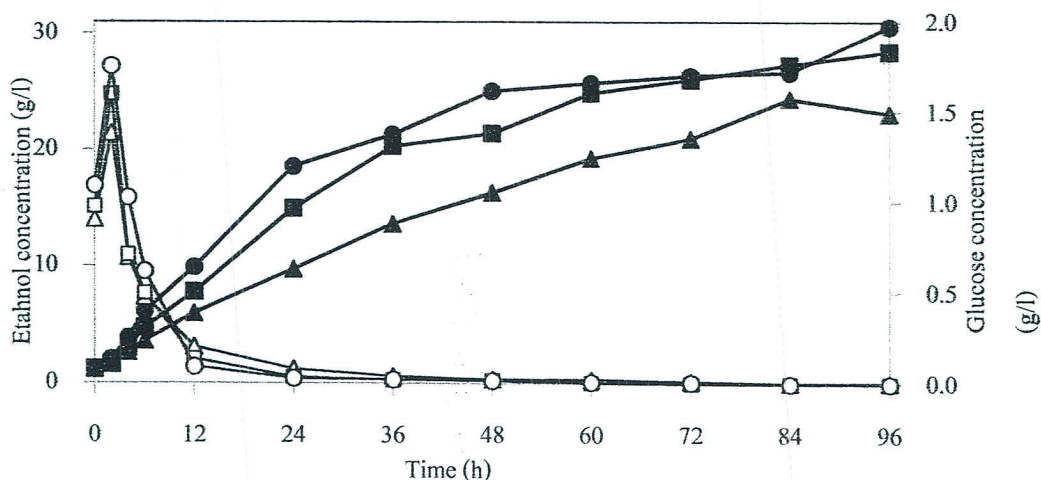
เมื่อพิจารณาผลของอุณหภูมิต่อการผลิตเอทานอล ณ ปริมาณเชื้อต่าง ๆ สามารถสรุปผล ความสัมพันธ์ระหว่างความเข้มข้นเอทานอล และกลูโคส กับเวลาในการหมัก ดังในภาพที่ 34 ถึง 36 การผลิตเอทานอลจากไม้อยูคาลิปตัส โดย *S. cerevisiae* Sc90 ด้วยกระบวนการย่อยเป็นน้ำตาลและ หมักพร้อมกัน เมื่อใช้อุณหภูมิ 30, 35 และ 40 องศาเซลเซียส และปริมาณเชื้อเท่ากันในการหมัก พบว่าใน 2 ชั่วโมงแรกความเข้มข้นกลูโคส และเอทานอลเพิ่มขึ้นเล็กน้อย เนื่องจากเอนไซม์มี กิจกรรมในการย่อยเซลลูโลสเป็นน้ำตาลกลูโคส ในขณะที่เซลล์อยู่ในระยะเวลาการปรับตัว เมื่อเข้าสู่ ชั่วโมงที่ 4 เอนไซม์ย่อยเซลลูโลสเป็นน้ำตาลกลูโคส และเซลล์นำมาใช้ในการเจริญเติบโตได้ผล ส่งผลให้ความเข้มข้นกลูโคสในน้ำหมักลดลงอย่างรวดเร็วจนมีค่าเท่ากับศูนย์เมื่อสิ้นสุดการหมัก ส่วนความเข้มข้น เอทานอลเพิ่มขึ้นเป็นแนวโน้มเดียวกันทั้งในการหมักที่อุณหภูมิ 30, 35 และ 40 องศาเซลเซียส เมื่อใช้อุณหภูมิ 40 องศาเซลเซียสในการหมัก มีความเข้มข้นเอทานอลสูงสุด รองลงมาเป็นอุณหภูมิ 35 และ 30 องศาเซลเซียสตามลำดับ (ภาพที่ 34 ถึง 36) โดยอุณหภูมิที่ เหมาะสมของเอนไซม์ในการย่อยเซลลูโลสเท่ากับ 50 องศาเซลเซียส เมื่ออุณหภูมิต่ำลงส่งผลให้ อัตราการย่อยลดลงและใช้เวลานานขึ้น (Kádár *et al.*, 2004) ดังนั้นเมื่อใช้อุณหภูมิในการหมัก 40 องศาเซลเซียส ส่งผลให้มีอัตราการย่อยเซลลูโลสด้วยเอนไซม์สูงกว่าที่อุณหภูมิ 35 และ 30 องศา เซลเซียส ทำให้มีความเข้มข้นเอทานอลสูงสุดที่อุณหภูมิ 40 องศาเซลเซียส ขณะที่ยีสต์สายพันธุ์ *Saccharomyces* sp. มีอุณหภูมิที่เหมาะสมในการทำงาน 35 องศาเซลเซียส (Kádár *et al.*, 2004) จาก ผลการทดลองมีเอทานอลเกิดขึ้น และมีการเจริญเติบโตของเซลล์ (ภาพที่ 28-30) ที่อุณหภูมิสูง 40 องศาเซลเซียส แสดงถึงยีสต์ *S. cerevisiae* Sc90 สามารถทนอุณหภูมิสูง 40 องศาเซลเซียสได้ โดย การใช้ปริมาณเชื้อ 5, 7.5 และ 10 เปอร์เซ็นต์โดยน้ำหนักแห้งต่อปริมาตรมีจำนวนเซลล์ที่มีชีวิต เท่ากับ 4.9 , 7.39 และ 6.62×10^7 เซลล์ต่อมิลลิลิตร ซึ่งมีค่าน้อยกว่าเมื่อเปรียบเทียบกับการใช้ยีสต์ *Kluyveromyces marxianus* ซึ่งเป็นจุลินทรีย์ที่ทนอุณหภูมิสูง ในการผลิตเอทานอลจากเซลลูโลส บริสุทธิ์ (Sigmacell 50) ภายใต้สภาวะการหมักแบบ SSF ที่อุณหภูมิ 42 องศาเซลเซียส พบว่าเมื่อใช้ ปริมาณเซลลูโลสบริสุทธิ์ 5, 7.5, 10, 12.5 และ 15 เปอร์เซ็นต์โดยน้ำหนักแห้งต่อปริมาตร มีจำนวน เซลล์ที่มีชีวิตเท่ากับ 2.9 , 2.0 , 1.7 , 1.3 และ 1.2×10^8 เซลล์ต่อมิลลิลิตรตามลำดับ และความเข้มข้นเอ ทานอลเท่ากับ 17.9, 26.1, 33.7, 41.4 และ 43.5 กรัมต่อลิตร (Tomás-Pejó *et al.*, 2009) ซึ่งมีค่า ใกล้เคียงกับผลการทดลองเมื่อใช้ปริมาณ 5, 7.5 และ 10 เปอร์เซ็นต์โดยน้ำหนักแห้งต่อปริมาตรที่ อุณหภูมิ 40 องศาเซลเซียส



ภาพที่ 34 การผลิตเอทานอลโดย *S. cerevisiae* Sc90 และปริมาณเชื้อ 5 เปอร์เซ็นต์โดยน้ำหนักแห้งต่อปริมาตรด้วยกระบวนการย่อยและหมักพร้อมกัน (สัญลักษณ์ ▲ , ■ และ ● แสดงความเข้มข้นเอทานอลที่อุณหภูมิ 30, 35 และ 40 องศาเซลเซียสตามลำดับ และ △ , □ และ ○ แสดงความเข้มข้นกลูโคสที่อุณหภูมิ 30, 35 และ 40 องศาเซลเซียสตามลำดับ)



ภาพที่ 35 การผลิตเอทานอลโดย *S. cerevisiae* Sc90 และปริมาณเชื้อ 7.5 เปอร์เซ็นต์โดยน้ำหนักแห้งต่อปริมาตรด้วยกระบวนการย่อยและหมักพร้อมกัน (สัญลักษณ์ ▲ , ■ และ ● แสดงความเข้มข้นเอทานอลที่อุณหภูมิ 30, 35 และ 40 องศาเซลเซียสตามลำดับ และ △ , □ และ ○ แสดงความเข้มข้นกลูโคสที่อุณหภูมิ 30, 35 และ 40 องศาเซลเซียสตามลำดับ)



ภาพที่ 36 การผลิตเอทานอลโดย *S. cerevisiae* Sc90 และปริมาณเชื้อ 10 เปอร์เซ็นต์โดยน้ำหนักแห้งต่อปริมาตรด้วยกระบวนการย่อยและหมักพร้อมกัน (สัญลักษณ์ ▲, ■ และ ● แสดงความเข้มข้นเอทานอลที่อุณหภูมิ 30, 35 และ 40 องศาเซลเซียสตามลำดับ และ △, □ และ ○ แสดงความเข้มข้นกลูโคสที่อุณหภูมิ 30, 35 และ 40 องศาเซลเซียสตามลำดับ)

จากผลการผลิตเอทานอลโดยใช้ไมยคาลิปดัสในกระบวนการย่อยเป็นน้ำตาลและหมักพร้อมกัน สามารถสรุปค่าพารามิเตอร์ทางจลนพลศาสตร์ได้ดังตารางที่ 64 เมื่อเปรียบเทียบค่าพารามิเตอร์ทางจลนพลศาสตร์ต่าง ๆ พบว่าการใช้ปริมาณเชื้อ 5 เปอร์เซ็นต์โดยน้ำหนักแห้งต่อปริมาตร และอุณหภูมิ 35 องศาเซลเซียสในการหมัก มีการเจริญเติบโตของยีสต์ *S. cerevisiae* Sc90 ดีที่สุด โดยมีอัตราการเจริญจำเพาะ (μ) เท่ากับ 0.413 ต่อชั่วโมง เนื่องจากเป็นอุณหภูมิที่เหมาะสมในการเจริญเติบโตของยีสต์ ซึ่งมีค่าสูงกว่าเมื่อเปรียบเทียบกับการเพาะเลี้ยงยีสต์ *Saccharomyces cerevisiae* Sc90 โดยใช้อาหาร YPD ภายใต้สภาวะการหมักที่ความเร็วรอบ 200 รอบต่อนาที และอุณหภูมิห้องเพื่อผลิตเอทานอล พบว่ามีอัตราการเจริญจำเพาะ 0.3 ต่อชั่วโมง ความเข้มข้นเอทานอลสูงสุด 7.42 กรัมต่อลิตร และอัตราการผลิตเอทานอล 3.09 กรัมต่อลิตร ชั่วโมง (Limtong *et al.*, 2000) การใช้ปริมาณเชื้อ 10 เปอร์เซ็นต์โดยน้ำหนักแห้งต่อปริมาตร ซึ่งมีปริมาณเชื้อสูงจึงมีแนวโน้มในการเปลี่ยนเป็นน้ำตาลกลูโคสได้เพิ่มขึ้น และอุณหภูมิ 40 องศาเซลเซียสในการหมักส่งผลให้เอนไซม์มีกิจกรรมมากขึ้น พบว่ามีความเข้มข้นเอทานอลสูงสุด (C_p) เท่ากับ 30.69 กรัมต่อลิตร ซึ่งคิดเป็นอัตราการผลิตเอทานอล (Q_p) เท่ากับ 0.32 กรัมต่อ-ลิตร ชั่วโมง ส่วนผลได้ของเอทานอล ($Y_{p/s}$) มีค่าสูงสุดเมื่อใช้ปริมาณเชื้อ 7.5 เปอร์เซ็นต์โดยน้ำหนักแห้งต่อปริมาตร และอุณหภูมิ 40 องศาเซลเซียส เท่ากับ 0.457 กรัมเอทานอลต่อกรัมเซลล์ที่แห้ง ซึ่งเปรียบเทียบกับผลได้ของ

เอทานอลเทียบกับทางทฤษฎี (Theoretical ethanol yield) เท่ากับ 89.67 เปอร์เซ็นต์ การใช้ปริมาณเชื้อ 10 เปอร์เซ็นต์โดยน้ำหนักแห้งต่อปริมาตร และอุณหภูมิ 40 องศาเซลเซียส โดยใช้ *S. cerevisiae* Sc90 ให้ค่าพารามิเตอร์สูงกว่าเมื่อเปรียบเทียบกับการผลิตเอทานอลจากไม้ยูคาลิปตัสที่ผ่านการระเบิดด้วยไอน้ำ โดยใช้เอนไซม์ Celluclast 1.5L กับยีสต์ *K. marxianus* CECT 10875 ในกระบวนการย่อยเป็นน้ำตาลและหมักพร้อมกัน ที่อุณหภูมิ 42 องศาเซลเซียส โดยใช้ปริมาณเชื้อ 10 เปอร์เซ็นต์โดยน้ำหนักแห้งต่อปริมาตร มีความเข้มข้นเอทานอลสูงสุด 17 กรัมต่อลิตร ผลได้ของเอทานอล 0.32 กรัมเอทานอลต่อกรัมกลูโคสจากการคำนวณ และผลได้ของเอทานอลเทียบกับทางทฤษฎี 62.5 เปอร์เซ็นต์ (Ballesteros *et al.*, 2004)

ตารางที่ 64 ค่าพารามิเตอร์ทางจลนพลศาสตร์ของการผลิตเอทานอลจากเชื้อ ไม้ยูคาลิปตัส โดยแปรผันปริมาณเชื้อ และอุณหภูมิในการหมักด้วยกระบวนการย่อยและหมักพร้อมกัน ในระยะเวลา 96 ชั่วโมง

ปริมาณเชื้อ (%w/v)	อุณหภูมิ (°C)	μ^1 (h ⁻¹)	C_p^2 (g/l)	Q_p g/l h ⁻¹	Y_{PS}^3 g/g	Theoretical ethanol
						yield ⁴ (%)
5	30	0.275	12.13	0.12	0.323	63.26
5	35	0.413	13.84	0.16	0.378	74.2
5	40	0.193	15.54	0.16	0.422	82.77
7.5	30	0.362	17.31	0.19	0.316	62.03
7.5	35	0.313	21.59	0.22	0.404	79.13
7.5	40	0.271	24.36	0.25	0.457	89.67
10	30	0.231	25.13	0.29	0.354	69.44
10	35	0.289	28.64	0.3	0.405	79.5
10	40	0.304	30.69	0.32	0.436	85.46

หมายเหตุ ¹ การคำนวณโดยใช้ช่วงระยะเวลาในการเพาะเลี้ยงดังนี้ ปริมาณเชื้อ 5 เปอร์เซ็นต์โดยน้ำหนักแห้งต่อปริมาตร ที่อุณหภูมิกการหมัก 30 องศาเซลเซียส: 2-10 ชั่วโมง, อุณหภูมิ 35 องศาเซลเซียส: 4-10 ชั่วโมง, อุณหภูมิ 40 องศาเซลเซียส: 2-8 ชั่วโมง, ปริมาณเชื้อ 7.5 เปอร์เซ็นต์โดยน้ำหนักแห้งต่อปริมาตร ที่อุณหภูมิกการหมัก 30 องศาเซลเซียส: 2-10 ชั่วโมง, อุณหภูมิ 35 องศา-

เซลเซียส: 2-10 ชั่วโมง, อุณหภูมิ 40 องศาเซลเซียส: 2-8 ชั่วโมง, ปริมาณเชื้อ 10 เปอร์เซ็นต์โดยน้ำหนักแห้งต่อปริมาตร ที่อุณหภูมิการหมัก 30 องศาเซลเซียส: 2-10 ชั่วโมง, อุณหภูมิ 35 องศาเซลเซียส: 2-10 ชั่วโมง, อุณหภูมิ 40 องศาเซลเซียส: 4-10 ชั่วโมง

² ความเข้มข้นเอทานอลเฉลี่ยสูงสุด

³ ผลได้ของเอทานอลต่อเซลล์ในไม้อยู่ภายใต้สภาวะที่ผ่านการปรับสภาพแล้ว (โดยแทนเซลล์โดยด้วยน้ำตาลกลูโคสเริ่มต้นจากการคำนวณ)

⁴ ผลได้ของเอทานอลเทียบกับทางทฤษฎีสูงสุด (เอทานอล 0.51 กรัมต่อกลูโคส 1 กรัม)

เมื่อนำค่าพารามิเตอร์ทางจลนพลศาสตร์ที่ได้จากการทดลองมาวิเคราะห์ผลทางสถิติ โดยใช้แผนการทดลองแบบแฟคทอเรียล (Factorial Designs) วิเคราะห์ความแปรปรวนด้วยแบบจำลองเชิงเส้นตรง (General linear model; GLM) และทดสอบความแตกต่างแบบ least significant difference (LSD) ด้วยโปรแกรม SAS รุ่น 8.01 (SAS, 2000)

ตารางที่ 65 ผลลัพธ์ ANOVA การวิเคราะห์ความแปรปรวนของความเข้มข้นเอทานอลสำหรับปริมาณเชื้อและอุณหภูมิในแผนการทดลองแฟคทอเรียล

Source	DF	SS	MS	F	Pr > F
fiber	2	921.97	460.99	62.95	<.0001
temp	2	129.86	64.93	8.87	0.0021
fiber*temp	4	10.84	2.71	0.37	0.8269

จากการวิเคราะห์ความแปรปรวน โดยใช้ความเข้มข้นเอทานอล (C_p) เมื่อศึกษาอิทธิพลร่วมระหว่าง 2 ปัจจัย คือ ปริมาณเชื้อและอุณหภูมิที่ใช้ในการหมัก พบว่าไม่มีอิทธิพลร่วมระหว่างปริมาณเชื้อ และอุณหภูมิที่ใช้ในการหมัก ($p \geq 0.05$) ดังในตารางที่ 65 ดังนั้นจึงทำการทดสอบความแตกต่างในแต่ละปัจจัยหลักดังนี้ เมื่อพิจารณาปัจจัยของปริมาณเชื้อที่ใช้ แสดงว่าปริมาณเชื้อมีอิทธิพลต่อความเข้มข้นเอทานอลเฉลี่ย ($p < 0.05$) ดังในตารางที่ 65 และทดสอบความแตกต่างของค่าเฉลี่ยความเข้มข้นเอทานอลที่ละคู่ของปริมาณเชื้อ 5, 7.5 และ 10 เปอร์เซ็นต์โดยน้ำหนักแห้งต่อปริมาตร โดยวิธี LSD ดังตารางที่ 66 พบว่าการใช้ปริมาณเชื้อ 5, 7.5 และ 10 เปอร์เซ็นต์โดยน้ำหนัก

แห่งต่อปริมาตรส่งผลให้ค่าความเข้มข้นเอทานอลแตกต่างกัน โดยการใส่ปริมาณเชื้อเพิ่มขึ้นมีผลทำให้ค่าความเข้มข้นเอทานอลเพิ่มขึ้น และการใส่ปริมาณเชื้อ 10 เปอร์เซ็นต์โดยน้ำหนักแห่งต่อปริมาตรมีค่าความเข้มข้นเอทานอลสูงสุด เมื่อพิจารณาปัจจัยของอุณหภูมิที่ใช้ แสดงว่าอุณหภูมิมีอิทธิพลต่อความเข้มข้นเอทานอลเฉลี่ย ($p < 0.05$) ดังในตารางที่ 65 และทดสอบความแตกต่างของค่าเฉลี่ยความเข้มข้นเอทานอลที่ละคู่ของอุณหภูมิ 30, 35 และ 40 องศาเซลเซียสโดยวิธี LSD ดังตารางที่ 65 พบว่าการใช้อุณหภูมิ 30, 35 และ 40 องศาเซลเซียสในการหมักส่งผลให้ค่าความเข้มข้นเอทานอลแตกต่างกัน โดยที่อุณหภูมิในการหมัก 30 องศาเซลเซียสให้ค่าความเข้มข้นเอทานอลน้อยที่สุด และการใช้อุณหภูมิ 35 และ 40 องศาเซลเซียสให้ค่าความเข้มข้นเอทานอลไม่แตกต่างกัน

ตารางที่ 66 ผลลัพธ์ ANOVA การวิเคราะห์ความแปรปรวนของผลได้ของเอทานอลสำหรับปริมาณเชื้อและอุณหภูมิใน แผนการทดลองแฟคทอเรียล

Source	DF	SS	MS	F	Pr > F
fiber	2	0.0029	0.0014	0.63	0.5434
temp	2	0.0528	0.0264	11.55	0.0006
fiber*temp	4	0.0029	0.0007	0.31	0.8652

จากการวิเคราะห์ความแปรปรวน โดยใช้ผลได้ของเอทานอล (Y_{ps}) เมื่อศึกษาอิทธิพลร่วมระหว่างปริมาณเชื้อ และอุณหภูมิที่ใช้ในการหมัก พบว่าไม่มีอิทธิพลร่วมระหว่างปริมาณเชื้อ และอุณหภูมิที่ใช้ในการหมัก ($p \geq 0.05$) ดังในตารางที่ 66 ดังนั้นจึงทำการทดสอบความแตกต่างในแต่ละปัจจัยหลักดังนี้ เมื่อพิจารณาปัจจัยของปริมาณเชื้อ แสดงว่าปริมาณเชื้อไม่มีอิทธิพลต่อค่าผลได้ของเอทานอลเฉลี่ย ($p \geq 0.05$) ดังในตารางที่ 66 และทดสอบความแตกต่างของค่าเฉลี่ยผลได้ของเอทานอล ที่ละคู่ของปริมาณเชื้อ 5, 7.5 และ 10 เปอร์เซ็นต์โดยน้ำหนักแห่งต่อปริมาตร โดยวิธี LSD ดังตารางที่ 66 พบว่าการใช้ปริมาณเชื้อ 5, 7.5 และ 10 เปอร์เซ็นต์โดยน้ำหนักแห่งต่อปริมาตรส่งผลให้อัตราการผลิตเอทานอลไม่แตกต่างกัน โดยการใส่ปริมาณเชื้อในการหมักแตกต่างกันไม่ทำให้ค่าผลได้ของเอทานอลต่างกัน เมื่อพิจารณาปัจจัยของอุณหภูมิ แสดงว่าอุณหภูมิมีอิทธิพลต่อผลได้ของเอทานอลเฉลี่ย ($p < 0.05$) ดังในตารางที่ 66 และทดสอบความแตกต่างของค่าเฉลี่ยผลได้ของเอทานอลที่ละคู่ของอุณหภูมิ 30, 35 และ 40 องศาเซลเซียสโดยวิธี LSD ดังตารางที่ 10 พบว่าการใช้

อุณหภูมิ 30, 35 และ 40 องศาเซลเซียสในการหมักส่งผลให้ค่าผลได้ของเอทานอลแตกต่างกัน โดยการใช้อุณหภูมิ 30 องศาเซลเซียสในการหมักให้ค่าผลได้ของเอทานอลน้อยที่สุด และการใช้ อุณหภูมิ 35 และ 40 องศาเซลเซียสในการหมักให้ค่าผลได้ของเอทานอลไม่แตกต่างกัน

ตารางที่ 67 ผลลัพธ์ ANOVA การวิเคราะห์ความแปรปรวนของผลได้ของเอทานอลเทียบกับทาง ทฤษฎีสำหรับปริมาณเชื้อและอุณหภูมิในแผนการทดลองแฟคทอเรียล

Source	DF	SS	MS	F	Pr > F
fiber	2	108.71	54.35	0.62	0.5489
temp	2	2023.94	1011.97	11.55	0.0006
fiber*temp	4	111.27	27.82	0.32	0.8626

จากการวิเคราะห์ความแปรปรวน โดยใช้ค่าผลได้ของเอทานอลเทียบกับทางทฤษฎี (Theoretical ethanol yield) เมื่อศึกษาอิทธิพลร่วมระหว่างปริมาณเชื้อ และอุณหภูมิที่ใช้ในการหมัก พบว่าไม่มีอิทธิพลร่วมระหว่างปริมาณเชื้อ และอุณหภูมิที่ใช้ในการหมัก ($p \geq 0.05$) ดังในตารางที่ 67 ดังนั้นจึงทำการทดสอบความแตกต่างในแต่ละปัจจัยหลักดังนี้ เมื่อพิจารณาปัจจัยของปริมาณเชื้อ แสดงว่าปริมาณเชื้อ ไม่มีอิทธิพลต่อค่าผลได้ของเอทานอลเทียบกับทางทฤษฎีเฉลี่ย ($p \geq 0.05$) ดัง ในตารางที่ 67 และทดสอบความแตกต่างของค่าเฉลี่ยผลได้ของเอทานอลเทียบกับทางทฤษฎีที่ละคู่ ของปริมาณเชื้อ 5, 7.5 และ 10 เปอร์เซ็นต์โดยน้ำหนักต่อปริมาตร โดยวิธี LSD ดังตารางที่ 68 พบว่าปริมาณเชื้อ 5, 7.5 และ 10 เปอร์เซ็นต์โดยน้ำหนักต่อปริมาตรส่งผลให้ค่าผลได้ของเอทานอลเทียบกับทางทฤษฎีไม่แตกต่างกัน โดยการใช้ปริมาณเชื้อในการหมักแตกต่างกันไม่ทำให้ค่า ผลได้ของเอทานอลเทียบกับทางทฤษฎีต่างกัน เมื่อพิจารณาปัจจัยของอุณหภูมิ แสดงว่าอุณหภูมิมิ อิทธิพลต่อผลได้ของเอทานอลเฉลี่ย ($p < 0.05$) ดังในตารางที่ 63 และทดสอบความแตกต่างของ ค่าเฉลี่ยผลได้ของเอทานอลที่ละคู่ของอุณหภูมิ 30, 35 และ 40 องศาเซลเซียสโดยวิธี LSD ดังตาราง ที่ 10 พบว่า การใช้อุณหภูมิ 30, 35 และ 40 องศาเซลเซียสในการหมักส่งผลให้ค่าผลได้ของเอทานอลเทียบกับทางทฤษฎีแตกต่างกัน โดยการใช้อุณหภูมิ 30 องศาเซลเซียสในการหมักให้ค่าผลได้ ของเอทานอลเทียบกับทางทฤษฎีน้อยที่สุด และ การใช้อุณหภูมิ 35 และ 40 องศาเซลเซียสในการ หมักให้ค่าผลได้ของเอทานอลเทียบกับทางทฤษฎีไม่แตกต่างกัน

ตารางที่ 68 ผลลัพธ์ทางสถิติของการวิเคราะห์ค่าเฉลี่ยพารามิเตอร์ทางจลนพลศาสตร์ของปริมาณเยื่อ 5, 7.5 และ 10 เปอร์เซ็นต์โดยน้ำหนักแห้งต่อปริมาตร และอุณหภูมิ 30, 35 และ 40 องศาเซลเซียส

สถานะ	C_p (g/l)	Q_p (g/l h)	$Y_{p/s}$ (g/g)	Theoretical ethanol yield (%)
ปริมาณเยื่อ (%w/v)				
5	13.84 ^a	0.144 ^a	0.374 ^a	73.41 ^a
7.5	21.09 ^b	0.224 ^b	0.392 ^a	76.95 ^a
10	28.15 ^c	0.303 ^c	0.399 ^a	78.13 ^a
อุณหภูมิ (องศาเซลเซียส)				
30	18.20 ^d	0.199 ^d	0.331 ^b	64.91 ^b
35	21.36 ^e	0.229 ^{de}	0.396 ^c	77.61 ^c
40	23.53 ^c	0.244 ^c	0.438 ^c	85.97 ^c

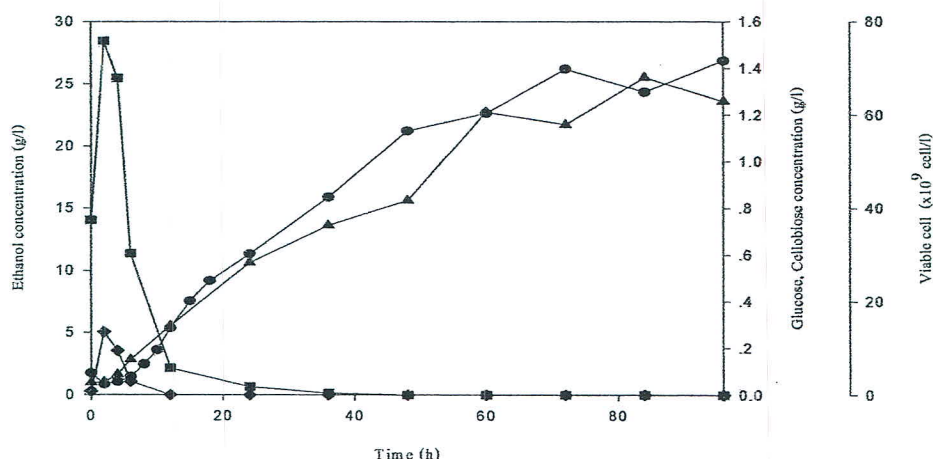
หมายเหตุ ^{a,b,c} ตัวอักษรที่แตกต่างกันในแต่ละคอลัมน์แสดงถึง มีความแตกต่างกันอย่างมีนัยสำคัญทางสถิติที่ระดับความเชื่อมั่นร้อยละ 95

จากการวิเคราะห์ผลทางสถิติ จึงเลือกการใช้ปริมาณเยื่อ 10 เปอร์เซ็นต์โดยน้ำหนักแห้งต่อปริมาตรเป็นสถานะที่เหมาะสมเนื่องจากมีความเข้มข้นเอทานอล และอัตราการผลิตเอทานอลสูงสุด และอุณหภูมิ 40 องศาเซลเซียสในการหมักมีความใกล้เคียงกับอุณหภูมิที่เหมาะสมในการทำงานของเอนไซม์ คือ 50 องศาเซลเซียส ดังนั้นในขั้นตอนการผลิตเอทานอลจากชีวมวลจึงใช้ปริมาณเยื่อ 10 เปอร์เซ็นต์โดยน้ำหนักแห้งต่อปริมาตร และอุณหภูมิ 40 และ 45 องศาเซลเซียสเพื่อให้ใกล้เคียงกับอุณหภูมิที่เหมาะสมในการทำงานของเอนไซม์มากขึ้น

4.4.2 การศึกษาสถานะที่เหมาะสมในการผลิตเอทานอลด้วยการย่อยเป็นน้ำตาล และหมักพร้อมกัน (Simultaneous saccharification and fermentation, SSF) ของเยื่อกระถินเทพา

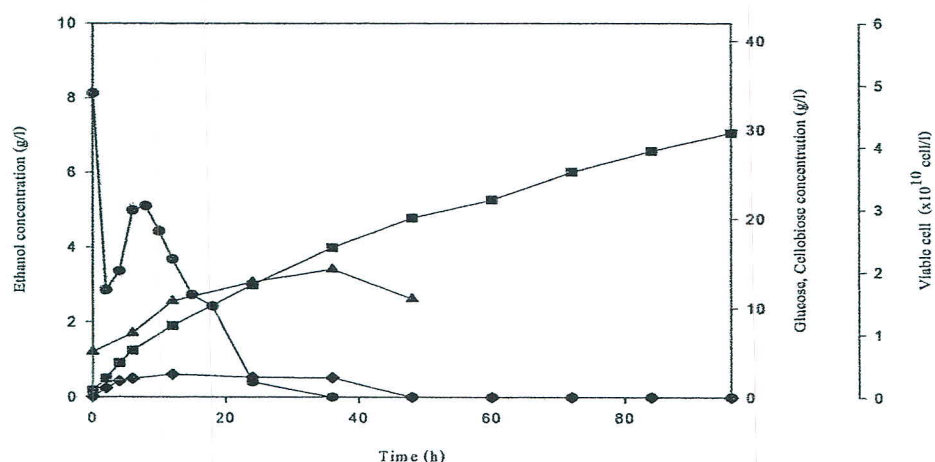
การผลิตเอทานอลจากไม้กระถินเทพาที่ผ่านการปรับสภาพแล้ว โดยใช้เอนไซม์ Celluclast 1.5L และ Novozym 188 กับยีสต์ *Saccharomyces cerevisiae* Sc90 ด้วยกระบวนการย่อยและหมักพร้อมกัน สามารถสรุปถึงความสัมพันธ์ระหว่างความเข้มข้นเอทานอล กลูโคส เซลโลไบโอส และ

จำนวนเซลล์ที่มีชีวิต กับเวลาของการหมักโดยใช้ปริมาณเชื้อ 10 เปอร์เซ็นต์โดยน้ำหนักแห้งต่อ ปริมาตร และอุณหภูมิการหมักที่ 40 และ 45 องศาเซลเซียส ดังภาพที่ 37 และ 38



ภาพที่ 37 การผลิตเอทานอลจากเชื้อไม้กระถินเทศาโดยใช้ *S. cerevisiae* Sc90 ด้วยกระบวนการย่อย และหมักพร้อมกันที่ปริมาณเชื้อ 10 เปอร์เซ็นต์โดยน้ำหนักแห้งต่อปริมาตร และ อุณหภูมิ 40 องศาเซลเซียส (สัญลักษณ์ ▲, ■, ◆ และ ● แสดงความเข้มข้นเอทานอล กลูโคส เซลโลไบโอสจำนวนเซลล์ที่มีชีวิตตามลำดับ)

จากการผลิตเอทานอลจากไม้กระถินเทศาที่อุณหภูมิ 40 องศาเซลเซียส และใช้ปริมาณเชื้อ 10 เปอร์เซ็นต์โดยน้ำหนักแห้งต่อปริมาตร ดังภาพที่ 37 เมื่อเริ่มการหมักภายใน 2 ชั่วโมงมีการลดลงของเซลล์เล็กน้อย เนื่องจากมีปริมาณเชื้อสูงเกินไป ทำให้ยากต่อการเขย่า และความเข้มข้นเอทานอลเพิ่มขึ้นเล็กน้อย แสดงถึงเซลล์มีการผลิตเอทานอล ขณะเดียวกันเอนไซม์เซลลูเลสย่อยเซลลูโลสเป็นกลูโคส และเซลโลไบโอส พร้อมกับเอนไซม์เบต้า-กลูโคซิเดสย่อยเซลโลไบโอสเป็นกลูโคส ส่วนเซลล์นำกลูโคสไปใช้ในการผลิตเอทานอล เมื่อเข้าสู่การหมักชั่วโมงที่ 6 เอทานอลเริ่มเพิ่มขึ้นอย่างรวดเร็ว ส่วนน้ำตาลกลูโคส และเซลโลไบโอสลดลงอย่างรวดเร็ว โดยที่เซลล์เริ่มเข้าสู่สภาวะคงตัวที่ชั่วโมงที่ 72 และไม่พบน้ำตาลกลูโคส และเซลโลไบโอสในชั่วโมงที่ 48 และ 12 ตามลำดับ เมื่อสิ้นสุดการหมักที่เวลา 96 ชั่วโมง พบว่าความเข้มข้นกลูโคส เซลโลไบโอส เอทานอล และจำนวนเซลล์ที่มีชีวิตเท่ากับ 0, 0, 23.61 กรัมต่อลิตร และ 16.81×10^9 เซลล์ต่อลิตร ตามลำดับ

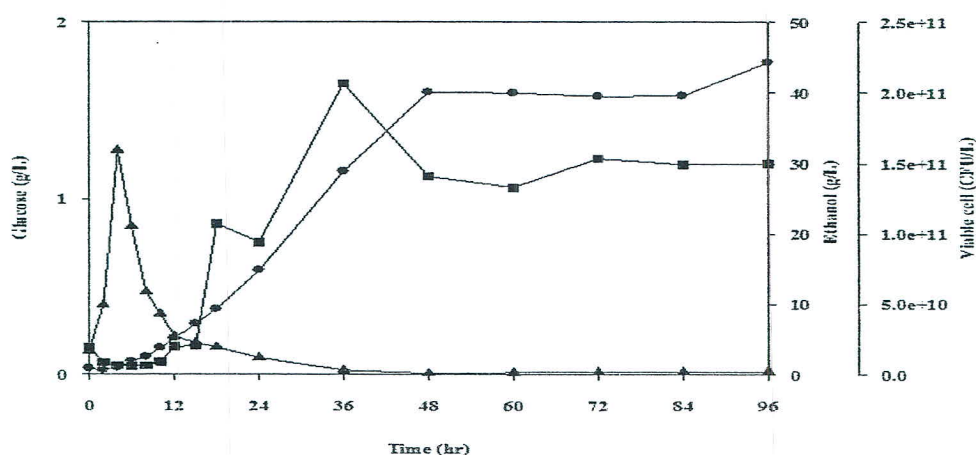


ภาพที่ 38 การผลิตเอทานอลจากเชื้อไม้กระถินเทศาโดยใช้ *S. cerevisiae* Sc90 ด้วยกระบวนการย่อยและหมักพร้อมกันที่ปริมาณเชื้อ 10 เปอร์เซ็นต์โดยน้ำหนักแห้งต่อปริมาตร และ อุณหภูมิ 45 องศาเซลเซียส(สัญลักษณ์▲, ■, ◆ และ ● แสดงความเข้มข้นเอทานอล กลูโคส เซลโลไบโอสจำนวนเซลล์ที่มีชีวิตตามลำดับ)

จากการผลิตเอทานอลจากไม้กระถินเทศาที่อุณหภูมิ 45 องศาเซลเซียส และใช้ปริมาณเชื้อ 10 เปอร์เซ็นต์โดยน้ำหนักแห้งต่อปริมาตร ดังภาพที่ 38 เมื่อเริ่มการหมักภายใน 4 ชั่วโมงมีการลดลงของเซลล์เล็กน้อย เนื่องจากมีปริมาณเชื้อสูงเกินไป ทำให้ยากต่อการเขย่า รวมทั้งยังเป็นอุณหภูมิที่ไม่เหมาะสมในการเจริญของยีสต์ หลังจากนั้นเซลล์การเพิ่มจำนวนขึ้นอย่างต่อเนื่องจนสูงสุดในชั่วโมงที่ 8 ของการหมัก และลดลงจนเป็นศูนย์ในชั่วโมงที่ 36 เนื่องจากเป็นอุณหภูมิที่เหมาะสมในการเจริญเติบโตของยีสต์ คือ 30 องศาเซลเซียส จึงสามารถทนอุณหภูมิสูง 45 องศาเซลเซียสได้ในระยะเวลาเพียง 24 ชั่วโมง ส่วนความเข้มข้นเอทานอลมีการเปลี่ยนแปลงเพิ่มขึ้นเล็กน้อย เมื่อเปรียบเทียบกับการทำงานของเอนไซม์เซลลูเลส และเบต้า-กลูโคซิเดส นั้น พบว่าความเข้มข้นกลูโคสเพิ่มขึ้นจนกระทั่งยุติการหมัก ส่วนความเข้มข้นเซลโลไบโอสเพิ่มขึ้นในช่วง 36 ชั่วโมงแรกของการหมัก หลังจากนั้นมีความเป็นศูนย์ แสดงถึงเอนไซม์เซลลูเลส และเบต้า-กลูโคซิเดสมีกิจกรรมอยู่ เนื่องจากเป็นช่วงอุณหภูมิที่เหมาะสมในการทำงานของเอนไซม์

4.4.3 การศึกษาสภาวะที่เหมาะสมในการผลิตเอทานอลด้วยการย่อยเป็นน้ำตาล และหมักพร้อมกัน (Simultaneous saccharification and fermentation,SSF) ของเยื่อลำต้นปาล์ม

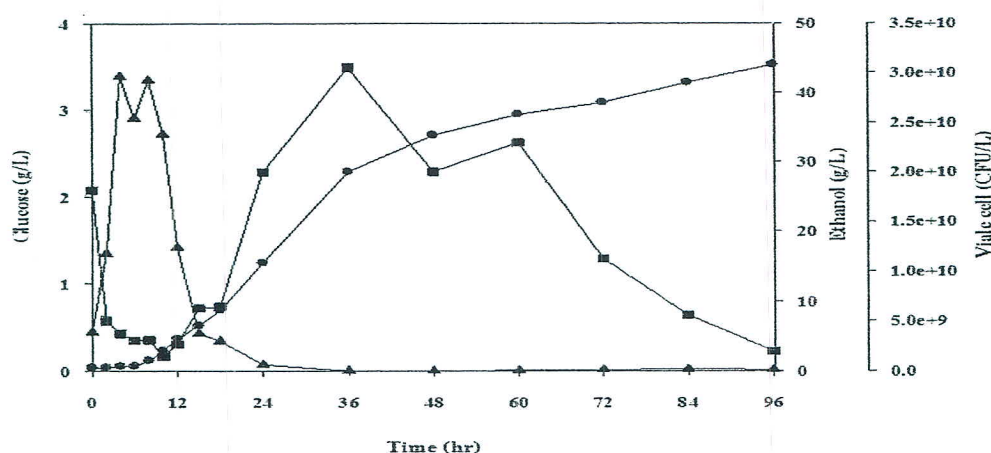
นำเยื่อลำต้นปาล์มน้ำมันที่ผ่านการสกัดด้วยค่างมาทำการหมักแบบ SSF เพื่อผลิตเอทานอล โดยใช้เยื่อลำต้นปาล์มน้ำมัน 10 เปอร์เซ็นต์ โดยน้ำหนักแห้งต่อปริมาตร ด้วยยีสต์ *S. cerevisiae* Sc90 ที่อุณหภูมิ 40 และ 45 องศาเซลเซียส พบว่ามีปริมาณเอทานอลสุดท้ายของการหมักเท่ากับ 44.25 และ 44.00 กรัมต่อลิตรตามลำดับ ดังภาพที่ 37 และ 38



ภาพที่ 39 การผลิตเอทานอลจากเยื่อลำต้นปาล์ม โดยใช้ *S. cerevisiae* Sc90 ด้วยกระบวนการย่อยและหมักพร้อมกันที่ อุณหภูมิ 40 องศาเซลเซียส และปริมาณเยื่อ 10 เปอร์เซ็นต์โดยน้ำหนักแห้งต่อปริมาตร (สัญลักษณ์ ●, ▲ และ ■ แสดงความเข้มข้นเอทานอล, กลูโคส และจำนวนเซลล์ที่มีชีวิต ตามลำดับ)

จากภาพที่ 39 และ 40 พบว่าการผลิตเอทานอลด้วยกระบวนการย่อยและหมักพร้อมกัน ทำให้เกิดการหยุดชะงักของยีสต์ขึ้นในช่วง 10 ชั่วโมงแรก เพราะช่วงแรกของการหมักมีน้ำตาลกลูโคสต่ำ และอุณหภูมิสูงซึ่งไม่เหมาะกับการเจริญของยีสต์ ซึ่งอุณหภูมิที่เหมาะสมแก่การเจริญของยีสต์คือ 30 องศาเซลเซียส เมื่อเวลาผ่านไป 10 ชั่วโมงพบว่าการทำงานของเอนไซม์ดีขึ้น ทำให้เกิดสารละลายได้มากขึ้น ส่วนของของแข็งลดลง เอนไซม์เซลลูเลส และเบต้ากลูโคซิเดส สามารถทำงานได้โดยไม่เกิดสภาวะขังยั้งเพราะยีสต์สามารถนำกลูโคสที่ได้รับการย่อยโดยเอนไซม์ไปใช้ได้ทันที จึงเป็นข้อดีของการหมักด้วยกระบวนการย่อยและหมักพร้อมกัน ช่วงหลังจาก 10 ชั่วโมง ยีสต์สามารถเจริญได้ดีขึ้นและเริ่มผลิตเอทานอลออกมาบางส่วน และเริ่มที่จะไม่เกิดการเปลี่ยน

เปลี่ยนแปลงของกลูโคสหลังจากชั่วโมงที่ 15 เนื่องจากกลูโคสไม่พอใช้ก็จำนวนเซลล์ยีสต์ที่เพิ่มจำนวนขึ้นจากสภาวะการหมักที่อุณหภูมิ 45 องศาเซลเซียสพบว่าเมื่อมีเซลล์ยีสต์คงเหลือต่ำกว่าที่สภาวะหมักที่อุณหภูมิ 45 องศาเซลเซียส เพราะอุณหภูมิที่ไม่เหมาะสมแก่การเจริญและสารพิษต่างๆ ที่ถูกขับออกมาจากเซลล์ยีสต์เองในระหว่างการหมัก ที่เวลา 96 ชั่วโมง พบว่า ที่อุณหภูมิ 40 องศาเซลเซียส ให้ความเข้มข้นเอทานอลสุดท้าย 44.25 กรัมต่อลิตร คิดเป็นผลได้เอทานอลเทียบกับทางทฤษฎี 90.34 เปอร์เซ็นต์ และที่อุณหภูมิ 45 องศาเซลเซียส ให้ความเข้มข้นเอทานอลสุดท้าย 44.00 กรัมต่อลิตร คิดเป็นผลได้เอทานอลเทียบกับทางทฤษฎี 90.61 เปอร์เซ็นต์ ดังตารางที่ 69



ภาพที่ 40 การผลิตเอทานอลจากเชื้อลำต้นปาล์ม โดยใช้ *S. cerevisiae* Sc90 ด้วยกระบวนการย่อยและหมักพร้อมกันที่ อุณหภูมิ 45 องศาเซลเซียส และปริมาณเชื้อ 10 เปอร์เซ็นต์โดยน้ำหนักแห้งต่อปริมาณ (สัญลักษณ์ ●, ▲ และ ■ แสดงความเข้มข้นเอทานอล, กลูโคส และจำนวนเซลล์ที่มีชีวิต ตามลำดับ)

ตารางที่ 69 ความเข้มข้นเอทานอลสูงสุด และผลได้เอทานอลของกระบวนการย่อยและหมักพร้อมกันของเชื้อลำต้นปาล์ม

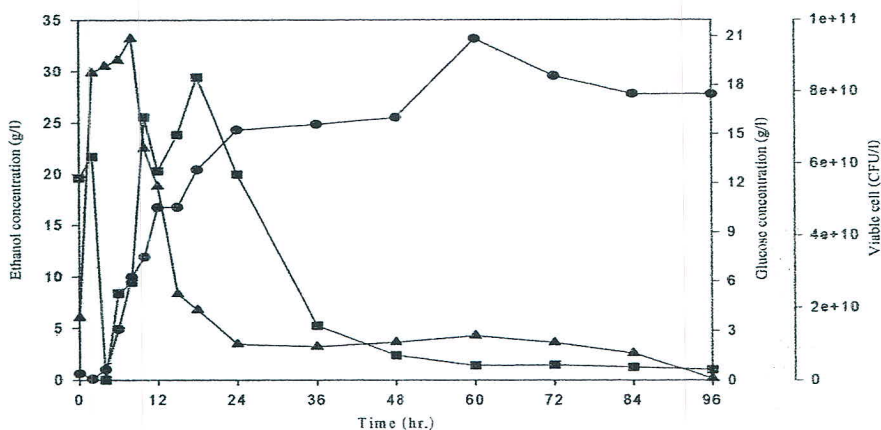
สภาวะการหมัก	ความเข้มข้นเอทานอล (กรัมต่อลิตร)	ผลได้เอทานอลเทียบกับ ทางทฤษฎี (%)
10% เชื้อ อุณหภูมิ 40 องศาเซลเซียส	44.25	90.34
10% เชื้อ อุณหภูมิ 45 องศาเซลเซียส	44	90.61

จากผลประสิทธิภาพการย่อยด้วยเอนไซม์ในการหมักด้วยกระบวนการย่อยและหมักพร้อมกัน พบว่าที่อุณหภูมิ 45 องศาเซลเซียสมีประสิทธิภาพในการย่อยสูงกว่าที่อุณหภูมิ 40 องศาเซลเซียส เนื่องจากเหลือปริมาณเชื้อดำต้นปาล์มน้ำมันหลังจากการหมักน้อยกว่า (4.03 และ 5.84 กรัม/น้ำหนักแห้ง ตามลำดับ) แต่ที่อุณหภูมิ 45 องศาเซลเซียส ความเข้มข้นเอทานอลต่ำกว่าเนื่องจากเป็นอุณหภูมิที่ไม่เหมาะสมกับการเจริญของยีสต์ ทำให้หลังจากชั่วโมงที่ 24 ยีสต์ได้ลดจำนวนลงอย่างมาก เป็นผลให้ความสามารถในการผลิตเอทานอลต่ำลงเช่นกัน เมื่อพิจารณาความเหมาะสมของอุณหภูมิที่ใช้ในการผลิตเอทานอล พบว่าที่อุณหภูมิ 40 และ 45 องศาเซลเซียส ให้ความเข้มข้นของเอทานอลไม่แตกต่างกันทางสถิติ จึงเลือกใช้อุณหภูมิ 40 องศาเซลเซียส ซึ่งให้ความเข้มข้นเอทานอลสูงและต้นทุนในการหมักที่ต่ำกว่า

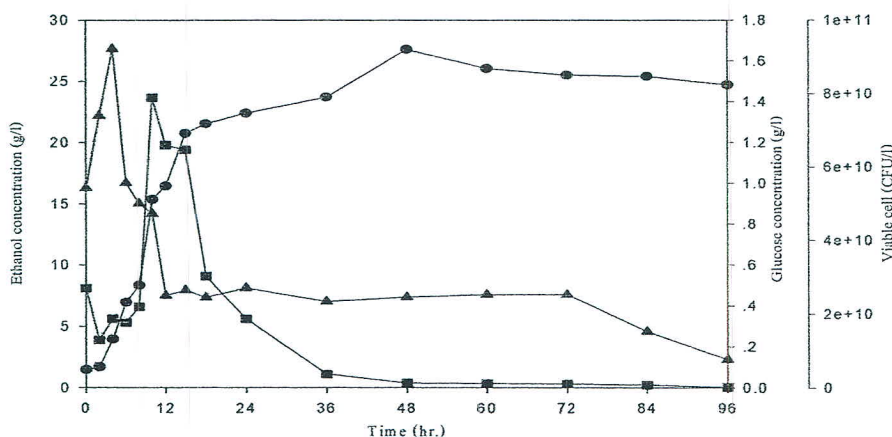
4.4.3 การศึกษาสภาวะที่เหมาะสมในการผลิตเอทานอลด้วยการย่อยเป็นน้ำตาล และหมักพร้อมกัน (Simultaneous saccharification and fermentation, SSF) ของเยื่อทางใบปาล์ม

การผลิตเอทานอลจากเยื่อทางใบปาล์มที่ผ่านกระบวนการพรีทรีตเมนต์ในสภาวะที่เหมาะสมแล้ว โดยใช้เยื่อทางใบปาล์มน้ำมัน 10 เปอร์เซ็นต์โดยน้ำหนักแห้งต่อปริมาตร เอนไซม์ Celluclast 1.5L และ novozyme 188 กับยีสต์ *S. cerevisiae* Sc90 ด้วยกระบวนการย่อยเป็นน้ำตาล และหมักพร้อมกัน สามารถสรุปผลถึงความสัมพันธ์ระหว่างความเข้มข้นของเอทานอล กลูโคส และจำนวนเซลล์ที่มีชีวิต กับเวลาของการหมักที่อุณหภูมิ 40 และ 45 องศาเซลเซียส

การผลิตเอทานอลที่อุณหภูมิ 40 องศาเซลเซียส ดังภาพที่ 41 พบว่าในชั่วโมงแรกของการหมักจะมีความเข้มข้นของเอทานอลต่ำ เนื่องจากเซลล์อยู่ในระยะการปรับตัว และเอนไซม์ทำการย่อยเซลลูโลสเป็นกลูโคส เมื่อเข้าสู่การหมักชั่วโมงที่ 2 พบว่ามีกลูโคสเพิ่มขึ้นอย่างรวดเร็วจนถึงชั่วโมงที่ 8 จากนั้นกลูโคสจะลดลงเรื่อยๆ ในขณะที่ความเข้มข้นเอทานอลค่อยๆ เพิ่มขึ้นอย่างต่อเนื่องในชั่วโมงที่ 6 และเริ่มคงที่เมื่อเข้าสู่การหมักชั่วโมงที่ 36 ในขณะที่เซลล์สามารถเจริญเติบโตได้ดีในชั่วโมงที่ 6 จากนั้นเซลล์จะค่อยๆ ลดลงเรื่อยๆ เนื่องจากเซลล์นำกลูโคสไปใช้ในการผลิตเอทานอลแทนการเจริญของเซลล์ เมื่อเข้าสู่การหมักชั่วโมงที่ 48 เซลล์จะเริ่มเข้าสู่สภาวะคงที่ เมื่อสิ้นสุดการหมัก พบว่า ชั่วโมงที่ 60 สามารถผลิตเอทานอลได้สูงสุด 33.16 กรัมต่อลิตร ซึ่งคิดเป็นผลได้เอทานอลเทียบกับทางทฤษฎี 72.42 เปอร์เซ็นต์ ดังแสดงในตารางที่ 66



ภาพที่ 41 การผลิตเอทานอลจากเชื้อทางใบปาล์มโดยใช้ *S. cerevisiae* Sc90 ด้วยกระบวนการย่อยและหมักพร้อมกันที่ อุณหภูมิ 40 องศาเซลเซียส และปริมาณเชื้อ 10 เปอร์เซ็นต์โดยน้ำหนักแห้งต่อปริมาณ (สัญลักษณ์ ●, ▲ และ ■ แสดงความเข้มข้นเอทานอล, กลูโคส และจำนวนเซลล์ที่มีชีวิต ตามลำดับ



ภาพที่ 42 การผลิตเอทานอลจากเชื้อทางใบปาล์มโดยใช้ *S. cerevisiae* Sc90 ด้วยกระบวนการย่อยและหมักพร้อมกันที่ อุณหภูมิ 45 องศาเซลเซียส และปริมาณเชื้อ 10 เปอร์เซ็นต์โดยน้ำหนักแห้งต่อปริมาณ (สัญลักษณ์ ●, ▲ และ ■ แสดงความเข้มข้นเอทานอล, กลูโคส และจำนวนเซลล์ที่มีชีวิต ตามลำดับ)

การผลิตเอทานอลที่อุณหภูมิ 45 องศาเซลเซียส ดังภาพที่ 42 พบว่าในช่วงแรกของการทำงานก็มีความเข้มข้นของเอทานอลต่ำ เนื่องจากเซลล์อยู่ในระยะการปรับตัว และเอนไซม์ทำการย่อยเซลลูลอสเป็นกลูโคส เมื่อเข้าสู่การหมักช่วงเวลาที่ 2 พบว่ามีกลูโคสเพิ่มขึ้นเพียงเล็กน้อยจนถึง

ชั่วโมงที่ 6 จากนั้นกลูโคสจะลดลงเรื่อยๆ ในขณะที่ความเข้มข้นเอทานอลค่อยๆ เพิ่มขึ้นอย่างต่อเนื่องในชั่วโมงที่ 4 และเริ่มคงที่เมื่อเข้าสู่การหมักชั่วโมงที่ 24 ในขณะที่เซลล์สามารถเจริญเติบโตได้ดีในชั่วโมงที่ 8 จากนั้นเซลล์จะค่อยๆ ลดลงเรื่อยๆ เนื่องจากเซลล์นำกลูโคสไปใช้ในการผลิตเอทานอลแทนการเจริญของเซลล์ เมื่อเข้าสู่การหมักชั่วโมงที่ 36 เซลล์จะเริ่มเข้าสู่สภาวะคงที่ เมื่อสิ้นสุดการหมัก พบว่า ชั่วโมงที่ 48 สามารถผลิตเอทานอลได้สูงสุด 27.62 กรัมต่อลิตร ซึ่งคิดเป็นผลได้เอทานอลเทียบกับทางทฤษฎี 57.61 เปอร์เซ็นต์ ดังแสดงในตารางที่ 70

ตารางที่ 70 ความเข้มข้นเอทานอลสูงสุด และผลได้เอทานอลของกระบวนการย่อยและหมักพร้อมกันของเชื้อทางไบโพลัม

สภาวะการหมัก	ความเข้มข้นเอทานอล (กรัมต่อลิตร)	ผลได้เอทานอลเทียบกับ ทางทฤษฎี (%)
10% เยื่อ อุณหภูมิ 40 องศาเซลเซียส	33.16	72.42
10% เยื่อ อุณหภูมิ 45 องศาเซลเซียส	27.62	57.61

จากตารางที่ 70 สภาวะที่เหมาะสมในการผลิตเอทานอลด้วยกระบวนการย่อยและหมักพร้อมกันของเชื้อทางไบโพลัม พบว่าการใช้เชื้อที่ 10 เปอร์เซ็นต์ อุณหภูมิ 40 องศาเซลเซียส สามารถผลิตเอทานอลได้สูงกว่าที่อุณหภูมิ 45 องศาเซลเซียส เนื่องจากอุณหภูมิที่ 40 องศาเซลเซียส เป็นเหมาะสมในการย่อยของเอนไซม์ และเหมาะสมต่อการเจริญของยีสต์มากกว่า